

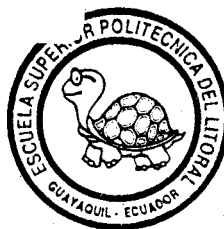


D-9593

T

622.25

B878



ESCUELA SUPERIOR POLITÉCNICA DEL LITORAL

Facultad de Ingeniería en Geología, Minas y Petróleo



**"ANALISIS DE PERFILES DE POZOS
EN UN AREA DEL CAMPO ANCON"**

TESIS DE GRADO

Previa a la obtención del Título de:

INGENIERO EN PETROLEO

Presentada por:

Jorge Humberto Brown Muñoz

Guayaquil - Ecuador

1989

AGRADECIMIENTO.

Al Ing. Heinz Terán Mite, Director de Tesis,
por su valiosa colaboración en la dirección de
la misma.

A los Ingenieros Luis Albán y Edgar Riofrío
por la información facilitada para el desarro-
llo de esta Tesis.

A los Ingenieros Walter Icaza, Superintendente
de CEPE Regional Peninsula y Atilio González
Jefe del Dpto. de Producción, por las facili-
dades prestadas; de gran ayuda para la reali-
zación de este trabajo.

DECLARACION EXPRESA.

"La responsabilidad por los hechos, ideas y doctrinas expuestos en esta tesis, me corresponden exclusivamente; y, el patrimonio intelectual de la misma, a la ESCUELA SUPERIOR PDLITEGNICA DEL LITORAL".

(Reglamento de Exámenes y Títulos Profesionales de la ESPOL).

JORGE H. BROWN MUÑOZ.

BIBLIOTECA



FACULTAD DE ING.
EN CIENCIAS DE LA TIERRA

Ing. Miguel A. Chávez.
PRESIDENTE DEL TRIBUNAL

Ing. Heinz Terán M.
DIRECTOR DE TESIS

Ing. Ricardo Gallegos O.
MIEMBRO DEL TRIBUNAL

Ing. Luis Albán G.
MIEMBRO DEL TRIBUNAL

RESUMEN.

El presente trabajo se origina en la Facultad de Geología Minas y Petróleos, debido a la importancia que tienen los perfiles de pozos en la exploración y explotación de campos de petróleo y También debido al interés que hay en la rehabilitación de los Campos de la Península se conviene en realizar este estudio en un área tipo.

En el Capítulo I se habla de manera general de la Geología de la Costa Ecuatoriana, para luego dar una descripción de cada una de las formaciones que se encuentran en el área de estudio, cuya secuencia y columna estratigráfica es dada por el análisis litológico de los perfiles.

El Capítulo XI es dedicado para describir en forma general el fundamento de los principales Perfiles de pozos que se tomaron en el área de Ancón, lo cual debido a su antigüedad fue bastante limitado.

El Capítulo III está destinado a la interpretación cualitativa de los perfiles, es decir, de aquí se obtendrá el mensaje que nos dan los perfiles acerca de la Formación de interés.

En el Capítulo IV se incluye un Programa Computacional para análisis de saturaciones y porosidades, con el fin de poder evaluar cuantitativamente ciertos pozos que poseen los perfiles apropiados y de esta manera sacar conclusiones más exactas acerca de las características de las formaciones de estudio y de la necesidad de realizar trabajos adicionales de toma de perfiles para una mejor definición.

Encontrarán en este Capítulo:

- Un programa computacional para el análisis de saturaciones y porosidades.
- Una descripción detallada de la ejecución del mismo.
- Una serie de resultados obtenidos en la ejecución del programa.

INDICE GENERAL.

Pag .

RESUMEN

INDICE GENERAL

INDICE DE ABREVIATURAS

INDICE DE FIGURAS

INDICE DE TABLAS

INTRODUCCION

I.	BREVE DESCRIPCION GEOLOGICA DEL AREA EN ESTUDIO
1.1	GEOLOGIA REGIONAL.....
1.2	FORMACIONES.....
II.	ASPECTOS TEORICOS FUNDAMENTALES DE LOS PERFILES
2.1	PERFIL DE POTENCIAL ESPONTANEO.....
2.2	PERFILES ELECTRICOS ANTIGUOS...,.....
2.3	PERFILES CONVENCIONALES DE RESISTIVIDAD....
2.4	PERFILES MICRORESISTIVOS.....
2.5	PERFIL DE RAYOS GRMA.....
2.6	PERFIL.. DE NEURON.....
III.	COMPORTAMIENTO CARACTERISTICO DE LOS PERFILES EN FORMACIONES EXISTENTES EN EL AREA.....
3.1	INFLUENCIA DE LAS ARCILLAS EN LA INTERPRETA- CION DE PERFILES.....
3.2	FORMACIONES DE INTERES.....
3.3	PERFILES DISPONIBLES.....

3.4 PASOS A SEGUIR EN UNA INTERPRETACION CUALITATIVA.....
3.5 INTERPRETACION CUALITATIVA FOR POZO.....
IV. ANALISIS CUANTITATIVO DE LOS PERFILES.
4.1 PROPOSITO.....
4.2 PROGRAMA COMPUTACIONAL.....
4.3 LISTADO DEL PRGRAMA.....
4.4 ANALISIS DE RESUMENES"
CONCLUSIONES Y RECOMENDACIONES
ANEXOS
BIBLIOGRAFIA

INDICE DE TABLAS.

Tabla	Descripción	Página
I	Formaciones quo atraviezan los pozos.	
II	Perfiles disponibles.	
III	Datus obtenidos del encabezamiento de los perfiles de pozos analizados en el área de estudio.	
IV	Valores promedio de porosidad, saturación de agua y espesor do pago de los pozos, computados.	
V	Valores promedio de saturación de agua Métodos de Archie (Swa) Y Arenas Arcillo-sas (Sws) de los pozos, computados.	
IV	Valores límites de Swa y Sws entre los cuales se ha permitido considerar a una zona con posibilidades de producir.	

INDICE DE FIGURAS

No.	DESCRIPCION	PAGINA
1	Modelo Geológico de la Cuenca Ecuatoriana.	
2	Sección Geológica La Libertad-Punta Mambrá.	
3	Columna Estratigráfica (Santa Elena - Ecuador).	
4	Mapa de Ubicación del área de estudio.	BIBLIOTECA
6	Tipos de Curvas de SP.	
7	Sonda de Schlumberger, 1950.	
8	Dispositivos Convencionales de resistividad.	
9	Curvas Normales.	
10	Curvas Laterales.	
11	Distribución de los electrodos de la sonda del Microperfil.	
12	Interpretación cualitativa del registro de Microperfil.	



- 13 Dispositivo Microlateroperfil.
- 14 Caracterización en los pozos 1235 y 1237 del Latero-perfil en la Fm. Atlanta.
- 15 Caracterización en los pozos 1241, 1235 y 1237 del Lateraperfil en la Fm. Atlanta.
- 16 Caracterización en los pozos 1237 y 1294 del Latero-perfil en la Fm. Atlanta.
- 17 Caracterización en los pozos 1241, 1294 y 1643 del Lateruperfil en la Fm. Atlanta.
- 18 Caracterizacibn en los pozos 1237, 1241, 1742 y 1235 del Lateruperfil en la Fm. Atlanta.
- 19 Formas Tipicas del Later-uperfil en la Fm. Atlanta en los pozos indicados.
- 20 Formas Tipicas del Microlateroperfil en la Fm. Atlanta en los pozos indicados.
- 21 Formas Tipicas del perfil de Rayos Gamma en la Fm. Atlanta en los pozos indicados.
- 22 Perfiles de Rayos Gamma!, Microlateraperfil y Latero-perfil en el pozo 1653. los pozos indicados.



INDICE DE ABREVIATURAS

<u>Símbolo.</u>	<u>Descripción.</u>
Cp	Factor de compactación.
Di	Diámetro de invasión.
d	Diámetro del pozo.
F	Factor de formación.
Fm.	Formación.
GR	Rayos Gamma.
h	Espesor de capa.
m	Metro.
ML	Microperfil.
MLL	Microlateroperfil.
N	Neutrón.
ppm	Partes por millón.
q	Fracción de lutita/sedimento en la roca.
R	Resistividad.
Ri	Resistividad de la zona invadida.
Rm	Resistividad del lodo.
Rmc	Resistividad de la costra de lodo.
Rmf	Resistividad del filtrado del

lodo.

Ro Resistividad de formación saturada 100% de agua.

ROS Saturaciñn de aceite residual.

Rxo Resistividad de la zona lavada.

Rs Resistividad de la capa adyacente.

Rt Resistividad de formaciñn.

Rw Resistividad de agua de formaciñn.

S Sònico.

SP Potencial Espontaneo.

tmc Espesor de costra de lodo.

sgxo Saturaciñn de hidrocarburos residual.

swa Saturaciñn de agua, Archie.

swr Saturaciñn de agua, Relaciñn.

swsh Saturaciñn de agua, Areniscas arcillosas.

swth Saturaciñn de agua, Tres porosidades.

swtw Saturaciñn de agua, Dos porosidades.

vsh Fracciñn de lutita.

\emptyset F'orosidad.

\emptyset clay F'orosidad de lutita.

\emptyset d Porosidad, Densidad.

ϕ_{dc}	Porosidad corregida, Densidad.
ϕ_e	Porosidad efectiva.
ϕ_n	Parosidad, Neutrón.
ϕ_{nc}	Porosidad corregida, Neutrbn.
ϕ_{nd}	Porosidad promedio, Neutrón-Densidad.
ϕ_s	Forasidad, Sbnico.
ϕ_z	Porosidad total de la matriz de arena, incluye arcilla y fluidos en los poros.
Ω	Ohmio.
$\Omega-m$	Ohmio-metro.



INTRODUCCION.

BIBLIOTECA

El Campo Petrolero de Ancón, ha sido explotado desde principios del siglo, sus reservas están casi totalmente agotadas en la Fm. Socorro, no así en la Fm. Atlanta donde existe un remanente substancial. La producción actual es de aproximadamente 600 Barriles por día en toda el área de Ancón.

D:

La geología del Subsuelo es muy compleja y difícil de describir y se piensa que en ciertos sectores hay un remanente interesante de petróleo que puede ser recuperable. Es por esto que existe un interés en rehabilitar estos Campos a través de perforación de relleno, mejoramiento de los sistemas de producción y exploración de zonas no estudiadas, lo cual podría incrementar la producción.

Gran cantidad de pozos perforados entre los años 50 y 60 poseen perfiles de ese tiempo que son de difícil interpretación por la poca definición y por lo limitado de los diseños de las sondas. También otro impedimento de interpretación es lo limitado de tipo de perfiles que fueron

tomados.

El objetivo principal de esta tesis es la determinación de las características más sobresalientes de los perfiles eléctricos de un Área del Campo Ancón y buscar una caracterización de los mismos, para que en conjunto con un análisis cuantitativo de porosidad y saturación darnos una idea más concreta acerca de las reservas que puedan todavía tener estos yacimientos para un futuro aprovechamiento.

Diversos estudios se han realizado, en estos Campos, con perfilajes de pozos tales como correlaciones, determinación de porosidad, saturaciones y evaluación de formaciones. A través del trabajo presente se desea caracterizar la forma de los perfiles en frente de las formaciones de interés y además probar un método de cálculo de evaluación considerando las formaciones como arcillosas ya que según algunas consideraciones litológicas de la Fm. Atlanta se considera la existencia de arcilla con mucha frecuencia.

(1973) que además sugirieron que la falla Guayaquil-Dolores, definida por primera vez por Molner y Bikes (1969) es un paleolímite de placas. Esta falla, correría paralela al canal de Jambeli y tendría un movimiento dextral. Recién en 1978, Lonsdale confirma la existencia del "Sistema de Subducción Ecuatoriano" con la descripción de los principales elementos morfotectónicos de la fosa y del margen continental ecuatoriana.

Feininger y Eristow (1980) desarrollan una historia cretáceo-paleógena basada en supuestas interacciones de placas a lo largo de la falla Guayaquil-Dolores-Romeral, pero todo esto se basó en un magro conocimiento de la estratigrafía de la cuenca Progreso y Península de Santa Elena (Cuenca Guayaquil) que los llevó a aceptar como válida la hipótesis del "Complejo Olistostómico de Santa Elena" propuesta por Azad (1969) y popularizada por Coldman (1970) y Cisneros (1978). según estos autores las rocas de los grupos Azúcar y Ancón de la cuenca Guayaquil fueron emplazados por la "tectónica de gravedad".

El levantamiento de Santa de Elena conocido como Prisma Acrecional, (fig. 1) está limitado, al norte por la cordillera Chongón-Colonche, al NE por la falla de La Cruz, al S por el Graven de Jambeli y al

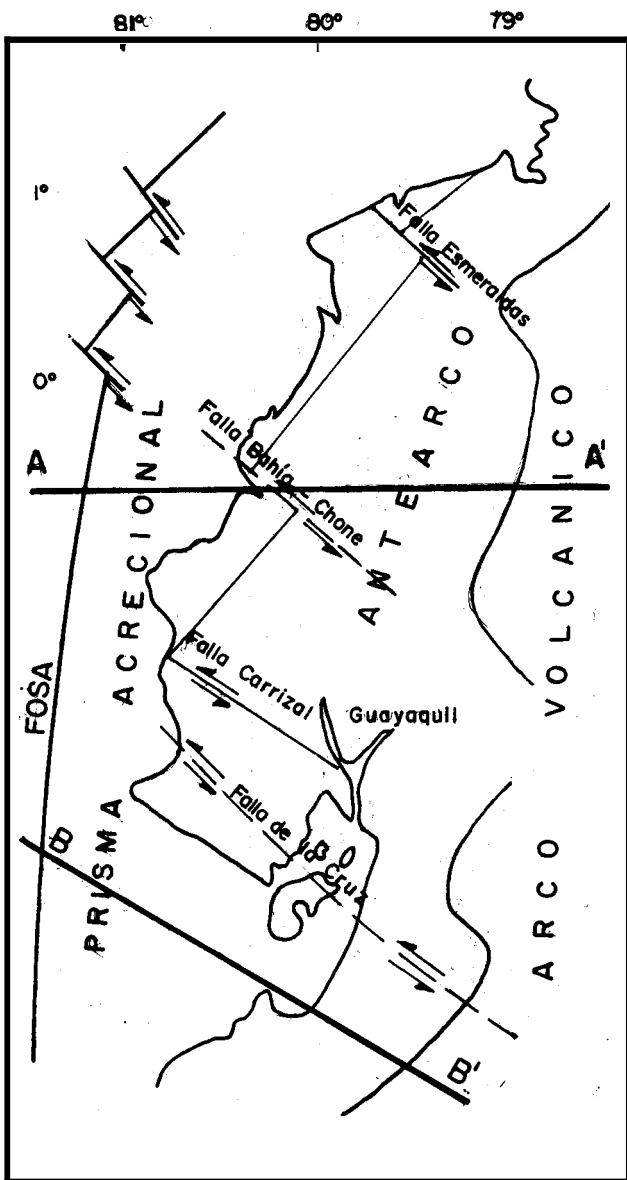


FIG. I MODELO GEOLOGICO DE LA CUENCA
ECUATORIANA

O por el Océano Pacífico siendo en este levantamiento donde se ubica el campo petrolífero de Ancón. En esta área se presenta un conjunto de pelagitas cretácicas (+ o -70 millones de años de antigüedad) que constituyen el sustratum de la cuenca, y turbiditas paleogenas, depositadas en un ambiente de aguas marinas profundas, que conforman la cubierta sedimentaria de edad terciaria (+ o - 50 millones de años de antigüedad), las cuales guardan entre si complejas relaciones tectónicas. El levantamiento de Santa Elena se presentó como una unidad geológica emergente a partir del Neógeno cuando se activó el sistema de fallamiento de La Cruz. Un aumento del nivel del mar, durante el cuaternario, ha dejado como testigos extensos depósitos de terrazas marinas, que conforman un rasgo típico de la geomorfología peninsular.

El Prisma Acrecional está conformado fundamentalmente por las rocas del Grupo Azúcar de edad paleocena, rocas cretácicas como las de La Libertad y Salinas.

En pequeñas cuencas que se observan sobre el Levantamiento de Santa Elena (Prisma Acrecional) se depositaron sedimentos turbidíticos durante el eoceno, los mismos que presentan una menor deformación que los observados en rocas del Prisma propiamente dicho. Este es el caso de la cuenca de Ancón, donde se

encuentra el único yacimiento de hidrocarburos de la costa ecuatoriana.

Las cuencas Ante-arco (Manabí Sur, Manabí Norte y Borbón), difieren estructuralmente al sur y al norte de la cordillera Chongón-Colonche; tienen ejes NE-SO y presentan un espesor de columna sedimentaria de hasta 5 Km. (es decir son más someras que al sur de la cordillera Chongón-Colonche). Estos ejes son paralelos pero están desplazados por accidentes transversales interpretados como fallas de desplazamiento sinestral: la falla Esmeraldas y la falla Bahía de Caráquez. El límite occidental de la cuenca con el Prisma Acrecional es bien marcado por fallas regionales como la Falla Portoviejo, mientras que el límite oriental es un sistema de fallas escalonadas que permite subir lentamente al basamento hasta aflorar en la cordillera occidental.

Al sur de la cordillera Chongón-Colonche se encuentran las cuencas Progreso y Graven de Jambeli con ejes NO-SE y NE-SO dispuestos perpendicularmente.

La dirección NO-SE del eje de la cuenca Progreso corresponde a la de los accidentes transversales que cortan a los ejes de las cuencas ante-arco situadas al norte de la cordillera Chongón-Colonche, por lo que se infiere que las fallas paralelas a esta direc-

ción son también accidentes de desplazamiento sínes-tral.

La dirección NE-SO del Graven de Jambelí es paralela a las cuencas ante-arco del norte de la cordillera Chongón-Colonche. Su límite occidental con el prisma está marcado por una serie de fallas escalonadas mientras que el límite oriental contra el basamento es una paleo-superficie que se inclina regularmente hacia el eje de la cuenca y sobre ella se acumulan los sedimentos pliocuaternarios. No se puede establecer una información estratigráfica detallada de acuerdo al principio de superposición, ya que el subsuelo del campo Ancón ha sido considerado como un conjunto de cuerpos de areniscas envueltos en una matriz arcillosa, que conforma un gigantesco complejo olistostómico emplazado en el Eoceno Medio a Superior-, con un espesor de más de 12000 pies que ha sido el modelo geológico escogido entre otros posibles aplicables al área, tales como: pliegues y fallas, deslizamientos gravitacionales, sistemas de fallas transcurrentes, prisma de acreción, todos estos asociados a la tectónica de placas, (figura 2).

El término olistostromo en su acepción original, designa a un cuerpo sedimentario de material litológico o petrográficamente homogéneo. Contiene una

SECCION GEOLOGICA
LA LIBERTAD - PUNTA MAMBRA



ESCALA: V= 1 an: 2500 pies a prox.
H= 1 cm: 1000 m

- PUNTA ANCON
- SECA
- z
- OLISTOSTROMA (Clay Pebble beds)
- OLISTOSTROMA (Azucar)
- OLISTOSTROMA (Wildflysch)
- BASAMENTO

COMPLEJO
OLISTOSTROMICO
DE SANTA ELENA

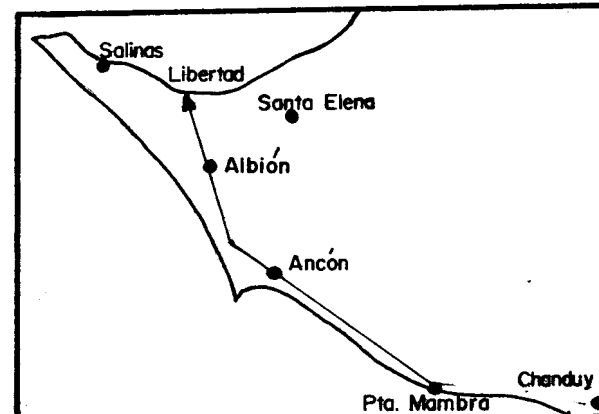


FIG. 2 SECCION GEOLOGICA LA LIBERTAD - PUNTA MAMBRA

matriz y cuerpos de material coherente (olistolitos) mezclados íntimamente y sin estratificación. No hay restricción en el tamaño de los olistolitos o en la relación de olistolitos/matriz. El flujo de detritos es decir flujo sedimentario por gravedad, de clastos transportados y sostenidos por una matriz, es el principal, sino el único mecanismo de nlistnstromo (Naylor M.A, 1981. Swabric y Naylor, 1980).

Este modelo geológico es el que ha venido siendo más investigado y desarrollado y que en forma global coincidiría con otros modelos en cuanto a que permite establecer la geometría y características estructurales propias de los cuerpos productores en el área Ancón definidas gracias a la disposición de información del subsuelo de gran número de pozos.

1.2 FORMACIONES GEOLOGICAS. (4)

A continuación se presenta una descripción de cada una de las formaciones que se encuentran en el subsuelo de Ancón en el orden que se presenta en la columna estratigráfica de la figura 3; la cual ha sido confeccionada en base a las formaciones que atraviesa cada pozo; dicha información se encuentra tabulada en la Tabla I.

COLUMNA ESTRATIGRAFICA
SANTA ELENA - ECUADOR

GENERAL

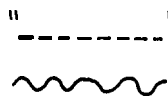
ERA	EDAD	GRUPO	FORMACION	MIEMBRO	OBSERVACIONES Espesor en m.
	PLEISTOCEN		TABLAZO		1.000 m.
O I O N W C O W		PUNTA ANCON ANCON	SOCORRO	SOCORRO SUPERIOR SECA SECA Falsa SOCORRO INFERIOR	300 m.
E M		AZUCAR	PASSAGE BEDS ATLANTA		
O W C O T a W a			WILD FLYSCH		
			7 CAYO / PIÑON		
				" Indica Unidad desconocida o requiere revisión ~~~~~ Inconformidad	

FIG.3 COLUMNAS ESTRATIGRAFICAS SANTA ELENA - ECUADOR

TABLAZO.

Los tablazos han sido conocidos en la costa por muchos años como "tablelands" = terrenos de mesa (Berry, 1916) y playas elevadas (Brown, 1922) antes de la denominación de tablazo. Murray (1925) parece ser primero en haber dividido la unidad en 3 tablazos, del más bajo hacia arriba: Muey, Santa Elena y Alto Tablazo. Luego Sheppard (1926) propuso 3 nombres diferentes, pero equivalentes, para la zona de Colonche: Tablazos Colonche, San Pablo y Fungay. Los de la península de Santa Elena corresponden a las altitudes de 2-10 m ; 35-40 m y 75-90 m (Hoffstetter, 1948).

Marchant (1961) tiene una teoría diferente. Piensa que todos los niveles de tablazo, que son más de los tres citados, son el resultado del fallamiento. Sin embargo, piensa que han ocurrido tres cambios en el nivel más reciente; el más alto está representado por el tope plano de la Península de Santa Elena, el medio coincide con la de tablazo en la Punta Santa Elena y el más bajo corresponde a la playa elevada en las puntas Certeza, Anchn y Carnero.

Gubler y Ortynsky (1966) notaron que el pozo Golfo 1, al sur de la Península de Santa Elena, ha atravesado el tablazo hasta una profundidad de 90 m.

Al SE del Golfo de Guayaquil, el litoral de El Oro sufrió un hundimiento marcado y luego una emersión tardía; el resultado es un tablazo algo inclinado ampliamente desarrollado tierra adentro y que penetra en los valles fluviátiles.

PUNTA ANCÓN.

La localidad tipo es Punta Ancón (110-430) donde 120 m de estratos están expuestos, pero es un olistolito grande en contacto tectónico con la lutita Seca abajo. Entonces las 6 unidades en que Sheppard (1928) dividió la formación tienen valor local con posible excepción de la arenisca blanca de Ancón. Otras ocurrencias de los olistolitos se conocen entre Santa Elena y San Pablo; en la parcela Progreso 2 Km. NO de Santa Elena se han encontrado areniscas parecidas a las de Punta Ancón en el S., areniscas sironilares también fueron penetradas en la zona de Santa Paula debajo del Olistostromo Azúcar (En Punta Ancón están encima del Azúcar) y en Punta Mambra. También hay Olistolitos del tipo Punta Ancón cerca de Aguadita.

La litología es predominantemente de grauvaca bien pabremente estratificada, suave a dura y amarilla-anaranjada. El grano varía entre fino y grueso y son mal clasificados. El ambiente sugerido es marino de

poca profundidad y litoral pasando a deltaico.

En la playa de Centinela el olistostromo está compuesto casi en su totalidad por olistolitos con poca matriz. En cambio unos Kms. afuera predomina la matriz.

SECA.

Miembro del Grupo Ancón, ahora considerado como parte del complejo olistostrómico de Santa Elena.

La unidad lleva el nombre de la quebrada Seca, situada al SE del campamento petrolero de Ancón. Aflora desde la costa desde la localidad tipo hasta Punta Mambra en el SE y ocupa una amplia Area tierra adentro al E, para alcanzar la costa norte, desde el norte de San Pablo hasta más allá de Valdivia.

Anteriormente el nombre ha sido aplicado a la sección argilacea encima de la Fm. Socorro, y está bien definida en los registros eléctricos. Pero en cambio, en las afloramientos excelentes a lo largo de la playa, se observan variaciones litológicas y faunicas. El aspecto unificado de la lutita Será es que son pedazos de turbiditas distales (las más alejadas de sus fuentes de origen) del Eoceno Superior; cada uno

tiene contactos tectónicos con sus vecinos.

En el subsuelo los depósitos encima de la Socorro son casi exclusivamente argiláceos, pero en la playa se ven las lodolitas masivas de la Cacique, lutitas grises yesiferas, lutitas cafés y areniscas turbidíticas. En el SE las areniscas son más comunes y pasando Punta Mambra se pierde el carácter de turbiditas y no se puede diferenciar la Seca de la Socorro. En el SE ocurren horizontes olistostómicos que contienen olistolitos de piedras hasta de 10 cm. y de "guijarros de arcilla". El contacto basal con la Socorro es una falla de ángulo bajo y la Socorro abajo está completamente brechada por el movimiento. El contacto superior con los olistolitos arenáceos de Punta Ancón también es tectónico. El espesor incompleto pasa los 150 m.

SOCORRO.

Marchant (1956) definió la formación y designó la localidad tipo. Toma su nombre de la parcela Socorro del campo petrolero de Ancón y de la quebrada Socorro. Luego (1957) dividió la formación en tres miembros: Socorro Superior, Seca Falsa y Socorro Inferior, que se distinguen por Geofísica y Paleontología. Ahora con la teoría olistostómica (Azad, 1968;

Coldman, 1970) se piensa que las divisiones no tienen valor y probablemente son tectónicas y no estratificadas. La unidad está conocida principalmente en el distrito petrolero de Ancón. Hay buenos afloramientos en los acantilados marinos cerca del campamento de Ancón.

La Socorro tiene contactos tectónicos en cada dirección. No es una unidad rígida y es muy fracturada y se ha deslizado sobre el olistostromo abajo. Consiste casi enteramente de turbiditas, pero estas representan solamente una porción de la formación original que no se ve en el sitio en ninguna parte.

Las areniscas son grauvacas de color gris - verde, medio duras y cementadas por calcita y material argiláceo. Las lutitas interestratificadas son gris-verdes. Los buzamientos generalmente son bajos 20 grados. El espesor máximo es de 1113 m en el pozo Febres Cordeiro.

*

CLAY PEBBLE BED.

\

Antes fue considerado como una formación, pero según el trabajo de los geólogos de la A.E.O. (Azad, 1968; Coldman, 1970) ahora es considerado como un olistos-

* Nombre propio de Formación, ver referencia (4).

tromo. Ocurre principalmente en la zona de Ancón entre el olistostromo Azúcar abajo y la Socorro arriba. Hay buenos afloramientos en los acantilados de Ancón y en la Quebrada Socorro.

La matriz del olistostromo es de arcilla verde-gris que meteoriza anaranjado. La arcilla es a veces arenosa y generalmente sin estructura. Hay lugares donde está afectada fuertemente por espejos de fricción. Los guijarros de arcilla (Clay Pebbles), son pulidos, redondeados o subangulares, cubiertos por una película de óxido de hierro y se separan fácilmente de la matriz. También hay olistolitos de tipo Socorro (areniscas estratificadas turbidíticas) que son más numerosas cerca del contacto con Socorro. A veces son impregnadas con aceite.

En ciertos pozos, un desarrollo de areniscas con capas de Clay Pebble Bed ha sido llamado Arenisca Santo Tomás. Este es un olistolito de tipo Atlanta. El espesor es muy irregular y varía entre 0 y 750 m.

SANTO TOMAS.

Está definida como una arenisca conglomerática dura, debajo de los Clay Pebble Beds y descansando sobre las areniscas y conglomerados del Azúcar. Coldman

(1966) declaró que la unidad tipo de Santo Tomás consiste de una lengua de areniscas y conglomerados del tipo Atlanta, que parece unirse con la Atlanta principal al S y desaparece al N. Al E y al O termina bruscamente. En este sector la Santo Tomás y la Atlanta están separadas por los Passage Beds. Al N de la localidad tipo el nombre Santo Tomás ha sido aplicado a las areniscas y conglomerados de menor importancia en los Clay Pebble Beds que parecen ser olistolitos del Complejo Olistostrómico de Santa Elena.

Coldman (1966) pensó que el nombre Santo Tomás ha sido dado al número de bloques aislados del tipo dr las areniscas y conglomerados de la Atlanta. Ahora piensa que la arenisca Santo Tomás está formada de olistolitos de tipo Atlanta y que no es una unidad estratigráfica.

LUTITA ATLANTA.



BIBLIOTECA

En los pozos de Ancón generalmente hay un intervalo de areniscas delgadas, limos y arcilla entre el tope de la arenisca Atlanta y la **base** de Clay Pebble Bed o la arenisca Santo Tomás. Coldman (1966) lo correlaciona con la matriz Azúcar en la parte circundante de Ancón. Azad (1968) pensó que son bloques deslizados

de formaciones que descansan sobre el olistostromo Azúcar. El espesor varia considerablemente, entre 0 y 800 m, y es difícil saber donde poner el contacto superior.

ATLANTA.

Nombre dado a los plistolitos arenáceos en la Península de Santa Elena, que antes se llamaron Arenisca Atlanta. La arenisca Atlanta con la lutita Atlanta antes fueron llamados Formación Atlanta, ahora conocido como Olistostromo Azúcar.

AZÚCAR.



BIBLIOTECA

Azad (1968) incluyó las rocas del Grupo en el Olistostromo Azúcar y esto explica mucho el desorden que se ve en el campo. Como consecuencia de esta teoría, muchos de los nombres anteriores (Arenisca Santa Rosa, Arenisca Atlanta, Lutita Atlanta, Arenisca San José, entre otros) que han sido correlacionados, están abandonados y remplazados por la "Matriz Azúcar" y los "Olistolitos Atlanta". Ya no es posible dividir el Olistostromo en formaciones litométráticas ni hacer correlaciones laterales.

En cartas el Olistostromo Azúcar es un lente. El

espesor máximo probado es de 2365 m en el pozo número 792 del campo Ancón, pero es probable que el espesor pase de los 3000 m allí. Al N de Ancón el Olistostromo Azúcar desaparece bruscamente. Esto se nota por su ausencia en los pozos Japonesa N-1 y Ancón 1949 perforados a poca distancia al N del campamento Carmela y la Zona Tigre del campamento Ancón donde el Azúcar forma el reservorio.

En la cuenca de Progreso el espesor máximo es de 409 m en el pozo Carrizal i entre las formaciones Socorro y Cayo. Pero ahora se piensa que Cayo ahí es un olistolito. En el campamento Ancón el olistostromo Azúcar descansa sobre el Olistostromo Wildflysch.

*

WILDFLYSCH.

Nombre introducido para un olistostromo que ocurre entre las rocas cretácicas y el Olistostromo Azúcar en el campamento de Santa Paula y que aflora en la playa de Petrópolis. Antes fue conocido como Formación Santa Elena y en parte como la Formación *Seca*.

La litología de la matriz varía, pero en las zonas de Santa Paula y Petrópolis es material con evidencia de flujo plástico y muchos espejos de fricción. En pozos

* Nombre propio de Formación, ver referencia (4)

la matriz es una arcilla suave de baja resistividad (5 ohms) en que altas presiones se notan frecuentemente.

La mayor parte de los olistolitos son lutitas silicificadas tipo cretácico. También hay rocas ígneas y areniscas pero las últimas no afloran en la playa de Petrópolis. En la extensión del afloramiento al NE de Santa Elena hay bastantes olistolitos de areniscas, identificados como areniscas de Punta Ancón y es probable que el material arenáceo en Santa Paula sea el mismo. El espesor en el campamento Santa Paula varía entre 180 y 1170 m.

CAYO.

Se trata de una serie potente (hasta 3000 m.) de sedimentos duros y resistentes a la erosión. Comprende pizarras arcillosas y tobáceas muy silicificadas de color verde oscuro a gris verduzco, areniscas bajas, arenosas tobáceas hasta conglomeráticas de color pardo o negro, grauvacas y brechas finas de material volcánico.

Los afloramientos en la Península de Santa Elena que mencionaron Thalman (1946) y Small (1962) son bloques aislados de la Cayo o miembro Guayaquil (Santa Elena)

transportados e incorporados al Complejo Olistostrómico de Santa Elena. La formación descansa siempre sobre la formación Piñón.

PINON.

El nombre está tomado del río Piñón que cruza aproximadamente 3 Km de afloramientos a 20 Km de Jipijapa. Existen también afloramientos en los cerros Chongón-Colonche. Al NE de Bahía se extiende por 70 Km de la zona de Jama Coaque.

Está compuesta en su mayoría de rocas extrusivas tipo basalto o andesita basáltica. En la localidad tipo consiste de piroclastos no estratificados. A veces se ven las estructuras "pillow" en los basaltos. Aglomerados ocurren en cantidad menor, así como argilitas tobáceas, limolitos y areniscas en capas delgadas.

La base no se encuentra. El tope es la base de la Formación Cayo que descansa concordantemente y con contacto transicional sobre la Piñón.

La figura 4 muestra la ubicación del área de estudio de esta tesis.



FIG.4 MAPA DE UBICACION DEL AREA DE ESTUDIO

CAPITULO II

ASPECTOS TEORICOS FUNDAMENTALES DE LDS PERFILES.

2.1 PERFIL RE POTENCIAL ESPDNTANED (SP). (9)

El SP es un potencial natural que ocurre en el pozo. El potencial se desarrolla en frente de la capa permeable cuando un efecto electroquímico es generado. El cambio de voltage que se desarrolla es permanentemente un indicador de la presencia de un sistema de lodo de perforación, formación permeable y arcilla. La cantidad de voltage generado es debido al contraste de resistividades del agua del pozo (filtrado del lodo) y el agua salada de formación. La figura 5 muestra un registro de SP esquemático. La linea base de las lutitas se toma como referencia para todas las observaciones. Si el SP cambia al lado derecho (+) de la linea base de las lutitas, el agua de formación tiene mayor resistividad (R_w) que la del filtrado del lodo (R_{mf}). D sea que el lodo es más salado que el agua de formación (zona 1 de la figura 5). Si la R_{mf} es mayor que la R_w , se desarrolla un SP negativo Zona 3. A mayor contraste entre R_{mf} y R_w se

tiene una mayor deflexión del SP. El SP puede ser usado para estimar cuantitativamente la R_w , a lo largo del pozo, donde el lodo sea homogéneo. Si el SP tiene casi la misma deflexión desde la linea base para varias zonas (zonas 4 y 5), se puede asumir que R_w (resistividad del agua de formación) es constante. Las zonas 1 al 6 son permeables. Del SP se estima R_w que es necesaria para calcular la saturación de agua S_w .

2.1.1 Formas Comunes de la Curva del SP.

Un buen entendimiento del SP para la interpretación de registros antiguos requiere un conocimiento del comportamiento del SP para ciertas condiciones dadas. La sección previa podría haber reforzado la idea de que la amplitud de la deflexión del SP en zonas permeables es controlada por la salinidad del lodo y agua de formación. Si el agua de formación es la misma y se perfora con lodo salado, el SP tendrá menos anomalías en capas permeables.

La figura 6 es una revisión de las formas del SP. La figura 6a muestra una gruesa capa permeable con anomalías contrarias a la de capa impermeable, siendo plana. Si la capa es fina,

figura 6b se tendrá un SP punteado. En todos los casos el límite de la capa estará en el punto de inflexión como se muestra en las figuras. Si la lutita y la capa permeable tienen la misma resistividad el punto de inflexión estará a medio camino entre la lutita y la zona permeable del SP. Si la resistividad de la lutita (R_{sh}) es mucho más grande que la resistividad de las zonas permeables (R_{sd}), el punto de inflexión se moverá hacia la linea de la capa permeable (figura 6c). Si la R_{sd} es mucho mayor que la R_{sh} , el punto de inflexión se moverá hacia la linea base de las lutitas (figura 6d) y el SP será más redondeado en la zona permeable. La figura 6e muestra el resultado de la cantidad de decrecimiento de arcilla sobre una zona de producción de agua. La zona de más alto contenido de arcilla, será la de menor deflexión del SP, o sea en la zona de 100% de arcilla la curva se situará en la linea base de las lutitas. La figura 6f muestra una zona permeable con muchas capas permeables y zancas de lutita interestratificada. Si la formación es arcillosa y contiene hidrocarburos, el SP se reduce una cantidad indeterminada. Desafortunadamente muchas veces no podemos decir si la reducción del SP es debida a arcilla o a hidro-

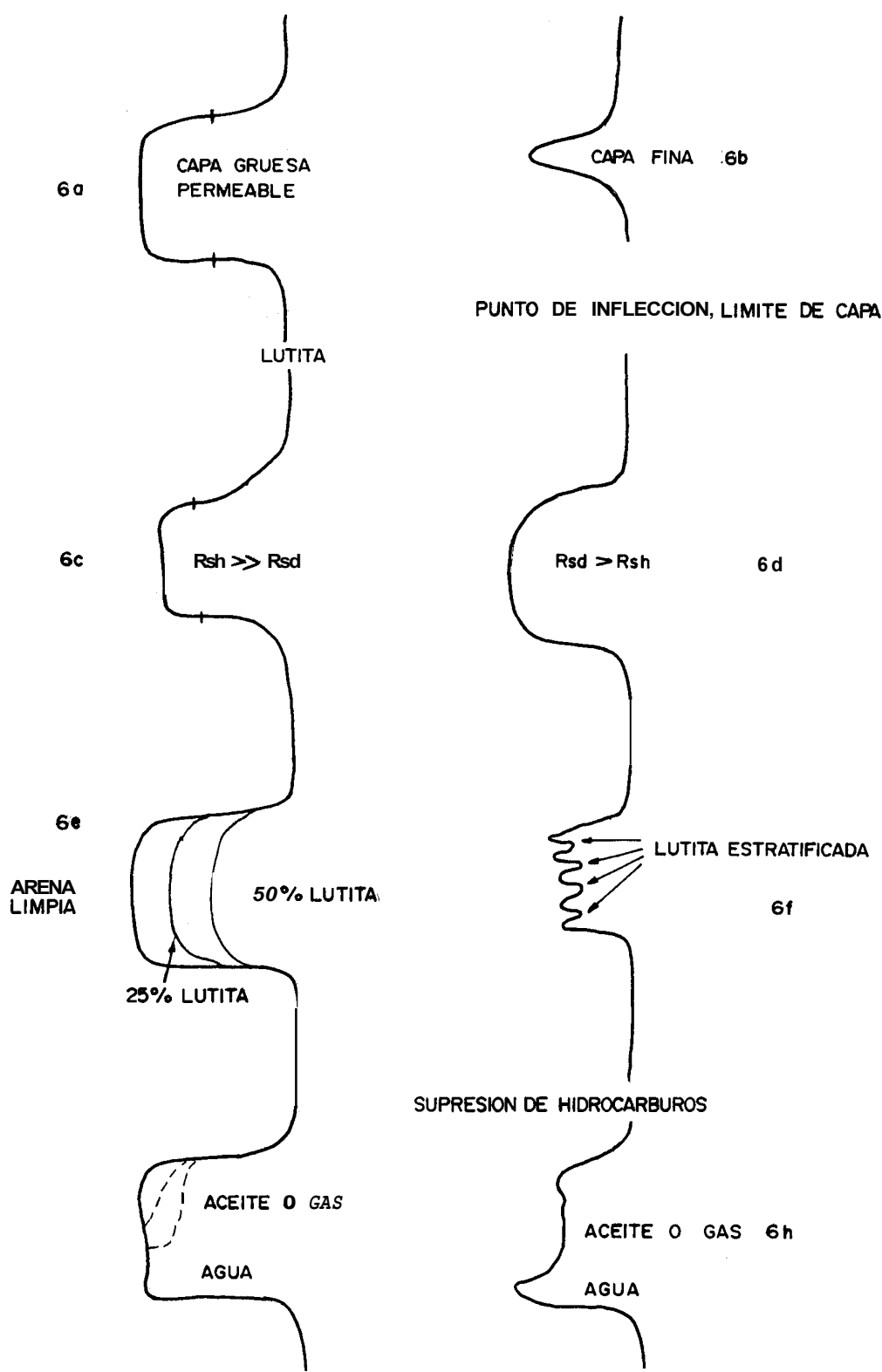


FIG. 6 TIPOS DE CURVAS DEL SP

carburos. Las figuras 6g y 6h muestran supresión de hidrocarburos. La figura 6h muestra una curva común de SP donde hay una zona de producción de agua bajo una zona de producción de hidrocarburos.

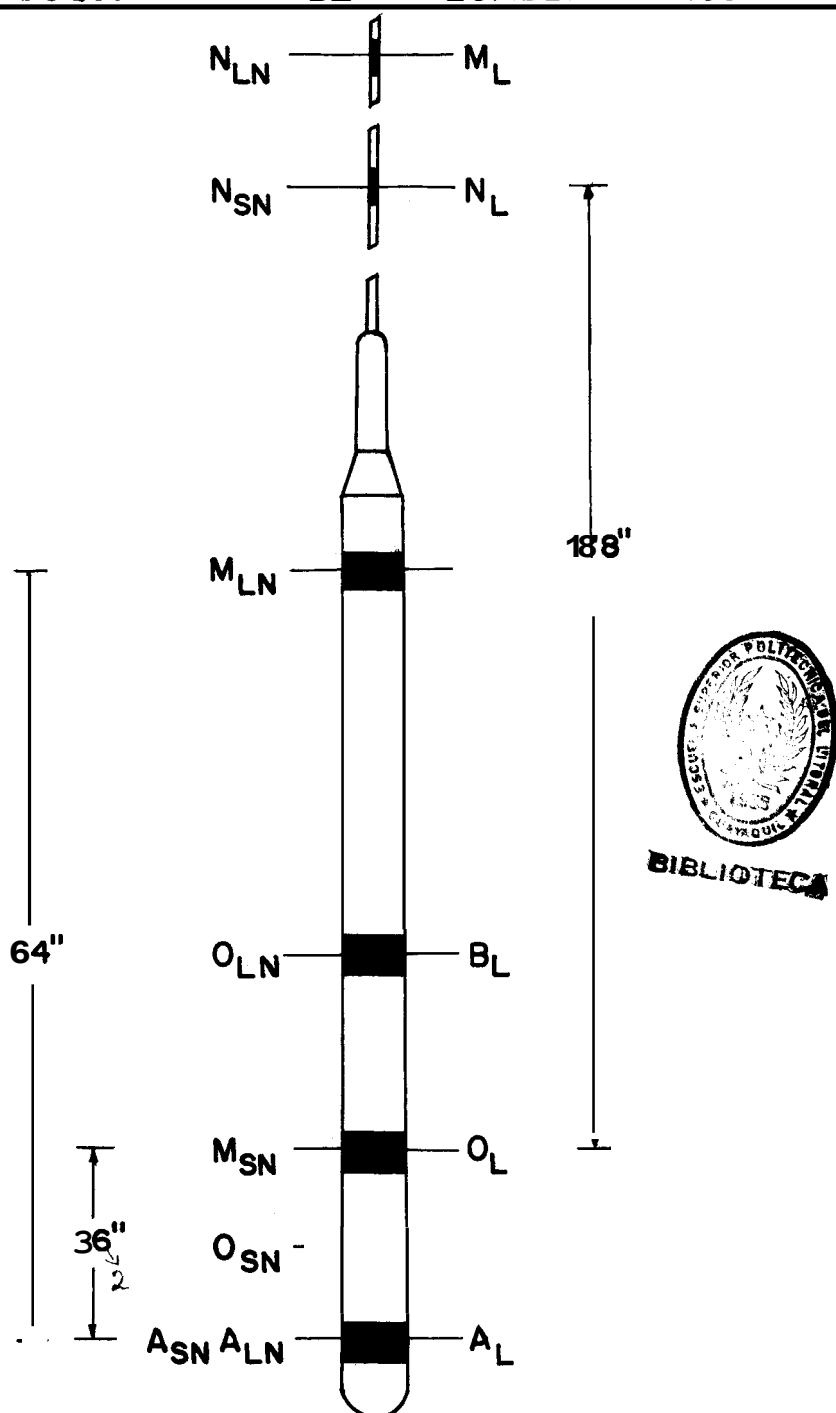
2.2 PERFILES ELECTRICOS ANTIGUOS (ES).

Los registros eléctricos (6) son combinaciones de varias curvas de perfiles. Son usualmente el SP, la Normal Corto, la Normal Largo, y la Lateral. La combinación varía con el tiempo y servicio de la compañía.

La figura 7 es una sonda esquemática estándar de Schlumberger de 1950.

Las Normales fueron corridas un cierto periodo, seguidas por la Lateral. Estas fueron secuenciadas para simular que las curvas sean continuas. El cero o profundidad de referencia son mostrados. La diferencia entre el Normal Corto y el Normal Largo fue compensada por la cámara del registro. Esto fue hecho para balancear eléctricamente las líneas. Para obtener más de los tres espacios que son estándares para esta sonda (herramienta de registro) todo lo que se debe hacer es reconnectar las partes del sistema en

SONDA ESQUEMATICA DE SCHLUMBERGER 1950



PUNTOS DE MEDIDA PARA LAS CURVAS B_{LN} Y B_{SN}
 By A son electrodos de corriente
 My N son electrodos de medida
 SN-NORMAL CORTO, LN-NORMAL LARGO, L-LATERAL

FIG.7 SONDA DE SCHLUMBERGER 1.950

diferente forma. Un registro Normal de 32 pulgadas fue obtenido moviendo el M para el Normal Corto desde el electrodo #2 en el (fondo de la herramienta) hasta el #3. Un Lateral Largo, para 24 pies que a menudo se corría, fue diseñado añadiendo un nuevo electrodo para NL más arriba de la brida (la sección de goma del cable donde están localizados los 2 electrodos más altos), conectado en NL. Las calibraciones para las curvas también fueron cambiadas. Esta sonda fue más versátil por su contenido no electrónico, sólo electrodos y líneas de conexión.

2.3 PERFILES COVENCIONALES DE RESISTIVIDAD. (9)

Durante el primer cuarto de siglo de la existencia de los perfiles de pozos, los únicos perfiles eléctricos disponibles fueron los convencionales de resistividad más el SP. Miles de ellos fueron hechos cada año en pozos perforados en todo el mundo. Desde entonces se han desarrollado nuevos métodos de perfilaje para medir valores mucho más exactos de R_{xo} o R_t , que son los parámetros buscados.

2.3.1 Fundamento.

En los perfiles convencionales de resistividad, se envían corrientes a la formación a través de

unos electrodos y se miden los potenciales eléctricos entre otros. La medición de estos potenciales permite determinar las resistividades. Para que halla una circulación de corriente entre electrodos y formación, la sonda debe ser corrida en pozos que contengan lodo o agua, conductores de la electricidad, (Fig. 8).

En una formación homogénea, isotrópica y de extensión infinita, las superficies que circundan un electrodo emisor de corriente (A) son esferas. El potencial medido entre un electrodo (M) situado entre una serie de estas esferas y otro ubicado en el infinito es proporcional a la resistividad de la formación homogénea; la desviación del galvanómetro correspondiente a tal potencial puede ser calibrada en unidades de resistividad.

2.3.2 Dispositivo Normal.

En éste (figura 8a) una corriente de intensidad constante circula entre los electrodos A y B. Se mide la diferencia de potencial resultante entre los electrodos M y N. Los electrodos A y M están en la sonda. B y N están teóricamente situados a una distancia infinita. En realidad

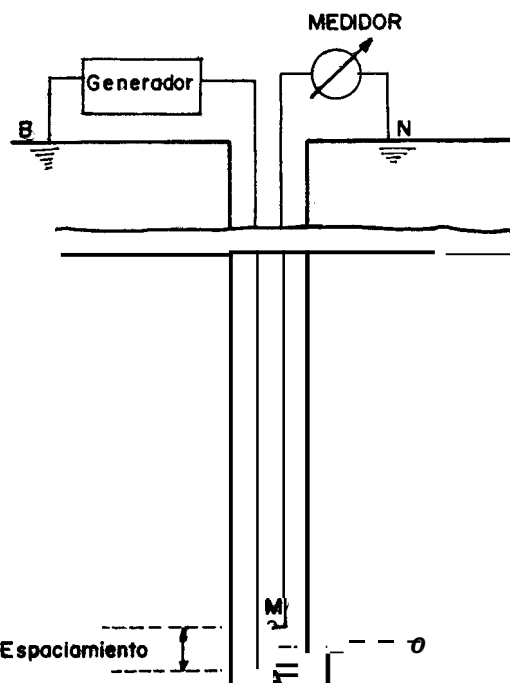
B está en la armadura del cable y N es un electrodo en la superficie, colocado lejos de A y M. La distancia AM es llamada "espaciamiento" (16 pulgadas o sea 0,4 m para la Normal Corta, 64 pulgadas o sea 1,6 m para la Normal Media) y el punto de registro para la medición está en O

2.3.3

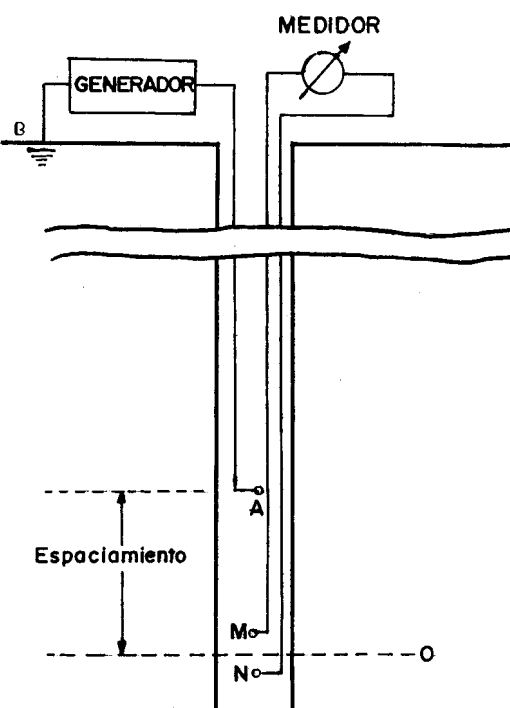


BIBLIOTECA

En éste (figura Bb) una corriente constante es circulada entre los electrodos A y B y se mide la diferencia de potencial entre los electrodos M y N, situados sobre dos superficies equipotenciales esféricas concéntricas con centro en A. La tensión medida así es proporcional al gradiente de potencial entre M y N. El espaciamiento AD es de 18 pies 8 pulgadas o sea 5,70 m. El punto de registro es O, situado en el punto medio entre M y N. Hablando en forma general, a mayor longitud de espaciamiento corresponde una investigación más profunda en la formación. Así entre los perfiles ES de resistividad, la curva Lateral de 18 pies con 8 pulgadas tiene la mayor profundidad de investigación y la Normal de 16 pulgadas tiene la menor profundidad de investigación.



a) DISPOSITIVO NORMAL



b) DISPOSITIVO LATERAL



BIBLIOTECA

FIG.8 DISPOSITIVOS CONVENCIONALES DE RESISTIVIDAD
a) DISPOSITIVO NORMAL
b) DISPOSITIVO LATERAL

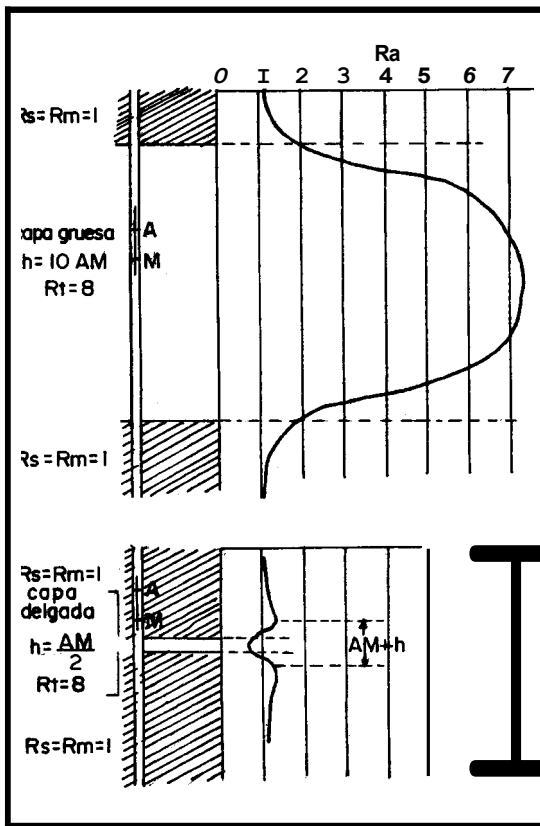
En la práctica, sin embargo, la resistividad aparente, R_a , registrada por cada dispositivo (pozo, zona invadida y no contaminada y zonas adyacentes).

2.3.4 Formas de las Curvas Normales y Laterales.

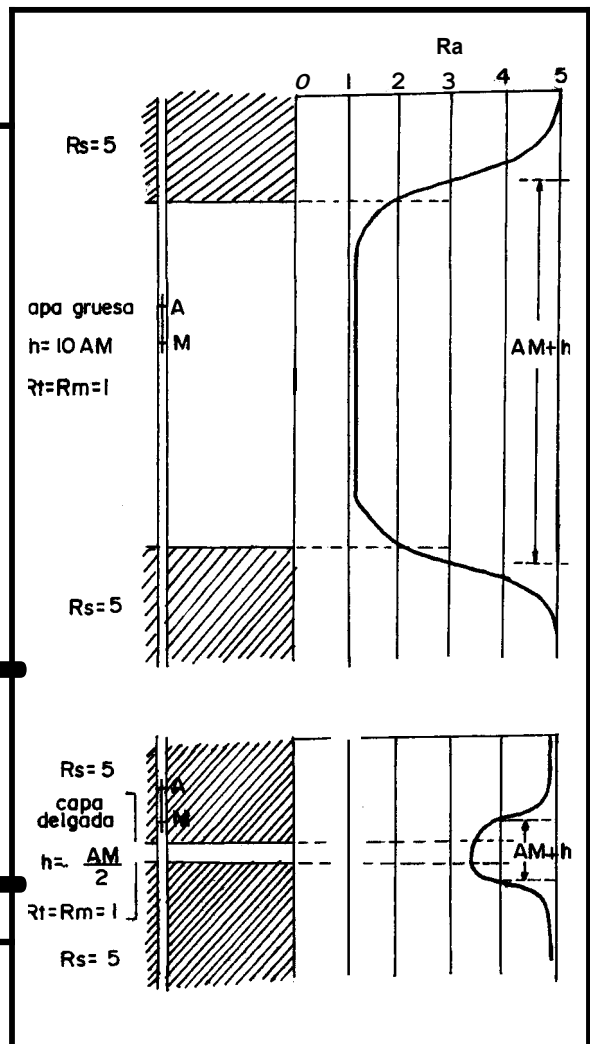
Las formas de las curvas Normales y Laterales son estudiadas para unos pocos casos típicos. Todos los casos representados, corresponden a formaciones no invadidas. Para interpretar correctamente los Perfiles de Resistividad Convencionales, uno debe conocer muy bien estas curvas típicas.

Figura 9; Dispositivo Normal. Presenta las variaciones que se producen tanto si la capa es más resistiva que las formaciones adyacentes o si es menos resistiva que estas. Las resistividades de los varios medios están indicados en la misma figura.

Para el primer caso, si la capa es gruesa ($h = 10\text{AM}$), la curva es simétrica; se observa un máximo en el centro de la capa donde la lectura es casi igual a R_t (sin invasión). El espesor aparente de la capa en la curva Normal es menor

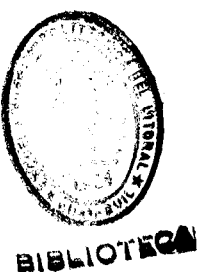


CURVAS NORMALES CAPA MAS RESISTIVA QUE FORMACIONES ADYACENTES



CURVAS NORMALES CAPA MENOS RESISTIVA QUE FORMACIONES ADYACENTES

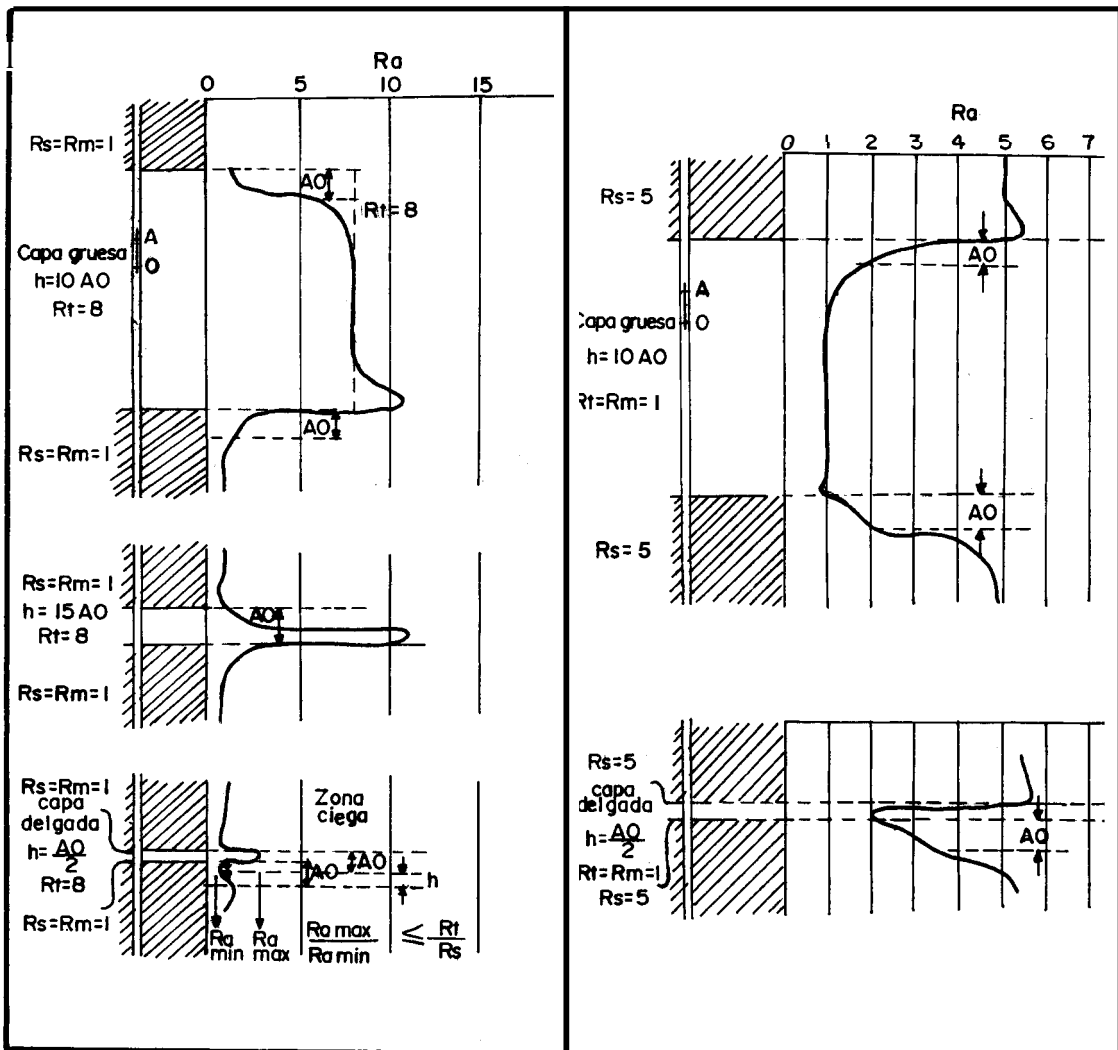
FIG. 9 CURVAS NORMALES



que el espesor real, en una cantidad igual de espaciamiento. Si la Capa es más delgada que el espaciamiento, la curva es todavía simétrica; se observa un mínimo, menor que la resistividad de la formación adyacente, frente a la capa. Dos picos espúreos aparecen uno encima y otro debajo de la capa; la distancia entre los dos picos es igual al ancho de la capa más el espaciamiento de la Normal.

Las curvas son simétricas si las capas, sean estas gruesas o delgadas, tienen menor resistividad que las formaciones adyacentes. El espesor aparente de las capas es mayor que el espesor real.

En la figura 10 tenemos el Dispositivo Lateral para capa más resistiva que las formaciones adyacentes. Dado que el espaciamiento usado es de 8 pies y 18 pulgadas los casos representados corresponden a espesores de capas de 190 pies (58 m), 28 pies (8,5 m) y 9 pies (2,75 m). Ninguna de las capas es simétrica. En el caso de las capas de 190 pies y 28 pies nòtese las lecturas comparitativamente bajas de resistividades en los 19 pies (5,8 m) superiores de la capa y las lecturas de altas resistividades



CURVAS LATERALES CAPA MAS RESISTIVA QUE FORMACIONES ADYACENTES

CURVAS LATERALES CAPA MENOS RESISTIVA QUE FORMACIONES ADYACENTES

FIG. IO CURVAS LATERALES

cerca del borde inferior. Para la capa de 190 pies la curva presenta una meseta relativamente larga con lecturas semejantes a R_t . Se requiere un espesor mínimo de capa de alrededor de 40 pies (12 m.) para obtener estas lecturas de mesetas sin influencia de las formaciones adyacentes. En el caso de una capa delgada, hay un pico agudo de resistividad frente a la capa, seguido de lecturas bajas en la "zona ciega" y luego un pico de "reflexión". La relación mostrada en la figura ($R_{a \max}/R_{a \min} < (R_t/R_s)$, es de interés, aún si el valor de R_t no es muy exacto.

Figura 10; Dispositivo Lateral. Capa menos resistivas que formaciones adyacentes. Las curvas no son simétricas. En ambos casos la anomalía se extiende por debajo de la capa a una distancia mayor que A_0 .

2.4 PERFILES MICROHESISTIVOS. (2)

Los perfiles microresistivos permiten medir R_{x0} (Resistividad de la zona lavada) y delimitar las capas permeables mediante la detección del revoque (costra, enjarre) del lodo.

2.4.1 Microperfil (ML).

El propósito principal de este registro fue el de dar las características de las formaciones en las zonas más cercanas al pozo; fue diseñado de tal manera que su radio de investigación fuera pequeño, sin ser afectada por los fluidos en el pozo y que por consiguiente se encuentre en contacto con las formaciones que atravieza, por medio de dos patines que se operan hidráulicamente. Las lecturas se efectúan mediante dos dispositivos de espaciamiento muy pequeño. La herramienta tiene como objetivos los siguientes puntos:

- Por medio del Microperfil se podrá determinar la resistividad de la zona lavada (R_{xo}) y por ende la porosidad efectiva.
- El Microperfil determina efectivamente los límites de la formación y permite una evaluación del espesor neto de la zona productiva, estableciendo los estratos productores interestratificados que no se pueden reconocer con los perfiles convencionales.
- Determina el espesor de la costra de lodo (tmc) en las zonas permeables.

- Medir la resistividad el lodo (R_m) en el pozo, con tal fin las medidas se hacen en el viaje hacia abajo cuando la sonda está todavía en posición cerrada. Medidas bastante precisas de R_m se obtienen, especialmente en las partes agrandadas del pozo, por medio de los electrodos de la Microinversa.
- Determina la presencia y el grado de continuidad de zonas impermeables estratificadas dentro de secciones de la roca de acumulación, es de gran importancia en los estudios de inyección de fluidos que se hacen con el fin de aumentar la recuperación del petróleo.

Principio de Medición.

El registro está constituido por dos curvas que son tomadas simultáneamente a la profundidad. La primera es una curva Normal que se toma con los electrodos A-M2 y un electrodo de referencia, que tiene un espaciamiento de 2 pulgadas (llamada también Micronormal) y la otra es una curva Lateral que se toma con los electrodos A-M1-M2 y tiene un espaciamiento AO de 1,5 pulgadas, siendo O el punto medio entre M1-M2 (llamada esta curva Microinversa). Por medio del

electrodo A, se envía a la formación una corriente de intensidad conocida, la cual crea diferencias de potencial entre los electrodos M1-M2 y entre M2 y el electrodo de referencia en la superficie.

El radio de investigación de la Microinversa es de 1,5 pulgadas y el de la Micronormal es de 2 a 4 pulgadas, la primera corresponde básicamente a la costra de lodo (tmc) y la segunda principalmente a la zona lavada.

En la figura 11 se muestra la sección de patines de la sonda del Microperfil.

Perfil Típico.

En la pista izquierda en escala lineal, se registra la curva de calibración y una linea trazada eléctricamente, que representa el diámetro de la broca. La diferencia entre las dos líneas permite conocer el espesor de la costra de lodo. En la pista derecha se registra la curva Micronormal (línea punteada) y la curva Microinversa (curva continua).



BIBLIOTECA

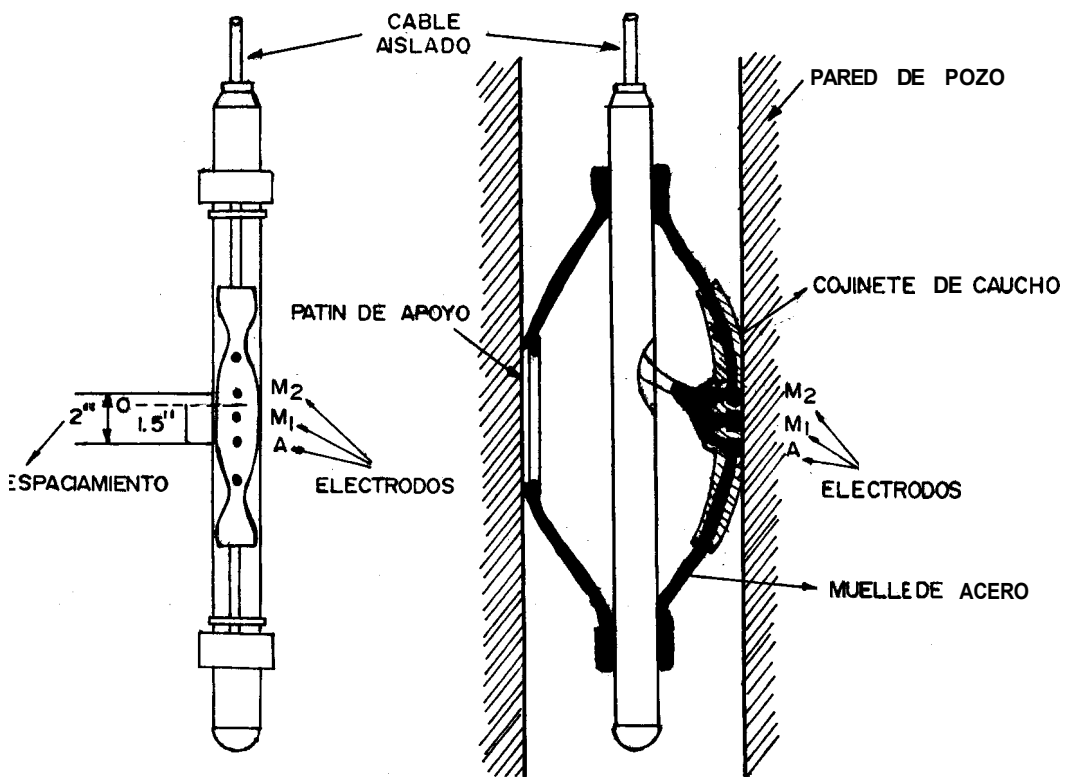


FIG. II DISTRIBUCION DE LOS ELECTRODOS EN LA SONDA DEL MICROPERFIL

Interpretación Qualitativa.

Las características del Microperfil, con base a las observaciones y análisis de la figura 12, son las siguientes:

- En zonas muy apretadas o duras (calizas, dolomitas y anhidritas compactas) ambas curvas tenderán a leer valores altos de resistividad, indicando ausencia de permeabilidad (separación negativa), y la curva será bastante dentada e irregular debido a la desviación de la corriente alrededor del cojinete.
- En una sección de lutita, debido a la falta de permeabilidad, no ocurre introducción del filtrado del lodo y por lo tanto no se forma costra de lodo. Como resultado las curvas de 1 pulg. por 1 pulg. y 2 pulg. se superponen, o presentarán una separación ligeramente negativa.
- El registro Microperfil en presencia de una zona permeable y porosa responde con una separación positiva entre las dos curvas, la cual se tiene cuando la Micronormal lee un

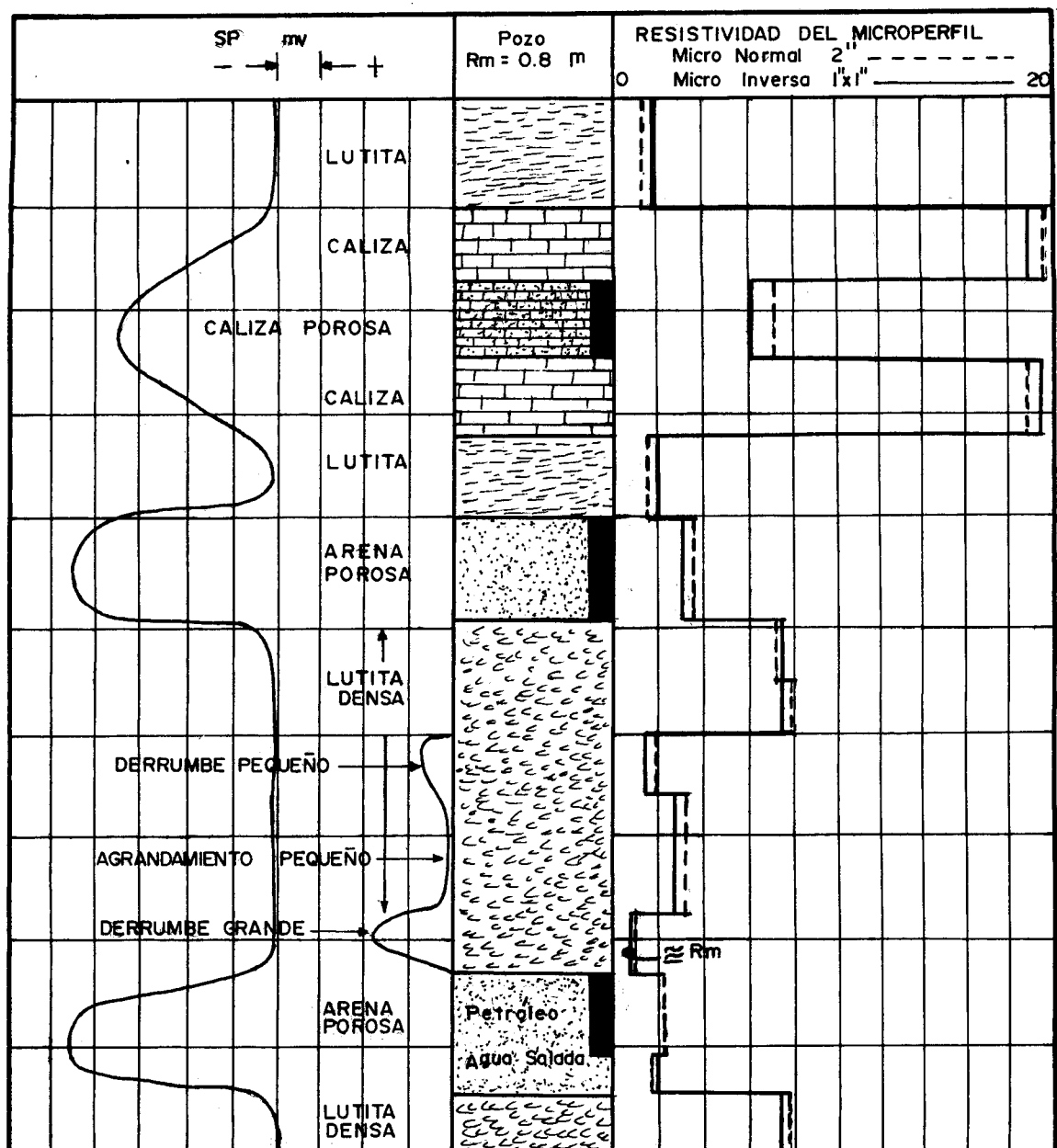


FIG. 12 INTERPRETACION CUALITATIVA
DEL REGISTRO DE MICROPERFIL



valor mayor que la Microinversa.

BIBLIOTECA

- En arenas de alta porosidad y permeabilidad que contienen agua salada, en general ocurre poca o ninguna invasión, por lo que tendremos una separación negativa, en donde la curva de 2 pulgadas investiga R_o (Resistividad de la formación saturada 100% de agua) y la curva $\frac{R_e}{1}$ pulg. por 1 pulg. la resistividad de la costa de lodo R_{mc} , donde es mayor que la R_o , debido al uso de lodos de baja pérdida de agua.
- Si la porosidad y la permeabilidad de una formación son muy altas y la formación contiene agua mucho más salada que el filtrado del lodo, este tiende a flotar sobre el agua de formación, acumulándose en tope de la zona porosa; en estas circunstancias el Microperfil mostrará separación positiva en el tope de la formación y ninguna separación (o negativa en algunos casos) hacia la base.
- Con el Microperfil existe la posibilidad de determinar la presencia de un ensanchamiento del pozo. Estos espacios se llenan con lodo y la resistividad registrada es aproximadamente

la del lodo, la cual es más baja que la resistividad de la costra. Por lo tanto las curvas registradas coinciden una con la otra.

Los factores que afectan a los perfiles de pozos convencionales son: Diámetro del pozo, Resistividad del lodo de perforación, espesor y resistividad de la costra de lodo, diámetro de invasión y espesor de la formación.



2.4.2 Dispositivo Microlateroperfil.

BIBLIOTEC

Es una herramienta de pared compuesta por un patín de electrodos y un patín de apoyo ubicados en forma opuesta uno respecto del otro, que posee mecanismo de enfoque de corriente, para tratar de eliminar en su mayor parte el efecto de la costra de lodo.

El Microperfil se usa más ampliamente en pozos perforados con lodos poco resistentes (conductivos). Cuando la resistividad del filtrado del lodo es aproximadamente igual o menor que la resistividad del agua de formación; en consecuencia el contraste entre las resistividades de la formación y de la costra de lodo es alto. Para tales condiciones los revoques no son por-

lo general muy gruesos.

Objetivo=

El Microlateroperfil se usa para medir la resistividad de la zona lavada (R_{xo}), la que a su vez puede utilizarse para determinar la porosidad y para estimar la saturación de agua.

Principio de Medición.

El sistema de medida comprende un electrodo central A_0 de pequeño diámetro y tres electrodos circulares en forma de anillos M_1-M_2 y A_1 , concéntricos en A_0 , espaciados $9/16$ pulg. entre anillos sucesivos; todos los electrodos van enfocados sobre una almohadilla que se apoya frente a las paredes del pozo mediante un mecanismo de resortes.

Por el electrodo emisor A_0 se emite una corriente constante conocida, hacia la formación y otra corriente de la misma polaridad que se ajusta automáticamente por medio de un electrodo exterior de enfoques A_1 , de tal manera que la diferencia de potencial entre los electrodos M_1-M_2 se mantenga básicamente nula.

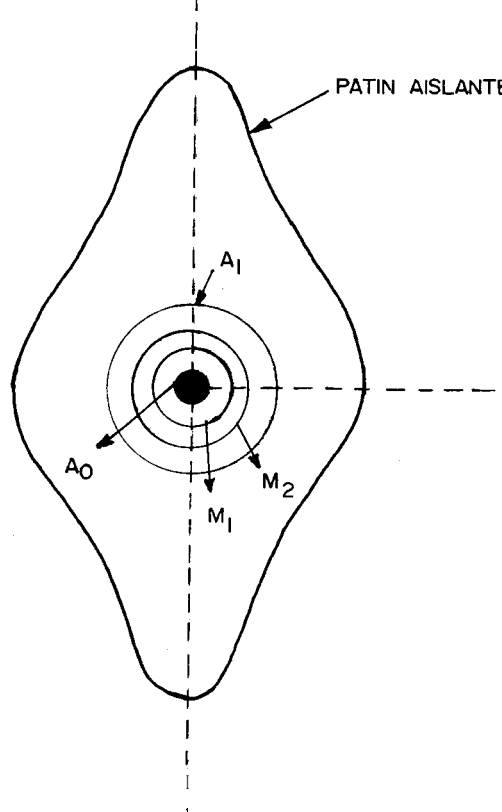
La corriente emitida a través del electrodo A1, obliga a la corriente emitida en A0 a penetrar perpendicularmente a la formación en forma de haz, con un diámetro que es aproximadamente el diámetro promedio de los anillos M1-M2, es decir 2 pulg. para luego divergir a pocas pulgadas de la almohadilla. La lectura del Microlateroperfil está influenciada mayormente por la formación abarcada por este delgado haz con una profundidad de investigación de 3 pulg., siempre que el diámetro de invasión sea mayor de 4 pulg.

En la figura 13 se detalla el patín del Micro-lateroperfil con electrodos de corriente.

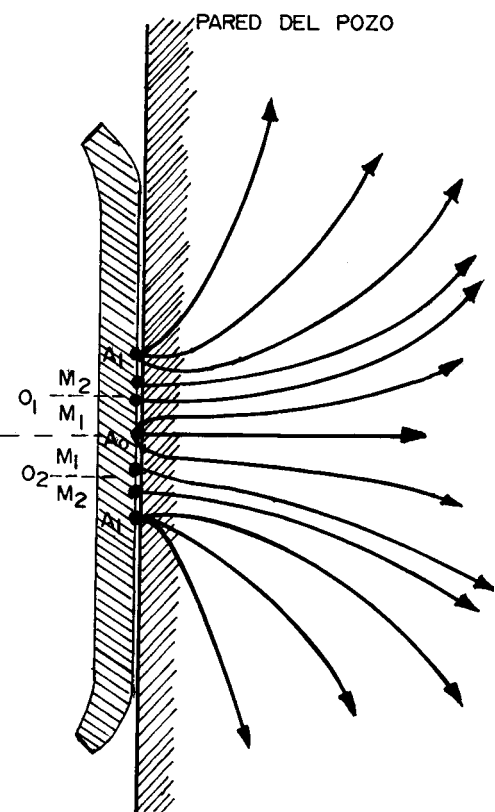
Perfil Típico.

En la pista izquierda en escala lineal, se grafica el perfil de calibre del pozo (Càliber), el perfil del diámetro de la broca, además una curva litológica de rayos gamma.

En la pista derecha la curva de resistividad del microlateroperfil, ya sea en escala lineal o logarítmica.



DISTRIBUCION DE LOS ELECTRODOS
EN EL PATIN



DISTRIBUCION DE LAS LINEAS
DE CORRIENTE

FIG. 13 DISPOSITIVO MICROLATEROPERFIL

Interpretaci&on Qualitativa.

- En formaciones porosas y permeables, la curva de resistividad da directamente el valor de R_{xo} , siempre y cuando el diámetro de invasión sea de 4 pulg., obteniéndose lecturas muy bajas.
- En formaciones duras impermeables se obtiene generalmente lecturas muy altas.
- En las lutitas sino hay derrumbes y la almorhadilla está bien apoyada contra la pared del pozo, se obtiene directamente el valor de la resistividad (R_{sh}).

Condiciones Optimas y Limitaciones.

Este equipo responde en zonas de bajas porosidad, con fluidos de perforación conductivos, en formaciones donde el contraste de resistividad entre la resistividad de la formación y la resistividad de la costra del lodo es mayor que 100 $\Omega\text{-m}$. Además el espesor de la costra del lodo no debe exceder de 3/8 pulg. y el diámetro de invasión no ser mayor de 4 pulg.

El registro Microlateroperfil es ideal cuando existen lodos salados que producen invasión moderada o profunda y revoques delgados, por tal motivo tiene la característica de tener buena definición vertical, produciendo un re-



2.5

El perfil de Rayos Gamma mide la radioactividad natural de las formaciones. En formaciones sedimentarias generalmente refleja el contenido de lutita de las formaciones. Esto es porque los elementos radioactivos tienden a concentrarse en arcillas y lutitas. Formaciones limpias tienen un nivel bajo de radioactividad a menos que estén contaminadas con ceniza volcánica o rodeados de graníticos radioactivos, o cuando las aguas de formación contienen sales disueltas.

El perfil de Rayos Gamma puede ser registrado en pozos entubados lo que lo hace muy útil en operaciones de terminación y reacondicionamiento.

2.5.1 Propiedades de los Rayos Gamma.

Los rayos gamma son emisiones de ondas electro-

magnéticas de alta energía que son emitidos espontáneamente por algunos elementos radiactivos como potasio, uranio y torio.

Al pasar a través de materia, los rayos gamma experimentan sucesivas colisiones con los átomos de formación. Finalmente después de que el rayo gamma ha perdido suficiente energía, es absorbido según el efecto fotoeléctrico.

Equipo.

La sonda de rayos gamma contiene un detector para medir la variación originada en el volumen de formación cercano a la sonda. Se ha generalizado el uso de Scintílómetros para la medición de radioactividad de las formaciones en los pozos. Son muchos más eficientes que los contadores Geiger-Mueller, que antes se usaban. El perfil de Rayos Gamma puede correrse en combinación con otros registros como por ejemplo un Neutrónico, Sónico, Densidad, Inducción, Lateralog.

Calibración.

Los perfiles de Rayos Gamma son generalmente

calibrados hoy en dia en unidades API. Las radioactividades observadas en formaciones sedimentarias varian desde unas pocas unidades API en anhidrita o sal, hasta 200 unidades API o mas en lutitas. Anteriormente los perfiles de Rayos Gamma de Schlumberger eran calibrados en microgramos de radio equivalente por tonelada de formacion. Las conversiones de estas unidades a unidades API son las siguientes:

Equipo	Uds. antiguas	U. API
Rayos Gamma BNT-F o G	1 μgm Ra-Eq/ton	16.5
Rayos gamma BNT-J	1 μgm Ra-Eq/ton	11.7

2.6 PERFIL DE NEUTRON. (6)

Los perfiles Neutrónicos son usados principalmente para ubicar formaciones porosas y determinar su porosidad. Ellos responden en primer lugar a la cantidad de hidrógeno presente en la formación. Así, en formaciones limpias cuyos poros están llenos de agua o petróleo, el perfil Neutrónico nos da el valor real del espacio poroso lleno del fluido.

Fundamento.

Los neutrones son partículas eléctricamente neutras cuya masa es idéntica a la del átomo de hidrógeno.

Una fuente radioactiva colocada en la sonda emite continuamente neutrones de alta energía. Estos neutrones al encontrarse con núcleos del material de la formación, chocan elásticamente a semejanza de bolas de billar y en cada colisión los neutrones pierden parte de su energía, entonces se dispersan sin orden hasta que son atrapados por núcleos de átomos tales como cloro, hidrógeno, silice, etc.

Cuando la concentración de hidrógeno de la formación que rodea a la fuente de neutrones es alta, la mayoría de los neutrones son retardados y capturados aún a una corta distancia de la fuente. Por el contrario, si la concentración de hidrógeno es baja, los neutrones viajan más lejos antes de ser capturados. Con la distancia de fuente a detector comúnmente utilizada, a una mayor lectura corresponde una menor concentración de hidrógeno y viceversa, por lo que la concentración de hidrógeno guarda una relación con la porosidad.

Equipos:

Los equipos neutrónicos en uso incluyen la serie GNT, el aparato SNP y el CNL. El diseño del SNP es específicamente para pozos abiertos y en la determinación de la porosidad el efecto del pozo es mínimo. El

diseño del CNL es para ser corrido en combinación con otros aparatos en pozos abiertos o entubados. El efecto de los parámetros del pozo queda reducido considerablemente por sus características compensatorias. EL GNT puede ser usado en pozos abiertos o entubados. Se registra al mismo tiempo que una curva de rayos gamma con lo cual se hace resaltar cualitativamente la presencia de lutitas, formaciones impermeables y porosas.



CAPITULO III

BIBLIOTECA

COMPORTAMIENTO CARACTERISTICOS DE LOS PEFILES EN FORMACIONES EXISTENTES EN EL AREA.

3.1 INFLUENCIA DE LAS ARCILLAS EN LOS REGISTROS. (5)

La ocurrencia de materiales arcillosos en rocas reservorio (tales como areniscas, calizas o dolomitas) pueden llevar a resultados erróneos de saturación de agua y porosidades a partir de registros eléctricos. Las areniscas arcillosas son uno de los problemas más importantes en este tiempo en la tecnología del petróleo. La interpretación convencional de areniscas lutíticas se refiere sólo a las lutitas efectivas, tales como la montmorillonita, bentonita, etc, y no a las lutitas no efectivas tales como la kaolinita y la clorita.

Los problemas encontrados con areniscas lutíticas son varios. Los registros de porosidad son afectados todos en un cierto grado. La resistividad de la formación es afectada por las lutitas efectivas y

probablemente lo más significativo es que el contraste entre la zonas de aceite (o gas) y agua es reducido. Cuando la zona llega a ser muy arcillosa, es difícil y algunas veces imposible determinar si las zonas son productivas. Esto es principalmente debido a la influencia de la arcilla en la permeabilidad. Es necesario tener un amplia experiencia regional, para determinar si la arcilla es dispersa, laminar o estructural. Esta se obtiene a partir del análisis de núcleos y de las pruebas de reservorio. Desafortunadamente las rocas reservorio cambian sus características en poca distancia, lo que podría causar una falsa interpretación de la zona de pago.

Las correcciones en areniscas arcillosas, todas tienden a reducir la saturación de agua calculada asumiendo que no hay arcilla. Esto es un problema ya que se puede sobreestimar el contenido de arcilla, pudiendo convertir una zona como productora de hidrocarburos sin que lo fuera.

Una arenisca arcillosa (5), es una arena con un porcentaje mayor al 15% del contenido de lutita efectiva. Si posee entre el 10 y el 15%, no causa un efecto significante en la interpretación.

Las lutitas efectivas tienen bajas resistividades y

pueden bajar las resistividades de las rocas reservorio si hay hidrocarburos. La resistividad de una lutita efectiva es controlada por porosidad, salinidad del agua y temperatura en curso.

En una zona de producción de agua , la lutita puede reducir o incrementar la resistividad dependiendo de la salinidad del agua de formación y de la porosidad. La influencia de lutitas efectivas da como resultado altas saturaciones de agua.

El contenido de lutita efectiva reduce la amplitud del SP. La R_w calculada a partir del SP en una arenisca arcillosa es más alta que la que se tendría en una zona equivalente de arenisca limpia. En zonas de hidrocarburos, la reducción podría aumentar debido a la disminución del SP por la presencia de hidrocarburos. Así el SP ve la máxima cantidad de arcilla presente.

Un incremento del contenido de arcilla en una formación dà como resultado un incremento en la radioactividad de la formación. Hay que tener cuidado con la interpretación de zonas radioactivas que no son arcillosas.

3.2 FORMACIONES DE INTERES. (1)

La producción proviene principalmente de los yacimientos denominados Azúcar (Atlanta) y Socorro, que se encuentran a profundidades que varían desde 800 a 4000 pies y desde 200 a 1800 pies respectivamente. Estos yacimientos son de edad geológica Eoceno Superior.

a) ATLANTA.

Alrededor de 112 millones de barriles de petróleo han sido extraídos desde 1921. La máxima producción obtenida de estos campos fue de 7300 BPPD en 1961, siendo el campo Ancón el de mayor aporte. Hasta Marzo de 1985 la producción fue de alrededor 1150 BPPD, con un promedio de 560 pozos productores.

La Fm. Atlanta es la más importante de todas por su volumen y producción. El máximo espesor de Atlanta en el campo Ancón fue detectado en el pozo 792 que atravesó más de 7000 pies sin llegar al contacto inferior, por lo que no se conoce su espesor total.

b) SOCORRO.

En la unidad Socorro se han perforado cerca de 880 pozos cuyas profundidades son menores a 2000 pies. Se ha extraído 15 millones de barriles tipo LLT con

características nafténicas, mayor densidad y menor capacidad migratoria en comparación con el aceite HCT producido por la arenisca Atlanta.

Las turbiditas Socorro han sido poco estudiadas, pues los pozos que se perforaron, lo hicieron sin determinar con precisión los niveles de interés hidrocarburíferos, razón por la que se instalaron líneas perforado que abarcan las dos terceras partes de la profundidad del pozo; es por esto que no se tiene mayores detalles y, la información existente es escasa y contradictoria, existiendo criterios diferentes sobre espesores, topes y nombre de las rocas atravesadas.

La resistividad de las rocas que se presenta en los registros eléctricos es de 8 a 20 ohm.m.

En el pozo 1825 del campo Ancón se presenta un espesor de 1725 pies, y su máximo espesor es de 3651 pies en el pozo Febres Cordero 1, de la cuenca Progreso.

Socorro ha sido subdividido en: Socorro Superior, Seca Falsa y Socorro inferior. Esta subdivisión obedece más a propiedades eléctricas de los registros de pozos, que a su microfauna. Generalmente las resistividades se diferencian por cuanto Seca Falsa es más

arcillosa y menos resistiva, mientras que Socorro Superior es intermedia, diferenciándose Socorro Inferior por ser más resistivas que las demás, motivada porque la presencia de las arenas es más constante.

Las zonas en Socorro que han sido más productivas son: Hecotea y Seca en área aproximada de 9 Km cuadrados donde se encuentran cerca de 400 pozos; Santo Tomás y Emporio en un área de 6,8 Km cuadrados con 200 pozos, Tablazo y La Fé en un área de 3,6 Km cuadrados con 150 pozos y en el área Central en un área de 0,8 Km cuadrados con 20 pozos.

Cabe indicar que de estas zonas, las únicas que están incluidas en el área de interés de este trabajo, son las áreas Seca y Central,

3.3 REGISTROS DISPONIBLES.

En la tabla II se indican los registros de cada uno de los pozos con los que cuenta como información el proyecto de la ESPOL de "Reabilitación de los Campos de la Península".

Sin embargo para el análisis cuantitativo y cualitativo hemos seleccionado ciertos pozos de las cinco zonas, los cuales cuentan con un significativo grupo

de registros para poder hacer el análisis, así:

Del área Ancón no hemos seleccionado ningún registro por no contar con buena información de estos ya que esta área es muy antigua.

Del área Cacique por ser esta una área de desarrollo reciente, se cuenta con muy buena información de registros por lo que en casi todos los pozos contamos con t-eyistros Lateroperfil, Microlateroperfil y Rayos Gamma.

Del área Central por ser una de las más antiguas de la Península, no se tiene una buena información de perfiles de pozo, pues en la mayoría de los casos, solamente se ha corrido registros eléctricos cuando la técnica no había evolucionado mucho, por lo que esta información sólo ha sido considerada cualitativamente.

Del área Concepción, se tiene buena información en algunos pozos desarrollados no hace mucho tiempo.

Del área Seca así mismo se cuenta con registros de los pozos 1251 y 1650.

Cabe anotar que debido a la gran cantidad de pozos y

al gran número de registros, el estudio se hizo en base solo de los pozos que cuentan con el juego de registros de Rayos Gamma, Lateroperfil y Microlateroperfil; considerados como representativos de las zonas para el tipo de estudio que aquí se realiza.

3.4 PASOS A SEGUIR EN UNA INTERPRETACION.

Para hacer una interpretación cualitativa se siguen los siguientes pasos:

- 1) Seleccionar los intervalos que tienen porosidades representativas y que pertenezcan a las secciones de interés.

Esto está dado con el registro de Neutrón o MLL, los cuales muestran lecturas bajas en zonas de alta porosidad. El MLL presenta mayores detalles. Cuál sería el valor más bajo de porosidad comercial es difícil de responder, debido a la arcillosidad de la formación. El valor límite de la resistividad podría estar en el orden de 50 veces la resistividad del filtrado del lodo.

- 2) Chequear que las lecturas bajas del Microlaterolog no sean dadas en presencia de lutita. Esto se deduce del registro de GR , el cual presenta

altas lecturas de radioactividad en la zona de lutitas.

3) Evaluar la saturación del aceite So.

Esto se obtiene a partir de la comparación de R_{II} y R_{mII}. Si el lodo y el agua de formación tienen la misma resistividad, es decir la lectura del R_{mII} coincide con la lectura del R_w, y si R_{II} y R_{mII} son similares, la sección en la que se encuentran será una zona productora de agua. Cuando el petróleo está presente, el LL leerá un valor de resistividad más alto que el MLL.

4)



Las zonas permeables son indicadas por: **BIBLIOTECA**

a.- Un MLL sin detalle mostrando la presencia de costra de lodo.

b.- Separación positiva, entre las resistividades del MLL y del LL.

c.- Un gradiente de resistividad sobre el LL, indicaría permeabilidad vertical baja.

Los resultados de la interpretación cualitativa deben ser confirmados con los de las pruebas de producción.

3.5 INTERPRETACION CUALITATIVA POR POZO.

La Formación Atlanta es un cuerpo de arenisca masiva del Eoceno, donde la mayoría de los espacios porosos están llenos con material salado y arcilloso. De los varios espesores de algunos cientos de pies, sólo unos pocos intervalos tienen la porosidad y permeabilidad necesaria para producir.

Los registros más importantes corridos son el GR, LL y el MLL. Adicionalmente se tiene en ciertos pozos los registros de Neutrón y Sônico.

Es de indicar que casi todos los pozos de la Península no cuentan con el registro de Potencial Espontáneo (SP). La razón fundamental para que no se haya corrido el registro de SP, es que los pozos fueron perforados con lodo salado, y por consiguiente la curva del SP no se hubiese manifestado, puesto que no habría contraste entre las resistividades del agua de formación (salada) y la del filtrado del lodo. También los registros resistivos tomados los primeros años en los primeros pozos no son muy claros y a la vez poco confiables. Se hicieron experimentos co-

registro de GR da una indicación de un alto contenido de arcilla, que es normal en la arenisca Atlanta propiamente dicha. En la zona de los 3100' a 3670' se nota el MLL cae bajo los 10 R-m³, tanto abajo como sobre esta zona, se tiene unas pocas indicaciones de porosidad, no se tiene una buena detección de los intervalos porosos en el MLL debido quizás a la falta de control de calidad en la toma del registro. El GR nos indica claramente cuales son las zonas arcillosas y cuales son las zonas potencialmente productivas. El registro del calibre del pozo muestra que el hueco es muy regular en la zona de la arenisca Atlanta.

POZO 1231.

La compañía Schlumberger tomó los siguientes registros: LL, MLL con Calibre, Neutrón y GR hasta el fondo del pozo, en el año de 1956.

Los registros muestran que el tope de la arenisca Atlanta está a 2155', y la distribución de intervalos porosos en la formación es como sigue:

2175'-2400': Esta sección contiene una distribución de intervalos entre 2250' y 2400' y probablemente representa la zona productiva del pozo 21.

2400'--2880': Esta zona contiene mucha arcilla, los intervalos porosos están bien espaciados.

3800'--4000': Es una zona muy arcillosa, carece de intervalos porosos.

La curva del MLL sobre los intervalos porosos marca de 5 a 10 $\Omega\text{-m}$ y pocas veces baja de los 5 $\Omega\text{-m}$ en la parte superior de Atlanta. Cabe indicar que el pozo no fue productivo. Es probable que en este pozo las porosidades, en los pocos intervalos porosos que tiene, son bajas y las presiones son insuficiente para obtener producción.

POZO 1235.

Desde los 409' se corrieron los registros ES, LL, MLL con Calibre, GR y Neutrón hasta la profundidad total del pozo.

El tope de la arenisca Atlanta se lo encuentra a 3377'; al interpretar los registros, se nota un intervalo bien definido de porosidad desde 3596' hasta 3655', y otros intervalos pequeños entre 3450' y 3700'. A partir de los 3700' hasta los 4250' no se encuentran intervalos porosos importantes, es una

zona de resistividad inferior a los 20 $\Omega\text{-m}$. Bajo esta profundidad la resistividad es un poco más alta pero la curva es muy anómala, producto quizás de la gran cantidad de lutita interestratificada.

POZO 1237:



En el año de 1956 se corrieron los registros *B*, *L*, *GR*, *ME*, *ES* y *BS*, a partir de los 629'. El tope de la arenisca Atlanta está claramente definido a 3620'. Del análisis de los registros podemos dividir a la arenisca Atlanta en 3 secciones:

- a) 3620'-4200': Arenisca Atlanta normal con intervalos porosos bien marcados.
- b) 4200'-4460': Arenisca con mucha arcilla y sin intervalos porosos de importancia.
- c) 4460'-4985': Arenisca menos masiva que en (a), con más frecuencia de interestratificaciones de arcilla. Los intervalos porosos son difíciles de escoger, en esta parte de la formación tanto las lecturas del perfil *GR* como las resistividades del Lateroperfil caen en un rango indefinido de valores, y la

distinción entre intervalos de arena
y intervalos porosos es difícil
de hacerla.

Podemos hacer una correlación con el pozo 1235 en
base a las respuestas del Lateroperfil. (Figura 14).

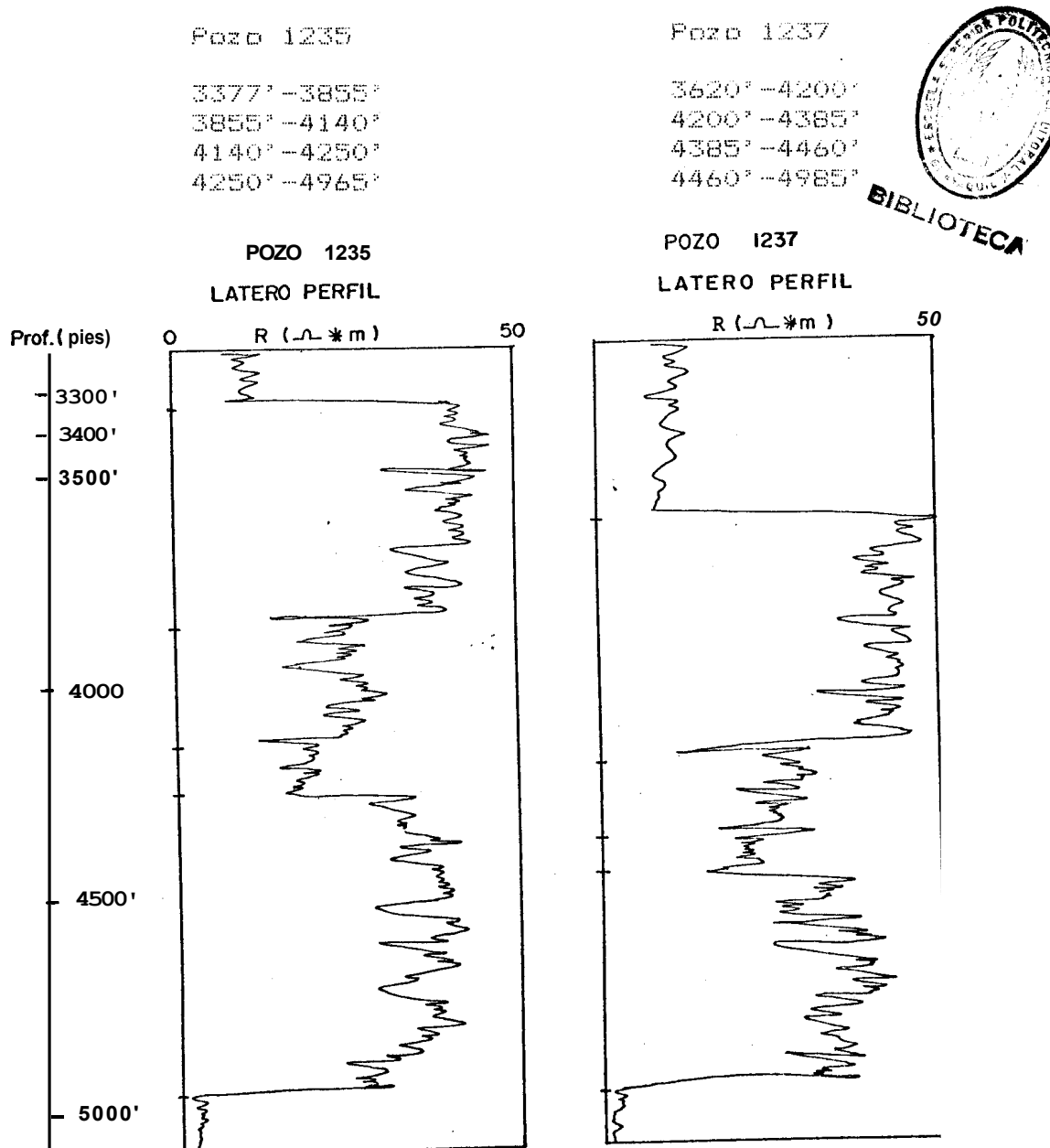


Figura 14. Correlación entre los pozos 1235 - 1237.

POZO 1241.

A partir de los 606' se corrieron los siguientes registros: ES, LL, MLL y GR.

La arenisca Atlanta fue localizada a 3812', desde donde se localiza una gran cantidad de intervalos porosos. La formación la podemos dividir en cuatro secciones y compararla con los pozos vecinos. La figura 15 muestra la caracterización del Lateroperfil en la Fm. Atlanta de los pozos indicados a continuación:

Pozo 1241	Espesor	Esp. en 1235	Esp. en 1237
a) 3812'-3885'	73'	478'	580'
b) 3885'-4185'	300'	285'	185'
c) 4185'-4265'	80'	110'	75'
d) 4265'-4974'	709'	718'	525'

La sección (a) presenta intervalos porosos muy delgados. La sección (b) es improductiva. La sección (c) tiene pocos intervalos porosos importantes. Por consiguiente la producción de estos pozos es de la zona (d), con más o menos 500' de espesor productivo.

POZO 1244.

En 1957 se corrieron los siguientes registros: LL, MLL, GR y ES. La curva del Lateroperfil no es perfec-

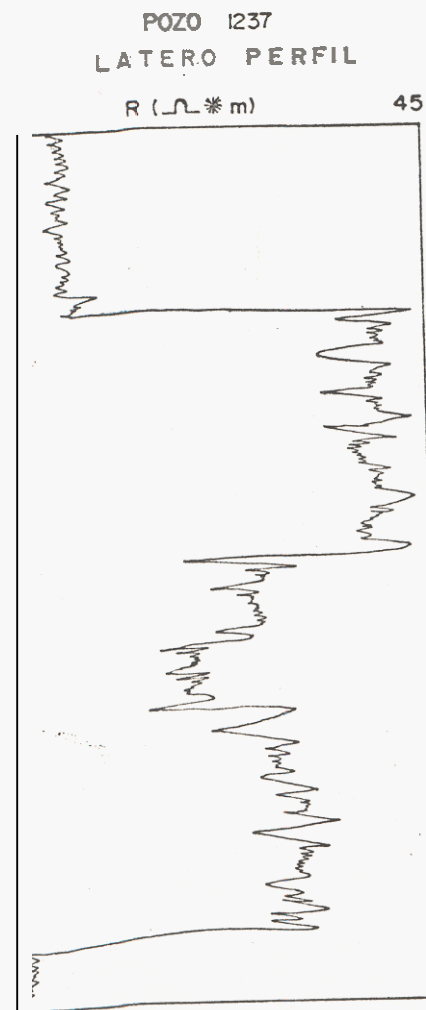
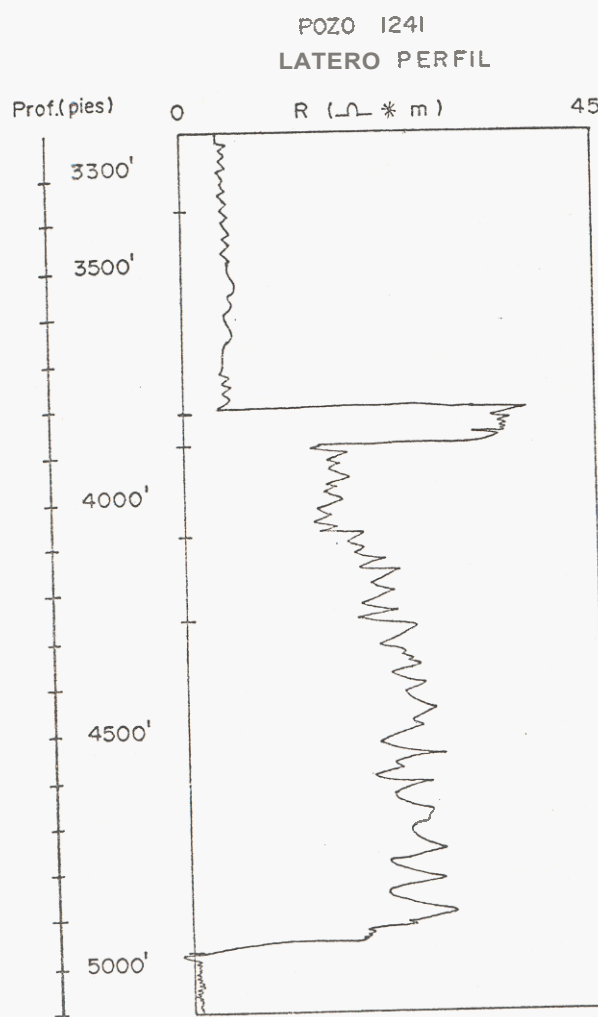


FIG. 15 CORRELACION ENTRE LOS POZOS 1241, 1235, 1237

ta, debido quizás a alguna falla técnica del equipo en ese entonces durante la toma del registro.

Se puede deducir que el tope de Atlanta está cerca de los 3280', en base al análisis de los registros eléctricos y con la ayuda de la información de pozos vecinos.

POZO 1248.

En el año de 1957, la compañía Schlumberger corrió los siguientes registros: ES, LL, MLL y GR.

El tope de la arenisca Atlanta aparece a 3070'. La curva del LL nos muestra un promedio de 20 a 40 $\Omega\text{-m}$ en esta formación. Sin embargo hay dos zonas de alta resistividad, 3180'-3330' y 3115'-3250', donde las resistividades alcanzan hasta 50 y 80 $\Omega\text{-m}$ respectivamente. La zona de 3330'-3430' es de baja resistividad, con promedio de 15 $\Omega\text{-m}$.

POZO 1294.

En el año de 1960 se tomaron los registros LL, MLL, GR y ES.

La arenisca Atlanta aparece a los 4315' de profundidad.

dad. En esta formación según el registro LL, podemos distinguir varias zonas que podemos correlacionarlas con las del pozo 1237: (Figura 16).

Pozo 1237

Resist.

3620' - 4200'	40 $\Omega\text{-m}$
4200' - 4385'	14 $\Omega\text{-m}$
4385' - 4460'	.7 $\Omega\text{-m}$
4460' - 4985'	20 $\Omega\text{-m}$

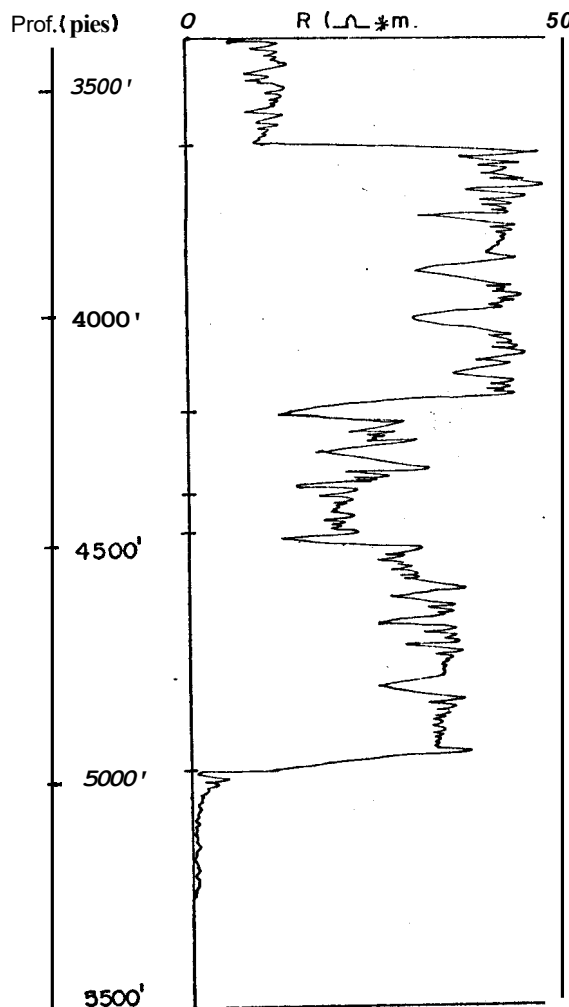
Pozo 1294

Resist.

4315' - 4670'	40 $\Omega\text{-m}$
4670' - 5005'	17 $\Omega\text{-m}$
5005' - 5015'	8 $\Omega\text{-m}$
5015' - 5500'	21 $\Omega\text{-m}$

POZO 1237

LATERO PERFIL



POZO 1294

LATERO PERFIL

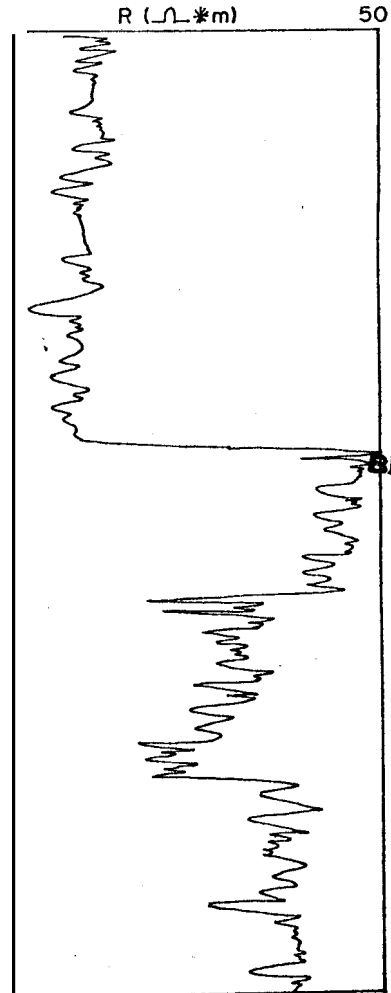


Figura 16. Correlación entre los pozos 1237 y 1294.

Foto:

Zona	Pozo 1643	Pozo 1241	Pozo 1294
1	3560° - 4090°	3810° - 3885°	4315° - 4670°
2	4090° - 4240°	3885° - 4185°	4670° - 5005°
3	4240° - 4400°	4185° - 4265°	5005° - 5015°
4	4400° - 4446°	4265° - 4974°	5015° - 5500°

Pozo 1644.

En el año de 1960 se corrieron los registros Lateral-perfil, Microperfil y Rayos Gamma.

Analizando el registro de Lateraloperfil deducimos fácilmente las formaciones con los cambios en las resistividades. La arenisca Atlanta aparece a los 4070°, y desde aquí hasta 4226° presenta su mejor zona con un espesor de pago de aproximadamente 40 pies.

Pozo 1650.

En el año de 1960 se corrieron los siguientes registros: Lateraloperfil, Microlateraloperfil y Rayos Gamma.

La arenisca Atlanta aparece a los 4990° de profundidad. En este pozo se alcanzan a reconocer 3 zonas importantes en esta formación.

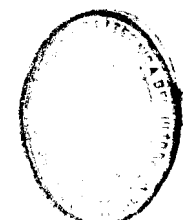
Zona	Profundidad
1	4990' - 5170'
2	5170' - 5245'
+	5245' - P.T.

A partir de los 5245' se deduce una discontinuidad en la curva del Lateroperfil, puesto que no se aprecia otra zona de interés a esta profundidad, que venía manifestándose en los pozos vecinos anteriormente estudiados.

POZO 31-1.

En 1960 se corrió el juego de registros LL, MLL y BR. La arenisca Atlanta aparece a los 3990' de profundidad. Se alcanza a reconocer 2 zonas de interés:

Zona	Profundidad
1	3990' - 4425'
2	4542' - 4662'



POZO 1652.

En 1951 se corrió el juego de registros LL, MLL y BR. En este pozo al igual que el anterior se reconocen 2 zonas de interés:

Zona	Profundidad
1	4545' - 4930'
2	4930' - 5000'

En la zona 1 la resistividad es del orden de los 30 $\Omega\text{-m}$.

POZO 1653.

En el año de 1961 se corrieron los registros LL, MLL, GR y N.

Se reconocen 2 zonas de interés:

Zona	Profundidad
1	4695' - 4854'
2	4854' - 5202'

La resistividad en la zona 1 varía de 25 a 50 $\Omega\text{-m}$, con un promedio de 30 $\Omega\text{-m}$. Los intervalos porosos fueron menos sensibles que en la zona 2, cuya resistividad promedio es de 75 $\Omega\text{-m}$.

POZO 1688.

En el año de 1961 se tomaron los siguientes registros: Lateroperfil, Microlateroperfil, Rayos Gamma, y Neutrón.

El tope de Atlanta se deduce por un incremento brusco de la resistividad hasta 40 $\Omega\text{-m}$ a los 4965' de profundidad. Ya en Atlanta mismo, se distinguen cuatro

zonas:

Zona	Profundidad
1	4935' - 5050'
2	5050' - 5282'
3	5282' - 5370'
4	5370' - 5460'

La zona 1 tiene un promedio de resistividad de 25 $\Omega\text{-m}$, en general es una zona de poco potencial productor de petróleo. La zona 2 tiene resistividades muy variables, promediando cerca de los 40 $\Omega\text{-m}$, y aparenta ser la de mayor potencial productor del pozo. La zona 3 cuenta con resistividades de alrededor de 20 $\Omega\text{-m}$ como promedio. La zona 4 tiene resistividades altas, promediando los 40 $\Omega\text{-m}$, aparentemente es buena.

POZO 1689.

En el año de 1961 se corrió el juego de registros LL, MLL y GR-Neutrón.

Un incremento en la resistividad en el registro de Lateroperfil, de 12 a 40 $\Omega\text{-m}$, marca el límite de la formación Atlanta a 4284'. Es de resaltar que entre los 3600' y 3700' ocurre un incremento de resistividades de hasta 40 $\Omega\text{-m}$, lo cual no es normal en la

formación Lutita Atlanta; esto es debido quizás a un desarrollo de areniscas.

Podemos entonces concluir de acuerdo a los registros, 3 zonas petrolíferas de interés. La zona 1 ocurre en Lutita Atlanta entre los 3608' y 3700' con un promedio de 30 Ω-m de resistividad. La zona 2, ya en Atlanta, entre 4284' y 4510' con resistividades muy variables entre 10 y 70 Ω-m. La zona 3 entre 4510' y 5000' con un promedio bajo de resistividad de 25 Ω-m.

POZO 1699.

En 1961 se corrió el juego de registros LL, MLL y GR. Una marcada alza de resistividad define el comienzo de la formación arenisca Atlanta a los 4925' de profundidad. Esta formación en este pozo ha sido dividida en 2 zonas:

Zona	Profundidad	Resist. (Ω-m)
1	4926' - 5180'	25
2	5180' - 5493'	20-40

POZO 1704.

En el año de 1961 se corrieron los registros LL, MLL y GR-Neutrón.

La arenisca Atlanta aparece a los 5177' con un pequeño aumento de resistividad de 20 $\Omega\text{-m}$, luego entre 25 y 40 $\Omega\text{-m}$. La arenisca Atlanta en este pozo ha sido dividida en 3 zonas:

Zona	Profundidad
1	5177'-5310'
2	5310'-5526'
3	5526'-5793'

La zona 1 presenta un promedio de resistividades de entre 50 y 60 $\Omega\text{-m}$. La resistividad mostrada en el MLL, es alta en general, indicando baja porosidad. La zona 2 es una zona con un promedio bajo de resistividad de 25 $\Omega\text{-m}$. La zona 3 es muy similar a la zona 1, con capas de arena de alta porosidad.

POZO 1784.

En el año de 1961 se corrió el juego de registros LL, MLL y GR-N.

En este pozo encontramos entre la formación Clay Pebble Beds, a la formación Santo Tomás que se distingue muy bien en el registro de Lateroperfil debido al incremento de resistividad de 5 a 25 $\Omega\text{-m}$. Así también en la formación Passage Beds encontramos un cuerpo arenoso desde 3225' hasta 3262' con niveles de

resistividad de 50 y 60 $\Omega\text{-m}$. El tope de Atlanta está pobemente marcado, comenzando con un pico de 20 $\Omega\text{-m}$, aumentando la resistividad conforme aumenta la profundidad, incrementándose hasta tener 110 $\Omega\text{-m}$ a los 4525'.

POZO 1792.

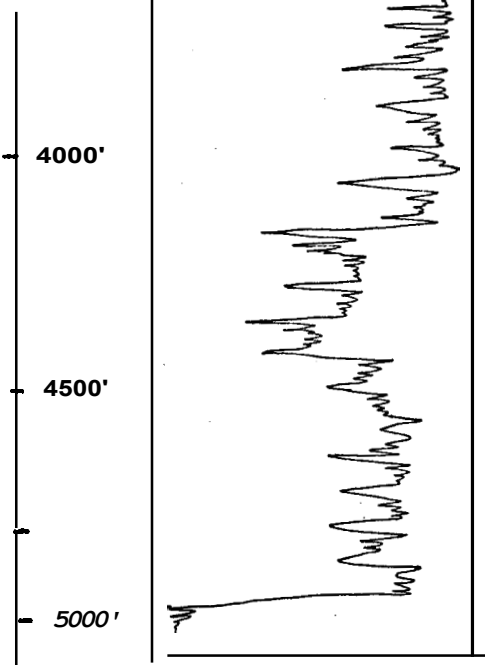
En el año de 1962 se corrieron los registros LL, MLL y Neutrón.

El tope de la arenisca Atlanta se encuentra a los 3470' de profundidad, por un aumento de resistividad que sigue hasta los 3900', a partir de la cual se reduce para marcar el límite de la formación arcillosa San José. Pero si analizamos detenidamente San José y Atlanta, vamos a determinar 3 zonas de interés. La zona A, seguida de la arenisca Atlanta, con un promedio de 14 a 16 $\Omega\text{-m}$ de resistividad. La zona B, que es pequeña pero presenta obvios quiebres de lutita. La zona C, que está marcada por un incremento en la resistividad, promediando de 20 a 25 $\Omega\text{-m}$. Con esta distribución de zonas, podemos hacer una correlación con otros pozos, tal como se detalla en la figura 18, de la siguiente manera:

POZO 1237

LATERO PERFIL

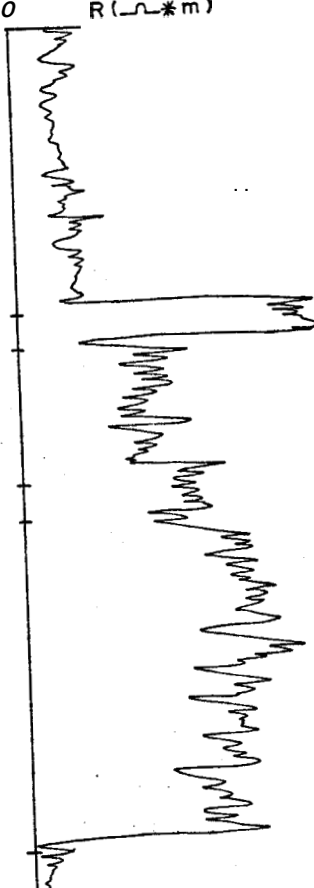
0 R (μm)



POZO 1241

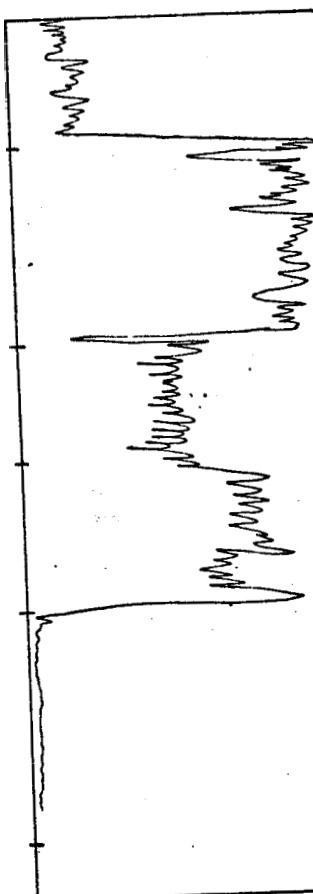
LATERO PERFIL

0 R (μm)



POZO 1792

LATERO PERFIL



POZO 1235
LATERO PERFIL

45

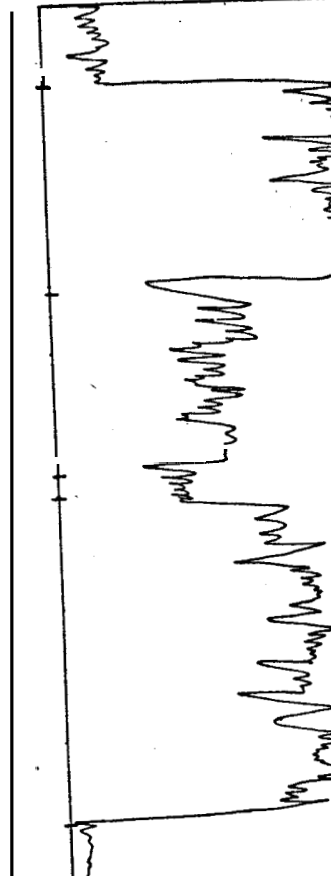


FIG. 18 CORRELACION ENTRE LOS POZOS 1237,

24, 1742, 1235



Pozo	1237	1241	1792	1235
Tope de Atlanta	3620'	3810'	3470'	3375'
Tope de San José	4200'	3884'	3900'	3810'
(A)	(187')	(302')	(250')	(400')
	4387'	4186'	4150'	4210'
(B)	(68')	(74')		(35')
	4455'	4260'		4245'
(C)	(530')	(714')		(720')
	4985'	4974'	4470'	4965'

Luego de este análisis por pozo de los perfiles en frente de la Fm. Atlanta, se escogió los pozos 1653, 1688, 1689 y 1704, los cuales cuentan con los registros de Rayos Gamma, Lateroperfil y Microlateroperfil, con el fin de identificar las formas típicas de estos registros en frente de esa formación.

En las figuras 19 y 20 notamos que las curvas del Lateroperfil y Microlateroperfil, son muy irregulares, es decir presentan muchos quiebres, la resistividad es muy variable; en el LL varía entre 7 y 100 $\Omega\text{-m}$ y en el MLL de 5 a 70 $\Omega\text{-m}$, lo que nos induce a pensar que la Fm. Atlanta es muy arcillosa, puesto que la presencia de arcilla disminuye la resistividad.

~~La figura 21 muestra los perfiles de Rayos Gamma, los cuales ratifican lo anteriormente expuesto, debido a que presentan valores altos de radioactividad en frente de la arenisca Atlanta, confirmándonos que se trata de una arenisca arcillosa.~~

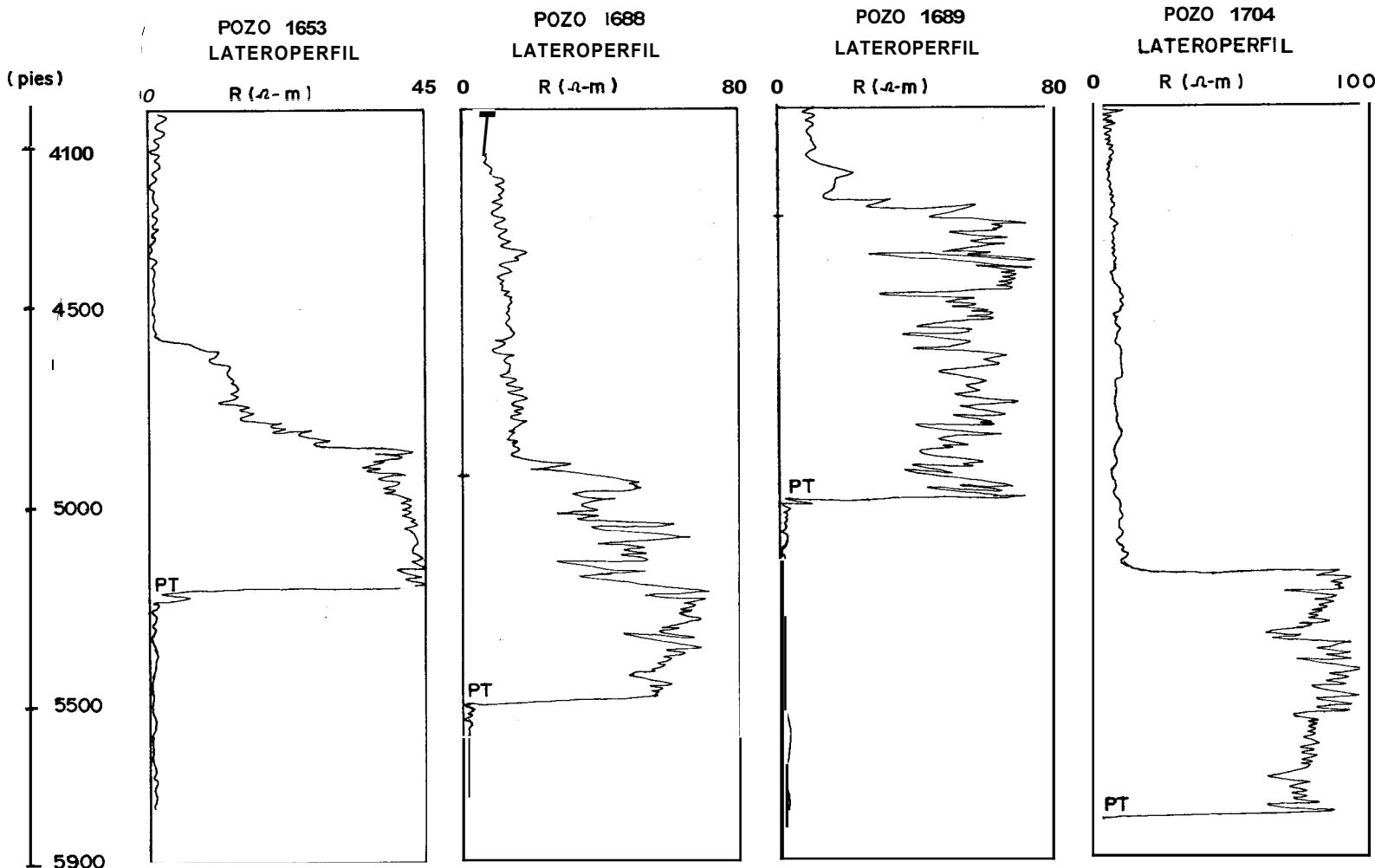


FIG. 19 FORMAS TIPICAS DEL LATEROPERFIL EN LA FORMACION ATLANTA EN LOS POZOS INDICADOS

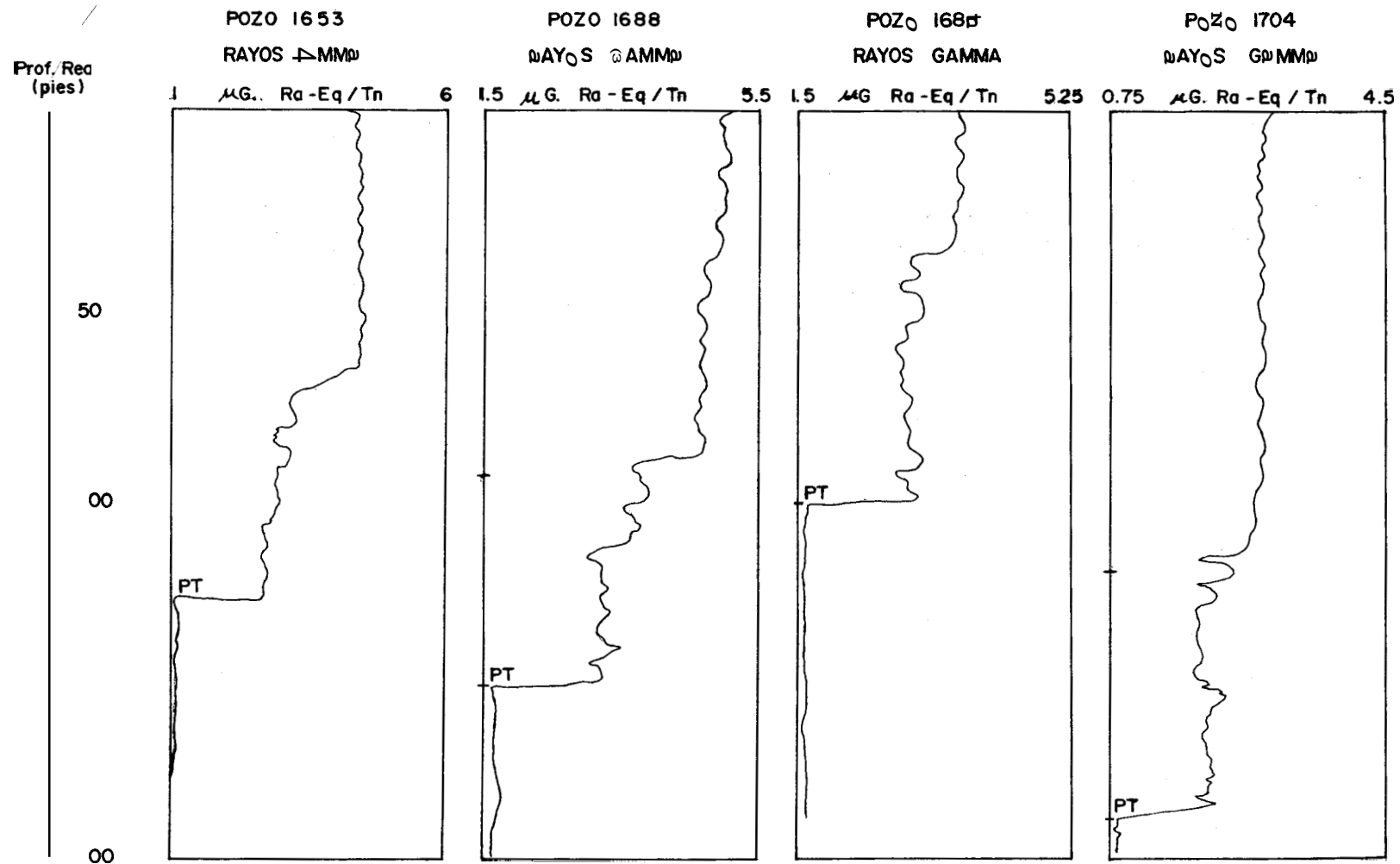


FIG. 21 FORMAS TÍPICAS DEL PERFIL DE RAYOS GAMMA EN LA FORMACIÓN ATLANTA EN LOS POZOS INDICADOS

En la figura 22 se muestra en conjunto los perfiles GR, LL y MLL del pozo 1653. Esta figura nos ayuda a visualizar mejor que las caídas de los valores de resistividad se producen en zonas de alta radioactividad.

En el Capítulo IV "Análisis Cuantitativo de los Perfiles", se utiliza también el Método de Arenas Arcillosas, para efectos de comparación de valores de saturación de la formación, considerándola limpia y con arcilla, según lo deducido en este capítulo.

Los pozos, cuyos registros se han estudiado, no son todos los que se tienen en el área de estudio, pero cada uno de ellos se encuentran bien distribuidos en el área de interés, constituyendo de esta manera una muestra representativa para análisis futuros.



BIBLIOTECA

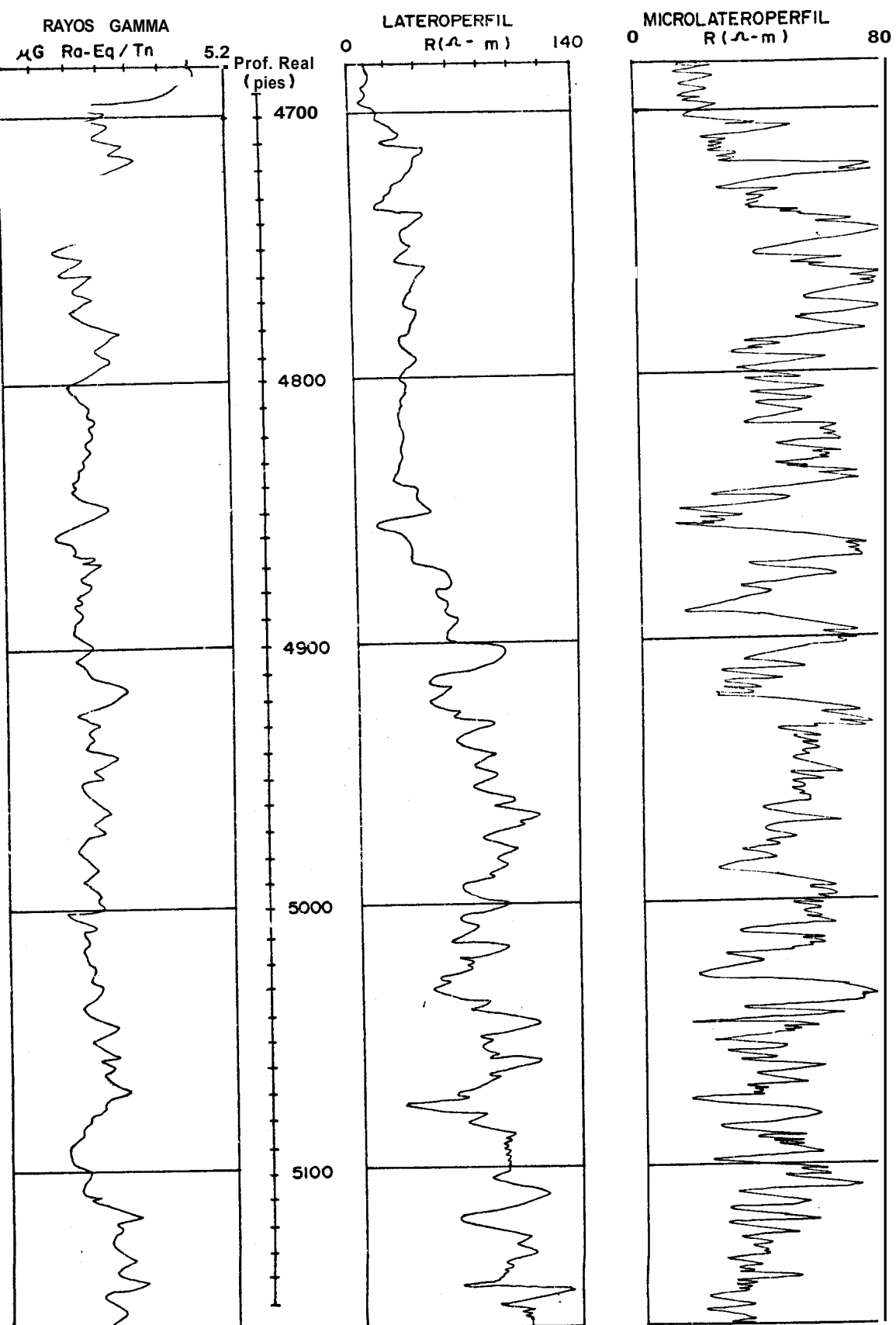


FIG.22 PERFILES DE RAYOS GAMMA, MICROLATEROPERFIL Y LATEROPERFIL EN EL POZO 1653

CAFITULO IV

ANALISIS CUANTITATIVO DE LOS PERFILES.

4. 1 PROPOSITO.

El propósito de este capítulo, es calcular en base a un programa de cómputo, los valores de saturación de agua, porosidad, índice de hidrocarburos e índice de petróleo móvil para cualquier intervalo. Además el programa proveerá un promedio de valores de porosidad, saturación de agua (método de Archie, 1942), y espesor neto de pago del intervalo total probado, dado por el usuario. Los factores de formación se computarán en base al tipo de litología seleccionada.

La evaluación de formaciones para la determinación del petróleo y gas comercial, requiere el conocimiento de la porosidad, espesor de la zona de pago, y la distribución de la saturación de fluidos.

En formaciones limpias, de alta porosidad y permeabilidad, los registros Sónico, Densidad y Neutrón dan valores suficientemente exactos de porosidad. Para

arcillosas presentado en este programa, està basado en las ecuaciones para arenas arcillosas presentado por Schlumberger en 1975. Se debe contar con valores de porosidad de registros, evaluados con datos del registro de Rayos Gamma y valores de resistividad de registros eléctricos, para utilizar este método de computaciòn.

En arenas arcillosas, el mètodo recomendado es el de Tres porosidades o el de Dos porosidades. Sin embargo muchas veces no se cuenta con toda esta informaciòn, tal es asi que en nuestro caso por ejemplo, solo contamos con el registro de Neutròn para calcular la porosidad, por lo se tendrà que adaptar el programa para este caso.

El mètodo està basado en las siguientes ecuaciones:

$F = 1.45/\emptyset$	1.54	Para arenas
$F = 1.65/\emptyset$	1.33	Para arenas arcillosas
$F = 1.45/\emptyset$	1.70	Para arenas calcáreas
$F = 0.85/\emptyset$	2.14	Para carbonatos
$S_{wa} = (FR_w/R_t)$.5	



$$Swr = \frac{R_{x0}/R_t}{R_{mf}/R_w}$$

0.25

Si $Swr > Swa$, entonces $Swr = Swa(Swa/Swr)$

$$\theta_s = \theta_e + q\theta_z + (\phi_p - 1)\theta_e S_{gxo}$$

$$\theta_d = \theta_e + 0.5\theta_e S_{gxo}$$

$$\theta_n = \theta_e + q\theta_z - 0.7\theta_e S_{gxo}$$

2.15

$$F_z = 0.62/\theta$$

$$Swth \circ Swtw =$$

$$\frac{\{(F_z R_w / R_t) + [q(R_c - R_w) / 2R_c]\}^2 - q(R_c + R_w) / 2R_c}{1 - q}$$

$$IGR = \frac{GR - GR_{min}}{GR_{max} - GR_{min}}$$

$$V_{sh} = 0.8336(2^{3.71GR} - 1)$$

$$\theta_{nc} = \theta_n - 0.667\theta_{clay} V_{sh}$$

$$\theta_{dc} = \theta_d - 0.2889\theta_{clay} V_{sh}$$

ϕ_{dc} = Porosidad corregida del registro de Densidad, fracción;

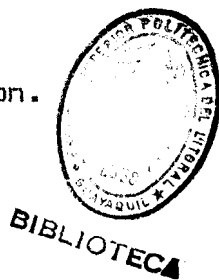
ϕ_{nd} = Porosidad promedio Neutrón/Densidad

S_{wsh} = Saturación de agua, Método de Areniscas arcillosas, fracción;

R_w = Resistividad del agua de formación;

R_t = Resistividad de formación;

ϕ_{clay} = Porosidad de lutita, fracción.



4.2 PROGRAMA COMPUTACIONAL. (10)

El programa está codificado en FORTRAN, y puede ser utilizado para analizar un número determinado de intervalos. El usuario tiene la opción de poder seleccionar 4 tipos diferentes de litología. La saturación, ya sea por el Método de Archie o por el Método de Relación es computado para cada intervalo. Sin embargo, otros métodos (tales como Arenas arcillosas, 2 Porosidades, 3 Porosidades) de computaciones de saturación de agua pueden ser de la opción del usuario. El usuario también puede escoger el tipo de combinación de registros eléctricos del cual él dispone, sea la combinación RIL, Inducción y Lateroperfil o DLM, Lateroperfil y Microenfocado. Otros valores como porosidad del registro de Densidad, fracción de lutita, se dan como parámetros de entrada para computar el espesor neto de pago, saturación de

agua y porosidad promedio.

4.3 LISTADO DEL PROGRAMA.

El listado del programa de computación aparece en el Anexo A.

4.3.1 Parámetros de Entrada.

```
X2(1) = Variable alfanumérica para identificación;  
INTN = Número de intervalos a ser analizados;  
ISHLY = Opción de análisis, Arenas arcilloosas: ISHLY = 1 indica que el análisis de Arenas arcilloosas es deseado;  
ITWFOR = Opción de análisis 2 Porosidades:  
ITWPOR = 0 indica que el análisis de 2 Porosidades no es deseado;  
ITHFOR = Opción de análisis 3 Porosidades:  
ITHPOR = 0 indica que el análisis de 3 Porosidades no es deseado;  
LTYF'E = Opción para el tipo de litología:  
LTYPE = 1 indica arena limpia, LTYPE = 2 indica arenas arcilloosas, LTYPE = 3 indica arenisca calcárea, LTYF'E = 4 indica carbonatos;
```

nida a partir de valores generales;

SHCO = Fracción promedio de arcilla de la zona;

OCT = Porosidad promedio de la zona, o parte del registro de Densidad;

RSH = Resistividad de lutita, si no es conocida, entrar 0. Se asume un valor igual a $10 \cdot R_w$;

ONCLAY = Porosidad de arcilla, si es desconocida entrar 0. En falta de este valor se un valor del 30%;

N1 = Número de subintervalos, en las zonas o intervalos escogidos;

T(j) = Tope del subintervalo, pies;

B(j) = Base del subintervalo, pies;

BR(j) = Lectura del registro de Rayos Gamma;

RILD(j) = Lectura del registro de Inducción profundo;

RILM(j) = Lectura del registro de Inducción medio;

RLLB(j) = Lectura del Lateroperfil B;

OD(j) = Porosidad del registro de Densidad;

ON(j) = Porosidad del Neutrón;

OS(j) = Porosidad del Sómico;

RLLD(j) = Lectura del Lateroperfil de profundidad;

RLLS(j) = Lectura del Lateroperfil superficial;



SFML(j) = Lectura del registro Microenfocado.

4.3.2 Parámetros de Salida.

TOP = Tope del subintervalo analizado, pies;

BOT = Base del subintervalo analizado, pies;

POR = Fracción de porosidad del registro de Densidad;

SWA = Saturación de agua por el Método de Archie, fracción;

SWR = Saturación de agua por el Método de relación, fracción;

MOI = Índice de petróleo móvil; menor que 0.7 indica que el petróleo es móvil;

SWS = Saturación de agua por el método de Areniscas arcillosas;

SW3 = Saturación de agua, método de 3 Porosidades;

SW2 = Saturación de agua, método de 2 Porosidades;

Q = Contenido de lutita, fracción;

CP = Factor de corrección de compactación;

RW = Resistividad del agua de formación;

SAL = Salinidad del agua de formación, ppm;

HYI = Índice de hidrocarburos, 1 ó 0, 1 indica presencia de hidrocarburos y 0 indica ausencia de hidrocarburos;

BVF = Fracción del volumen bruto de agua.

4.4 ANALISIS DE RESULTADOS.

En la sección anterior se nombraron los parámetros de salida y entrada del Programa de Cómputo; los cuales están dados de acuerdo a la características de cada pozo.

Así, de los parámetros de entrada X2(I) es la variable alfanumérica para identificar al pozo. INTN, número de intervalos, depende de la zona productiva del pozo. La variable ISHLY, siempre entrará con el valor de 1, es decir sólo se hará el análisis para arenas arcillosas. Así también para cada pozo ITWPOR entrará con valor 0, ITHPOR con valor 0, LTYPE con valor de 2, y TRL tan valor de 2 para indicar que se usará la combinación de registros Lateroperfil Doble y Microenfocado.

Los valores de las variables RMAXT, DMAXT, RMF, TRMF, SMT, GG, GRM, GRL, TZ, BZ, son obtenidos del encabezamiento y lecturas de los perfiles. Para RW se usará un valor constante para todos los pozos, igual a 0.26 Ω.m (valor recomendado por los profesionales del Campo Ancón), puesto que este valor fue obtenido a partir de muestras de agua de formación, la cual es

considerada casi constante en el área. El R_w irá acompañado de un valor de TRW de 75 F. Los valores de SLT y SP no serán necesarios, puesto que contamos ya con el valor de R_w .

Los valores de SWC , $SHCO$, OCT , serán valores promedio estimados de la zona (recomendados por los profesionales de Ancón).

Rsh será calculado internamente, siendo su valor igual a 10 veces el valor de R_w . $DNCLAY$ siempre entrará con el valor de 30%, Ni dependerá de cuantos niveles por subintervalo lea la variable $T(J)$, y $B(J)$ será la profundidad a la cual se tomó la lectura.

Puesto que ~~apenas~~ contamos con el registro de Neutrón para obtener la porosidad, usaremos estos valores en lugar de los valores de porosidad del registro de Densidad, que serían los ideales.

Los valores de $RLLD(J)$, serán los leídos del registro Lateroperfil. Los valores $RLLS(J)$ y $SFML(J)$ serán los mismos y se los leerá del registro Microlateroperfil. Supuestamente para $SFML(J)$ se deberían usar los valores del registro Microenfocado, pero a falta de estos, por ser un perfil de resistividad superficial, asumimos como valores de $SFML(J)$ los valores del Microlateroperfil.

Es de notar además que algunos datos de salida son los mismos datos entrada, tal es el caso de NIVEL, PROF, POR, SW3, SW2, RW y SAL, colocados en la tabla de resultados con el fin de facilitar su interpretación.

Cabe indicar, que no se puede obtener todos los parámetros de salida, debido a la falta de información; tal es así que por sólo contar con el registro de Neutrón, como indicador de porosidad, no podemos hacer los cálculos de Saturaciones por los Métodos de Dos y Tres Porosidades, ni por el Método de Arenas Arcillosas. Sin embargo para análisis de este último en la entrada de datos se escribirán dos columnas iguales de porosidades que hagan las veces de los registros de Densidad y Neutrón con el fin de obtener valores de Saturaciones aproximadas, por éste método. Tampoco podemos evaluar los valores de CP, factor de compactación, puesto que no contamos con el registro Sónico. El valor de Q nos da el contenido de arcilla en fracción promedio del perfil de Rayos Gamma.

Para otros valores como por ejemplo MOI, índice de petróleo móvil, se toma como referencia el valor de 0.7 para indicar que para valores menores o iguales a este, el petróleo es móvil. HYI representa el Índice de Hidrocarburos, con el valor de 1 se indica

presencia de hidrocarburos, y con el valor de 0 se indica ausencia. Y por ultimo el valor de BVI, representa la fraccion volumetrica de agua total en la roca.

Los valores promedios de porosidad, saturacion y espesor de pago, en su respectivo intervalo de los pozos 1237, 1653, 1688, 1689 y 1704, los cuales fueron analizados en el programa PER*, se encuentran en la Tabla IV.

Para determinar el espesor efectivo de pago, el programa realiza una sumatoria del espesor de cada nivel, que cumpla con las siguientes condiciones: OD ≥ OCT; VSH ≤ SHCO y SWA ≤ SWC. Estos mismos niveles escogidos, serviran para obtener los valores de Saturacion Promedio (Metodo de Archie) y Porosidad Promedio de la zona.

En la Tabla V se encuentran los valores promedios de saturacion de agua obtenidos por los Metodos de Archie y Arenas Arcillosas, de los pozos, computados. Los valores promedio de los cinco pozos son:

$$S_{wa} = 43.8\%$$

$$S_{ws} = 35.4\%$$

$$\text{Variación en \%} = \frac{43.8 - 35.4}{43.8} * 100\% = 19\%$$

* Nombre dado al Programa codificado en FORTRAN.

Es decir que al utilizar el método de Arenas arcillo-sas, la saturación de agua se reduce en un 19%, valor de consideración puesto si empleamos Sws en el cálculo de reservas en lugar de Swa, estas se incrementarían substancialmente.

La Tabla VI muestra los valores límites de Swa y Sws entre los cuales se ha permitido considerar a una zona con posibilidades de producir. Esta tabla nos indica la variedad de valores de saturación en diferentes zonas.

Los valores de entrada y salida empleados en el programa se encuentran en los anexos B y C respectivamente.



BIBLIOTECA

CONCLUSIONES.

1. No se pudo incluir en la Columna Estratigráfica la profundidad de las diferentes Formaciones, debido a la variedad de espesores y profundidad que presentan las mismas en los pozos, por lo que sólo se limitó a colocar el espesor máximo probado de cada Formación.
2. Los registros fueron tomados con varias clases de fluido de perforación en el pozo, como son: arcilloso-salado, base limo y emulsionado de aceite, los mismos que no contribuyeron mayormente a distorsionar los registros eléctricos.
3. No se corrió registro de Potencial Espontáneo en los pozos, debido a que la mayoría de los pozos fueron perforados con todo salado y por consiguiente la curva del SP no era aconsejable.
4. El comportamiento de los registros GR, MLL, ML y LL es muy similar en todos los pozos, es decir en todos se presentan las características típicas de atravesar formaciones de areniscas arcillosas; y además muy difíciles de poder diferenciar zonas y hacer correla-

ciones entre pozos; hecho que limitó este trabajo a simplemente a cierto sector que contaba con buena información de pozos cercanos, como es el caso del área Daciique.

5. Las correcciones en areniscas arcillosas, para los pozos, computados, todas tienden a reducir la saturación de agua hasta en un 30%, dependiendo de la cantidad de arcilla; con excepción de aquellos niveles en los que el porcentaje de arcilla (q) es menor al 10%, puesto que ahí la ecuación de saturación de agua corregida por arcilla, arroja valores mayores a los obtenidos con la ecuación de Archie.
6. La formación Atlanta en cuanto a su porosidad y saturación de fluidos es muy irregular. La porosidad es baja y varía entre 7 y 15%. La saturación de agua varía entre 30 y 50%.

indicar que una de las opciones del programa de cùmputo con que cuenta este trabajo, es la de usar el juego de registros mencionados.

5. Se recomienda de manera especial la toma de los registros de Densidad y Neutrón conjuntamente, puesto que ellos permitirían más adecuadamente calcular la porosidad en las formaciones.
6. Las relaciones de F y θ que se utilizan en el programa computacional, son aproximaciones dadas por el autor del programa, por lo cual sería recomendable que con información adicional, se establezca una relación de F y θ particular para nuestras formaciones en cuestión.
7. Se recomienda usar el Método de Arenas Arcillosas para cálculos futuros de saturación de agua, puesto que de los estudios geológicos considerados y de las formas y características típicas de los perfiles, se deduce que la formaciòn presenta un contenido de arcilla substancial.



TABLAS

BIBLIOTECA



BIBLIOTECA

TABLA I FORMACIONES QUE ATRAVIEZAN LOS POZOS

POZO 23

0-610' Seca/Socorro
610-1390' C.P.B.
1390-1710' Atlanta

POZO 25

0-622' Seca/Socorro
622-1286' C.P.B.
1286-1870' Atlanta

POZO 74

0-1070' Seca/Socorro
1070-1560' C.P.B.
1560-3000' Atlanta

POZO 154

0-1250' Seca/Socorro
1250-1650' C.P.B.
1650-4225' Atlanta

FQZO 317

0-80' Tablazo
80-1010' Socorro
1010-1810' C.P.B.
1810-3525' Lutita Atlanta

POZO 422

0-1190' Tab/Soc
1190-2200' C.P.B.
2200-2460' Lut.Atlanta
2460-3627' Are.Atlanta

POZO 435

0-770' Socorro
770-1925' C.P.B.
1925-3875' Atlanta

POZO 424

0-60' Tablazo
60-800' Socorro
800-1535' C.P.B.
1535-2910' Lut.Atlanta
2910-3765' Are.Atlanta

POZO 426

0-900' Socorro
900-1588' C.P.B.
1588-3120' Lut.Atlanta
3120-3857' Are.Atlanta

POZO 430

0-900' Socorro
900-2100' C.P.B.
2100-3170' Lut.Atlanta
3170-4930' Are.Atlanta

POZO 432

0-270' Socorro
270-1398' C.P.B.
1398-3991' Atlanta

POZO 434

0-790' Socorro
790-1900' C.P.B.
1900-3055' Lut.Atlanta
3055-3900' Are.Atlanta

POZO 656

0-720' Socorro
720-? C.P.B.
?-? Atlanta



Continuación TABLA I

POZO 792

0-80' Tablazo
80-260' Seca
260-1070' Socorro
1070-1700' C.P.B.
1700-2430' Lut.Atlanta
2430-9110' Are.Atlanta

POZO 795

? -2200' C.P.B.
2200-2440' Lut.Atlanta
2440-4000' Are.Atlanta

POZO 797

0-240' Seca
240-1250' Socorro
1250-1590' C.P.B.
1590-2060' Lut.Atlanta
2060-5000' Are.Atlanta

POZO 799

? -2470' C.P.B.
2470-2840' Lut.Atlanta
2840-2935' Are.Atlanta

POZO 1200

0-60' Tablazo
60-210' Seca
210-1003' Soc. Superior
1003-1048' Seca Falsa
1048-1370' Soc. Inferior
1370-1744' C.P.B.
1744-1990' Lut.Atlanta
1990-4956' Are.Atlanta

POZO 1202

0-948' Socorro
948-1600' C.P.B.
1600-1790' Lut.Atlanta
1790-3900' Are.Atlanta

POZO 1205

? - ?
1687-2460' Lut.Atlanta
2460-4505' Are.Atlanta

POZO 1206

BIBLIOTECA

0-1895' C.P.B.
1895-2080' Lut.Atlanta
2080-4797' Are.Atlanta

POZO 1207

0-1285' C.P.B.
1285-1655' Lut.Atlanta
1655-4348' Are.Atlanta

POZO 1209

0-791' Socorro
791-1327' C.P.B.
1327-2050' Lut.Atlanta
2050-3980' Are.Atlanta

POZO 1218

0-735' Socorro
735-2115' C.P.B.
2115-2675' Lut.Atlanta
2675-3534' Are.Atlanta

POZO 1221

0-805' Socorro
805-1810' C.P.B.
1810-3010' Lut.Atlanta
3010-3800' Are.Atlanta

POZO 1226

0-560' Socorro
560-1290' C.P.B.
1290-1780' Lut.Atlanta
1780-4500' Are.Atlanta

POZO 1227

0-1480' C.P.B.
1480-2160' Lut.Atlanta
2160-4500' Are.Atlanta

POZO 1228

0-340' Socorro
340-1480' C.P.B.
1480-1908' Lut.Atlanta
1908-4502' Are.Atlanta

Continuación TABLA I

POZO 1230

0-100' Socorro
 100-1821' C.P.B.
 1821-1940' Lut. Atlanta
 1940-4488' Are. Atlanta

POZO 1231

0-1425' C.P.B.
 1425-2155' Lut. Atlanta
 2155-3990' Are. Atlanta

POZO 1235

0-100' Seca
 100-1500' Socorro
 1500-2800' C.P.B.
 2800-3377' Lut. Atlanta
 3377-4965' Are. Atlanta

POZO 1237

0-100' Seca
 100-475' Soc. Superior
 475-580' Seca Falsa
 580-1505' Soc. Inferior
 1505-2985' C.P.B.
 2985-3620' Lut. Atlanta
 3620-4985' Are. Atlanta

POZO 1243

0-115' Seca
 115-535' Soc. Superior
 535-640' Seca Falsa
 640-1480' Soc. Inferior
 1480-3040' C.P.B.
 3040-3812' Lut. Atlanta
 3812-4974' Are. Atlanta

POZO 1244

0-1080' C.P.B.
 1080-3280' Lut. Atlanta
 3280-4983' Are. Atlanta

POZO 1246

0-155' Seca
 155-580' Soc. Superior
 580-680' Seca Falsa
 680-1345' Soc. Inferior
 1345-3070' C.P.B.
 3070-3680' Lut. Atlanta
 3680-5038' Are. Atlanta

POZO 1248

0-255' Soc. Superior
 255-340' Seca Falsa
 340-645' Soc. Inferior
 645-1645' C.P.B.
 1645-3070' Lut. Atlanta
 3070-7033' Are. Atlanta

POZO 1251

0-575' Seca
 575-1455' Socorro
 1455-1950' C.P.B.
 1950-2560' Lut. Atlanta
 2560-4650' C.P.B.
 4650-5010' Lut. Atlanta
 5010-6005' Are. Atlanta

POZO 1294

0-430' Soc. Superior
 430-555' Seca Falsa
 555-1355' Soc. Inferior
 1355-2680' C.P.B.
 2680-4315' Lut. Atlanta
 4315-5500' Are. Atlanta

POZO 1639

0-440' ?
 440-565' Soc. Superior
 565-670' Seca Falsa
 670-1790' Soc. Inferior
 1790-3220' C.P.B.
 3220-4360' Lut. Atlanta
 4360-4974' Are. Atlanta

Cantinuaci n TABLA I

POZO 1643

0-435'	Soc. Superior
435-610'	Seca Falsa
610-1185'	Soc. Inferior
1185-2720'	C.P.B.
2720-3560'	Lut. Atlanta
3560-4446'	Are. Atlanta

POZO 1644

0-430'	Soc. Superior
430-565'	Seca Falsa
565-1435'	Soc. Inferior
1435-3030'	C.P.B.
3030-4070'	Lut. Atlanta
4070-4457'	Are. Atlanta

POZO 1650

0-600'	?
600-1255'	Soc. Inferior
1255-1940'	C.P.B.
1940-4995'	Lut. Atlanta
4995-5491'	Are. Atlanta

POZO 1651

0-480'	?
480-1065'	Soc. Inferior
1065-2200'	C.P.B.
2200-3990'	Lut. Atlanta
3990-4694'	Are. Atlanta

POZO 1652

0-465'	?
465-1590'	Soc. Inferior
1590-3580'	C.P.B.
3580-4545'	Lut. Atlanta
4545-5000'	Are. Atlanta

POZO 1653

0-450'	?
450-1620'	Soc. Inferior
1620-2390'	C.P.B.
2390-4700'	Lut. Atlanta
4700-5224'	Are. Atlanta

POZO 1688

0-462'	Soc. Superior
462-1670'	Seca Falsa
1670-1750'	Soc. Inferior
1750-3650'	C.P.B.
3650-4935'	Lut. Atlanta
4935-5460'	Are. Atlanta

POZO 1689

0-464'	Soc. Superior
464-590'	Seca Falsa
590-1095'	Soc. Inferior
1095-1990'	C.P.B.
1990-4284'	Lut. Atlanta
4284-5000'	Are. Atlanta

POZO 1699

0-468'	Seca
468-585'	Soc. Superior
585-710'	Seca Falsa
710-1750'	Soc. Inferior
1750-2040'	C.P.B.
2040-4935'	Lut. Atlanta
4935-5493'	Are. Atlanta

POZO 1704

0-455'	Seca Falsa
455-1510'	Soc. Inferior
1510-2203'	C.P.B.
2203-5177'	Lut. Atlanta
5177-5793'	Are. Atlanta

POZO 1784

0-468'	Tablazo
468-845'	Soc. Inferior
845-1508'	C.P.B.
1508-1723'	Sto Tom�s
1723-2030'	C.P.B.
2030-3658'	Lut. Atlanta
3658-4960'	Are. Atlanta

POZO c-34

0-85'	Socorro
85-1710'	C.P.B.
1710-2770'	Lut. Atlanta
2770-4530'	Are. Atlanta

TABLA II PERFILES DISPONIBLES.

AREA	OLIS.	POZO	PERFILES DISPONIBLES						
			ES	ML	MLL	LL	GR	NL	SL
C O N C E P C I O N	X	23					x		
	X	25					x		
	X	74					x		
	X	432	x						
	X	435	x						
	X	1205	x	x					
	X	1227	x						
	X	1228	x						
	X	1210	x						
	Y-1	709	x						
Y	Y-1	1230	x		x	x	x	x	
	Y	704	x						
	Y	771	x						
	Y	774	x						
	Y	776	x						

Continuaci n TABLA II

AREA	DLIS.	POZO	PERFILES DISPONIBLES						
			ES	ML	MLL	LL	GR	NL	SL
	Y	1206	x						
	Y	1207	x						
C	Y	1212	x						
D	Y	1213	x						
N	Y	1226	x						
C	Y	1231	x						
E	Y	DD2	x						
F	Z	654	x						
C	Z	779	x						
I	Z	795	x						
D	Z	799	x						
N	Z	1202	x						
	Z	1209	x						
	Z	1214	x						
	Z	1218	x						

Continuación TABLA II

AREA	OLIS.	POZO	PERFILES DISPONIBLES						
			ES	ML	MLL	LL	GR	NL	SL
C	Z	1221	x						
O	Z	1244	x			x	x		
N	Z	C-19	x						
C	Z	C-20	x						
E	Z	C-22	x						
P	Z	G-24	x						
C	Z	C-27	x						
I	Z	C-30	x	x					
DASH	DASH	DASH	DASH	DASH	DASH	DASH	DASH	DASH	DASH
O	Z	C-32	x	x					
N	Z	C-33	x				x		
	Z	C-34			x	x		x	
ANCON	W	797	x						
S	S-4	1246		x	x	x			
E	S-4	DD-3		x	x	x	x	x	
C									
A	F-3	1251	x		x				

Continuación TABLA II

AREA	DLIS.	POZO	PERFILES DISPONIBLES							
			ES	ML	MLL	LL	GR	NL	SL	
S	F-3	1650			X	X				
E	S	154	X					X		
C	S	784	X							
	F-4	1639	X	X		X	X			
	F-4	1652			X	X	X			
	F-4	1653			X	X	X	X		
C	F-4	1658			X	X	X	X		
A	F-4	1699			X	X	X			
C	F-4	1704			X	X	X	X		
I	F-6	1651			X	X	X			
Q	F-6	1689			X	X	X	X		
U	F-7	1294	X		X	X	X			
E	F-7	1927			X	X	X	X	X	
	S-1	1235			X	X	X	X		
	S-1	1241	X		X	X	X			

Continuación TABLA II

AREA	OLIS.	POZO	ES	ML	MLL	LL	GR	NL	SL
C	S-1	1643				X			
A	S-1	1792			X	X	X	X	
D	S-1	1644			X	X	X		
I	S-2	1237			X	X	X		
B	S-2	1935			X	X	X	X	X
E	S-3	1946			X	X	X		
J	J	422					X		
C	J	501					X		
E	J	792	X						
N	K	317	X						
T	K	430	X						
R	U	424						X	
A	U	426	X					X	
L	U	434	X						
U	U	438	X						

Continuación TABLA II

AREA	OLIS.	POZO	PERFILES DISPONIBLES						
			ES	ML	MLL	LL	GR	NL	SL
	U	467	x						
C	U	504	x						
E	U	556	x						
N	U	656	x						
T	U	667	x						
R	U	778	x						
A	U-1	1248	x		x	x	x		
L	N-1	1200	x						
	N-1	1784		x	x	x	x		
	N-1	1885		x	x	x	x		x

TABLA III DATOS DBTENIDDS DEL ENCAEEZAHIENTO DE LOS PERFILES DE PDZOS

ANALIZADDS EN EL AREA DE ESTUDIO

POZOS #	FECHA MM/AA	CASING SUP. TAM.-PROF.	TIPO DE LDDD	DENS-VISC	RD a MEAS T.	R a	BHT.	T BROCA	PROFUNDI.	
1235	4/56	-404'	SALADD	83-49	0.25/76	F	0.18/110	F	9 7/8''	4968'
1237	11/56	-398'	SALADO	84-47	0.34/76	F	0.28/107	F	7 7/8''	4115'
1246	11/57	-495'	BASE LIHD	78-57	0.25/88	F	/108	F	8 1/8''	5036'
1251	5/88	-801'	BASE LIHD	85-69	0.22180	F	0.551120	F	9 1/8''	6007'
1294	6/60	-429'	BASE LIMO	78-55	0.10/80	F	0.07/110	F	7 5/8''	5010'
1639	9/60	9 5/8-442'	BASE ARG1.	77-42	4.7182	F	3.4/117	F	7 5/8''	4983'
1644	10/60	B 5/8-427'	BASE ARCI.	81-43	1.8/80	F	1.2/117	F	7 7/8''	4457'
1650	11/60	8 5/8-459'	SALADO	79-42	0.35/80	F	0.251116	F	7 7/8''	4496'
1651	12/60	B 5/8-462'	SALADD	78-47	1.0178	F	0.741108	F	7 7/8''	4694'
1652	1/61	B 5/8-462'	BASE ARCI.	81-41	1.5/80	F	1.2/107	F	7 7/8''	5000'
1653	3/61	B 5/8-460'	SALADO	77-42	0.23/87	F	0.171117	F	7 7/8''	5224'
1688	7/61	B 5/8-462'	SALADO	86-115	0.26/80	F	0.18/114	F	7 7/8''	5483'
1689	7/61	B 5/8-464'	SALADD	77-72	0.27172	F	0.18/111	F	7 7/8''	5000'
1699	Blbl	B 5/8-640'	SALADD	73-45	0.22/78	F	2.15/118	F	7 7/8''	5493'
1704	9/61	B 5/8-464'	SALADD	77-50	0.16/76	F	0.11/115	F	7 7/8''	5793'
1784	3/62	B 518-463'	BASE DIL	77-46	0.16/78	F	0.11/106	F	7 7/8''	4960'
1792	11/62	B 5/8-465'	EASE ARCI.	10-46	0.41/75	F	0.29/108	F	7 7/8''	3400'

TABLA IV. Valores promedio de Porosidad, Saturación de Agua y Espesor de Pago de los pozos computados.

POZO	INTERVALO	\emptyset	S_w	Esp. de Pago
1237	3624-3912°	0.18	0.34	104°
	3916-4117°	0.11	0.37	200°
1653	4700-4856°	0.18	0.36	76°
	4860-5056°	0.13	0.24	220°
1688	4938-5050°	0.14	0.46	44°
	5054-5286°	0.10	0.43	116°
	5290-5370°	0.13	0.44	28°
	5370-5470°	0.08	0.47	32°
1689	3610-3698°	0.15	0.42	44°
	4288-4516°	0.11	0.45	136
	4517-4700°	0.14	0.45	28°
1704	5174-5310°	0.07	0.51	132°
	5310-5526°	0.13	0.43	100°
	5526-5710°	0.10	0.37	48°

TABLA VI. Valores límites de Swa y Sws entre los cuales se ha permitido considerar a una zona con posibilidades de producir.

POZO	INTERVALO	Swa		Sws	
		Val. Max.	Val. Min.	Val. Max.	Val. Max.
1237	3624-3912°	0.56	0.27	0.64	0.13
	3916-4117°	0.48	0.26	0.54	0.19
1653	4700-4856°	0.52	0.22	0.69	0.18
	4860-5056°	0.48	0.19	0.51	0.05
1688	4938-5050°	0.57	0.35	0.55	0.19
	5054-5286°	0.56	0.30	0.67	0.14
1689	5290-5370°	0.57	0.33	0.53	0.18
	5370-5470°	0.55	0.40	0.58	0.14
1689	3610-3698°	0.58	0.32	0.76	0.29
	4288-4516°	0.55	0.22	0.71	0.14
1704	4517-4700°	0.56	0.21	0.58	0.08
	5174-5310°	0.57	0.26	0.55	0.15
1704	5310-5526°	0.56	0.22	0.61	0.14
	5526-5710°	0.57	0.22	0.57	0.09
*					



BIBLIOTECA

ANEXOS

ANEXO A



LISTADO DEL PROGRAMA

```

* OD(J),DN(J),DS(J)
108  FORMAT(F3.0,F9.0,F5.0,3F5.1,3F5.3)
      D1=(B(J)-T(J))*5+T(J)
      T1=D1*66+SMT
      RMF1=RMF*(TRMF+7)/(T1+7)
      IF(RM.GT.0.)GO TO 1002
      IF(SLT.GT.0.)GO TO 1003
      XK=60.+133*T1
      RMFRME=10.**(-SP/XK)
      IF(RMF75.GT.0.1)RMF1=.85*RMF1
      IF(RMF75.LE.0.1)RMF1=(146.*RMF1-5.)/(337.*RMF+77.)
      RME=RMF1/RMFRME
      IF(RME.LT.0.12)RME75=(77.*RME+5.)/(146.-337.*RME)
      IF(RME.GE.0.12)RME75=-(0.58-10.**(-0.69*RME-0.24))
      GO TD 1002
1003  CONTINUE
      RM75=10.**(3.562-.955*ALD610(SLT))+.0123
1002  CONTINUE
      RW=RW75*82./(T1+7.)
      IF(SLT.EQ.0.)SLT=10.**((3.562-ALD610(RW75-0.0123))/.955)
      IF(TRL.EQ.2)GO TO 1004
      IF((RLLB(J)/RILD(J)).LT.2.5)GO TO 1005
      IF((RILM(J)/RILD(J)).LT.1.)GO TO 1005
      RTRILD(J)=1.-(1.(RILM(J)/RILD(J)-1.)*2)*(1.4*RLLB(J)/RILD(J)
      1)*(RLLB(J)/RILD(J)+3))-1.)/(RLLB(J)/RILD(J)-1.)/t2
      RT(J)=RILD(J)*RTRILD(J)
      IF((RT(J)/RILD(J)).LT.4)GO TO 1005
      GO TO 1006
1005  CONTINUE
      RT(J)=RILD(J)
      GO TO 1006
1004  CONTINUE
      RT(J)=(RLLD(J)-.29*SFLM(J))/0.71*(RLLD(J)/RLLS(J))**.1
      IF(RLLD(J).LT.RLLS(J))GO TD 1007
      IF(RLLD(J).LT.SFLM(J))GO TD 1007
      GO TO 1006
1007  RT(J)=RLLD(J)
1006  CONTINUE
      IF(RSH.EQ.0.)RSH=10.*RW
      IF(DNCLAY.EQ.0.)DNCLAY=0.3
      SWSCH=0.
      SWTH=0.
      SWTM=0.
      IF(LTYPE.EQ.1)F=1.45/(DD(J)**1.54)
      IF(LTYPE.EQ.2)F=1.65/(DD(J)**1.33)
      IF(LTYPE.EQ.3)F=1.45/(DD(J)**1.70)
      IF(LTYPE.EQ.4)F=0.85/(DD(J)**2.14)
      SWA(J)=SQRT(F*RW/RT(J))
      IF(TRL.EQ.1)SWR=((RLLB(J)/RT(J))/(RMF1/RW))**.625
      IF(TRL.EQ.2)SWR=((SFLM(J)/RT(J))/(RMF1/RW))**.625
      IF(SWR.GT.11*SWA(J))SWR=SWA(J)*((SWA(J)/SWR)**10.25
      RWA=RT(J)/F
      IF(RWA.GT.(3.*RW))HYI(J)=1.
      IF(RWA.LE.(3.*RW))HYI(J)=0.
      IF(TRL.EQ.1)SWSD=SQRT((RUE(J)/RILD(J))/(RMF1/RW))

```

```

1111 CONTINUE
2000 CONTINUE
    BVF=OD(J)*SWA(J)
    WRITE(6,110)T(J),B(J),OD(J),SWA(J),SWR,SWSX0,SWSCH,SWTH,SWTW,
* VSH(J),CP,RW,SLT,HYI(J),BVF
    XNET= 4.
    IF (OD(J).LT. OCT)XNET=0.
    IF (SWA(J).GT.SWC)XNET=0.
    IF(VSH(J).GT.SHCD)XNET=0.
    SXNET=SXNET+XNET
    SPOR=SPOR+OD(J)*XNET
    SSWA=SSWA+SWA(J)*XNET
110  FFORMAT(/,2FB.0,7F6.2,F5.2,F6.2,F5.2,F9.0,F6.2,F6.3)
1001 CONTINUE
    IF (SXNET.GT.0.0)WAVPOR=SPOR/SXNET
    IF (SXNET.LE.0.0)WAVPOR=0.
    IF (SXNET.GT.0.0)WASAT=SSWA/SXNET
    IF (SXNET.LE.0.0)WASAT=0.
    WRITE(6,150)SXNET
150  FORMAT(/,3X,'ESPESOR NETO DE PAGO',F13.1,1X,'PIES')
    WRITE(6,151)WAVPOR
151  FORMAT(/,3X,'POROSIDAD PROMEDIO',F15.2,1X,'FRACCION')
    WRITE(6,152)WASAT
152  FORMAT(/,3X,'SATURACION DE AGUA PROMEDIO',FB.2,1X,'FRACCION')
1000 CONTINUE
    WRITE(6,120)
    WRITE(6,121)
    WRITE(6,122)
    WRITE(6,123)
120  FORMAT(///,4X,'HYI = INDICE DE HIDROCARBUROS, 0=NO INDICACION.'
* , 1=INDICACION DE HIDROCARBUROS PRESENTES')
121  FORMAT(/,3X,'MOI = INDICE DE PETROLEO MOVIBLE, MENOR O IGUAL',
* ' A 0.7 HIDROCARBUROS SON FLUIBLES, CASI PRODUCIBLES')
122  FORMAT(/,3X,'SLT = SALINIDAD EN PPM')
123  FORMAT(/,3X,'BVI = FRICCION DEL VOLUMEN BRUTO DE AGUA')
    STOP
    END

```

ANEXO B



DATOS DE ENTRADA AL PROGRAMA PERF

ANALISIS DEL POZO 1237 FORMACION ATLANTA

	2	1	1	0	2	2					
115.	4968.			.26	76.	75.	0.00	82.	30.		
	3624.	3912.		.30	200.	75.	0..48.	50.15	0.0.30	73	
1.	3624.	46.	28.5	20.0	20.0	.090	.090				
2.	3628.	49.	25.5	25.0	25.0	.130	.130				
3.	3632.	49.	27.3	15.0	15.0	.140	.140				
4.	3636.	41.	34.0	33.0	33.0	.090	.090				
5.	3640.	49.	35.0	03.0	03.0	.150	.150				
6.	3644.	39.	40.0	34.0	34.0	.080	.080				
7.	3648.	53.	12.5	10.0	10.0	.140	.140				
8.	3652.	54.	23.0	20.0	20.0	.120	.120				
9.	3656.	51.	23.0	15.0	15.0	.160	.160				
10.	3660.	60.	19.0	13.0	13.0	.140	.140				
11.	3664.	51.	19.0	12.0	12.0	.150	.150				
12.	3668.	52.	17.0	15.0	15.0	.160	.160				
13.	3672.	51.	19.5	13.0	13.0	.140	.140				
14.	3676.	44"	20.5	14.0	14.0	.140	.140				
15.	3680.	43.	21.5	15.0	15.0	.140	.140				
16.	3684.	43.	23.0	15.0	15.0	.110	.110				
17.	3688.	42.	23.8	18.0	18.0	.130	.130				
18.	3692.	41.	26.0	20.0	20.0	.150	.150				
19.	3696.	43.	25.0	20.0	20.0	.140	.140				
20.	3700.	43.	23.0	17.0	17.0	.160	.160				
21.	3704.	48.	25.0	20.0	20.0	.110	.110				
22.	3708.	59.	18.0	03.0	03.0	.270	.270				
23.	3712.	62.	15.0	05.0	05.0	.140	.140				
24.	3716.	51.	26.0	22.0	22.0	.100	.100				
25.	3720.	46.	24.5	24.0	24.0	.180	.180				
26.	3724.	45.	25.0	22.0	22.0	.140	.140				
27.	3728.	53.	20.0	04.0	04.0	.220	.220				
28.	3732.	51.	24.5	15.0	15.0	.110	.110				
29.	3736.	45.	26.5	16.0	16.0	.140	.140				
30.	3740.	52.	30.0	22.0	22.0	.140	.140				
31.	3744.	58.	35.0	07.0	07.0	.140	.140				
32.	3748.	60.	33.0	25.0	25.0	.160	.160				
33.	3752.	56.	35.0	25.0	25.0	.150	.150				
34.	3756.	54.	36.0	11.0	11.0	.150	.150				
35.	3760.	51.	36.0	12.0	12.0	.160	.160				
36.	3764.	56.	36.0	16.0	16.0	.140	.140				
37.	3768.	50.	39.0	17.0	17.0	.130	.130				
38.	3772.	52.	34.0	07.0	07.0	.140	.140				
39.	3776.	54.	32.5	10.0	10.0	.160	.160				
40.	3780.	49.	37.0	11.0	11.0	.130	.130				
41.	3784.	49.	36.5	12.0	12.0	.140	.140				
42.	3788.	46.	36.0	20.0	20.0	.150	.150				
43.	3792.	46.	37.0	04.0	04.0	.160	.160				
44.	3796.	59.	40.0	16.0	16.0	.150	.150				
45.	3800.	46.	40.0	27.0	27.0	.150	.150				
46.	3804.	45.	43.0	36.0	36.0	.120	.120				
47.	3808.	45.	45.0	35.0	35.0	.120	.120				
48.	3812.	46.	50.0	40.0	40.0	.120	.120				
49.	3816.	48.	52.0	40.0	40.0	.160	.160				
50.	3820.	51.	25.5	10.0	10.0	.150	.150				
51.	3824.	51.	35.0	17.0	17.0	.130	.130				

52.	3828.	54.	40.0	45.0	45.0	.120	.120
53.	3832.	50.	40.0	27.0	27.0	.120	.120
54.	3836.	43.	45.0	43.0	43.0	.110	.110
55.	3840.	42.	43.0	35.0	35.0	.110	.110
56.	3844.	41.	44.0	20.0	20.0	.140	.140
57.	3848.	46.	41.0	07.0	07.0	.130	.130
58.	3852.	50.	38.0	12.0	12.0	.130	.130
59.	3856.	50.	31.0	09.0	09.0	.190	.190
60.	3860.	50.	40.0	25.0	25.0	.140	.140
61.	3864.	47.	50.0	32.0	32.0	.140	.140
62.	3868.	58.	42.0	24.0	24.0	.190	.190
63.	3872.	63.	30.0	06.0	06.0	.210	.210
64.	3876.	70.	20.5	15.0	15.0	.220	.220
65.	3880.	69.	20.0	06.0	06.0	.300	.300
66.	3884.	53.	20.0	32.0	32.0	.140	.140
67.	3888.	45.	32.0	30.0	30.0	.130	.130
68.	3892.	45.	32.0	26.0	26.0	.130	.130
69.	3896.	46.	32.3	22.0	22.0	.160	.160
70.	3900.	54.	22.0	10.0	10.0	.160	.160
71.	3904.	47.	15.5	20.0	20.0	.210	.210
72.	3908.	44.	22.5	15.0	15.0	.140	.140
73.	3912.	44.	29.3	40.0	40.0	.130	.130
	3916.	4112.	.26	110.	75.	0..66.5	.06
1.	3916.	44.	30.0	21.0	21.0	.140	.140
2.	3920.	45.	24.0	25.0	25.0	.150	.150
3.	3924.	50.	24.7	21.0	21.0	.130	.130
4.	3928.	46.	23.0	18.0	18.0	.120	.120
5.	3932.	46.	27.0	10.0	10.0	.140	.140
6.	3936.	46.	26.0	20.0	20.0	.130	.130
7.	3940.	36.	34.0	26.0	26.0	.120	.120
8.	3944.	38.	40.0	30.0	30.0	.100	.100
9.	3948.	39.	43.0	20.0	20.0	.110	.110
10.	3952.	41.	40.0	15.0	15.0	.130	.130
11.	3956.	50.	22.0	32.0	32.0	.180	.180
12.	3960.	42.	50.0	40.0	40.0	.100	.100
13.	3964.	47.	42.0	10.0	10.0	.120	.120
14.	3968.	43.	39.5	32.0	32.0	.120	.120
15.	3972.	46.	47.0	10.0	10.0	.140	.140
16.	3976.	44.	60.0	23.0	23.0	.120	.120
17.	3980.	44.	50.0	10.0	10.0	.130	.130
18.	3984.	54.	38.0	30.0	30.0	.130	.130
19.	3988.	41.	52.0	33.0	33.0	.100	.100
20.	3992.	39.	45.0	30.0	30.0	.110	.110
21.	3996.	45.	40.0	35.0	35.0	.100	.100
22.	4000.	40.	40.0	40.0	40.0	.090	.090
23.	4004.	42.	39.0	20.0	20.0	.090	.090
24.	4008.	45.	42.0	21.0	21.0	.110	.110
25.	4012.	42.	40.0	10.0	10.0	.110	.110
26.	4016.	46.	39.0	20.0	20.0	.110	.110
27.	4020.	50.	41.0	13.0	13.0	.160	.160
28.	4024.	53.	30.0	05.0	05.0	.130	.130
29.	4028.	43.	50.0	36.0	36.0	.090	.090
30.	4032.	45.	40.0	15.0	15.0	.110	.110
31.	4036.	46.	50.0	55.0	55.0	.090	.090
32.	4040.	50.	60.0	60.0	60.0	.070	.070



ANALISIS DEL POZO 1653 FORMACION ATLANTA

	2	1	1	0	2	2						
120.	5200.			.17	87.	75.		0.00	59.	28.		
	4700.			4856.	.30	100.	75.		0..47.50.15	0.0.30 4		
1.	4700.	38.	17.0	10.0	10.0	.180	.180					
2.	4704.	43.	28.0	20.0	20.0	.150	.150					
3.	4708.	41.	20.0	03.0	03.0	.190	.190					
4.	4712.	45.	47.0	42.0	42.0	.130	.130					
5.	4716.	51.	41.0	38.0	38.0	.160	.160					
6.	4720.	45.	35.0	27.0	27.0	.160	.160					
7.	4724.	36.	26.0	20.0	20.0	.160	.160					
8.	4728.	41.	24.0	13.0	13.0	.240	.240					
9.	4732.	51.	18.0	42.0	42.0	.320	.320					
10.	4736.	41.	35.0	20.0	20.0	.140	.140					
11.	4746.	41.	39.0	40.0	40.0	.120	.120					
12.	4744.	40.	30.0	40.0	40.0	.140	.140					
13.	4748.	30.	36.0	26.0	26.0	.120	.120					
14.	4752.	33.	28.0	20.0	20.0	.170	.170					
15.	4756.	35.	48.0	47.0	47.0	.140	.140					
16.	4760.	36.	45.0	37.0	37.0	.140	.140					
17.	4764.	33.	40.0	23.0	23.0	.130	.130					
18.	4768.	38.	32.0	15.0	15.0	.140	.140					
19.	4772.	33.	34.0	53.0	53.0	.130	.130					
20.	4776.	35.	35.0	48.0	48.0	.140	.140					
21.	4780.	45.	36.0	26.0	26.0	.160	.160					
22.	4784.	43.	30.0	30.0	30.0	.150	.150					
23.	4788.	41.	34.0	40.0	40.0	.130	.130					
24.	4792.	45.	40.0	41.0	41.0	.130	.130					
25.	4796.	40.	31.0	35.0	35.0	.130	.130					
26.	4800.	31.	28.0	32.0	32.0	.110	.110					
27.	4804.	33.	30.0	17.0	17.0	.130	.130					
28.	4888.	36.	32.0	21.0	21.0	.140	.140					
29.	4812.	38.	29.0	23.0	23.0	.140	.140					
30.	4816.	40.	28.0	23.0	23.0	.150	.150					
31.	4820.	38.	33.0	42.0	42.0	.130	.130					
32.	4824.	38.	30.0	29.0	29.0	.150	.150					
33.	4828.	38.	32.0	20.0	20.0	.120	.120					
34.	4832.	35.	26.0	33.0	33.0	.150	.150					
35.	4836.	33.	26.0	10.0	10.0	.160	.160					
36.	4840.	33.	30.0	56.0	56.0	.150	.150					
37.	4844.	35.	43.0	43.0	43.0	.130	.130					
38.	4848.	40.	43.0	29.0	29.0	.190	.190					
39.	4852.	36.	38.0	08.0	08.0	.220	.220					
40.	4856.	31.	22.0	22.0	22.0	.170	.170					
	4860.	5056.	.26		100.	75.		0..47.50.12	0.0.30 B			
1.	4860.	30.	29.0	11.0	11.0	.160	.160					
2.	4864.	35.	37.0	12.0	12.0	.130	.130					
3.	4868.	38.	32.0	30.0	30.0	.190	.190					
4.	4872.	36.	58.0	35.0	35.0	.110	.110					
5.	4876.	38.	64.0	38.0	38.0	.130	.130					
6.	4880.	35.	57.0	50.0	50.0	.130	.130					
7.	4884.	33.	58.0	50.0	50.0	.120	.120					
8.	4888.	35.	65.0	45.0	45.0	.120	.120					
9.	4892.	33.	68.0	31.0	31.0	.120	.120					
10.	4896.	36.	60.0	25.0	25.0	.100	.100					



11.	4900.	36.	99.0	87.0	87.0	.090	.090
12.	4904.	33.	97.0	80.0	80.0	.090	.090
13.	4908.	36.	80.0	93.0	93.0	.100	.100
14.	4912.	38.	48.0	15.0	15.0	.130	.130
15.	4916.	46.	67.0	55.0	55.0	.140	.140
16.	4920.	45.	50.0	33.0	33.0	.180	.180
17.	4924.	36.	55.0	67.0	67.0	.120	.120
18.	4928.	38.	75.0	58.0	58.0	.120	.120
19.	4932.	36.	80.0	60.0	60.0	.130	.130
20.	4936.	36.	60.0	15.0	15.0	.130	.130
21.	4940.	43.	87.0	82.0	82.0	.130	.130
22.	4944.	40.	76.0	60.0	60.0	.130	.130
23.	4948.	40.	92.0	80.0	80.0	.120	.120
24.	4952.	35.	73.0	70.0	70.0	.120	.120
25.	4956.	36.	99.0	65.0	65.0	.090	.090
26.	4960.	41.	85.0	75.0	75.0	.110	.110
27.	4964.	41.	99.0	70.0	70.0	.110	.110
28.	4968.	38.	99.0	65.0	65.0	.120	.120
29.	4972.	36.	78.0	65.0	65.0	.100	.100
30.	4976.	33.	99.0	50.0	50.0	.090	.090
31.	4980.	35.	91.0	70.0	70.0	.130	.130
32.	4984.	38.	90.0	65.0	65.0	.120	.120
33.	4988.	36.	83.0	26.0	26.0	.120	.120
34.	4992.	36.	65.0	43.0	43.0	.100	.100
35.	4996.	40.	80.0	65.0	65.0	.100	.100
36.	5000.	33.	90.0	45.0	45.0	.110	.110
37.	5004.	36.	71.0	65.0	65.0	.100	.100
38.	5008.	36.	80.0	50.0	50.0	.110	.110
39.	5012.	36.	56.0	75.0	75.0	.120	.120
40.	5016.	35.	85.0	25.0	25.0	.120	.120
41.	5020.	36.	75.0	15.0	15.0	.120	.120
42.	5024.	38.	50.0	30.0	30.0	.140	.140
43.	5028.	38.	55.0	15.0	15.0	.120	.120
44.	5032.	38.	55.0	40.0	40.0	.120	.120
45.	5036.	35.	85.0	45.0	45.0	.120	.120
46.	5040.	36.	79.0	70.0	70.0	.120	.120
47.	5044.	41.	99.0	60.0	60.0	.120	.120
48.	5048.	40.	90.0	23.0	23.0	.130	.130
49.	5052.	38.	85.0	32.0	32.0	.130	.130
50.	5056.	40.	95.0	65.0	65.0	.110	.110
51.	5060.	43.	99.0	30.0	30.0	.100	.100
52.	5064.	40.	88.0	35.0	35.0	.110	.110
53.	5068.	45.	72.0	10.0	10.0	.150	.150
54.	5072.	41.	67.0	50.0	50.0	.150	.150
55.	5076.	36.	28.0	35.0	35.0	.110	.110
56.	5080.	35.	78.0	25.0	25.0	.130	.130
57.	5084.	35.	81.0	57.0	57.0	.110	.110
58.	5088.	31.	99.0	55.0	55.0	.130	.130
59.	5092.	30.	99.0	85.0	85.0	.120	.120
60.	5096.	31.	99.0	95.0	95.0	.120	.120
61.	5100.	35.	99.0	90.0	90.0	.120	.120
62.	5104.	33.	92.0	83.0	83.0	.120	.120
63.	5108.	33.	99.0	75.0	75.0	.100	.100
64.	5112.	41.	99.0	70.0	70.0	.150	.150
65.	5116.	50.	66.0	55.0	55.0	.200	.200

BIBLIOTECA



66. 5120. 41. 61.0 65.0 65.0 130 130
67. 5124. 41. 99.0 56.0 56.0 130 130
68. 5128. 41. 99.0 90.0 90.0 120 120
69. 5132. 45. 99.0 70.0 70.0 120 120
70. 5136. 43. 99.0 40.0 40.0 110 110
71. 5140. 46. 94.0 33.0 33.0 180 180
72. 5144. 43. 67.0 50.0 50.0 120 120
73. 5148. 38. 99.0 80.0 80.0 110 110
74. 5152. 41. 99.0 80.0 80.0 090 090
75. 5156. 43. 99.0 95.0 95.0 100 100
76. 5160. 41. 99.0 85.0 85.0 090 090
77. 5164. 41. 99.0 58.0 58.0 110 110
78. 5168. 40. 99.0 95.0 95.0 100 100
79. 5172. 40. 99.0 85.0 85.0 120 120
80. 5176. 40. 99.0 95.0 95.0 120 120
81. 5180. 40. 99.0 70.0 70.0 120 120
82. 5184. 38. 99.0 80.0 80.0 120 120
83. 5188. 40. 99.0 90.0 90.0 130 130
84. 5192. 38. 93.0 70.0 70.0 110 130

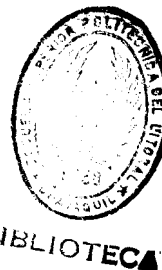
ANALISIS DEL POZO 1688 FORM. ATLANTA

	4	1	1	0	2	2				
115.	5483.			.20	80.	75.	0.00	87.	39.	
	4938.	5050.		.30	100.	75.	0..67.	50.10	0.0.30	2
1.	4938.	48.	32.0	32.0	32.0	.060	.060			
2.	4942.	53.	31.0	20.0	20.0	.060	.060			
3.	4946.	53.	26.0	17.0	17.0	.060	.060			
4.	4950.	53.	25.0	19.0	19.0	.070	.070			
5.	4954.	55.	21.0	23.0	23.0	.070	.070			
6.	4958.	52.	30.0	21.0	21.0	.070	.070			
7.	4962.	56.	25.0	20.0	20.0	.140	.140			
8.	4966.	65.	17.0	23.0	23.0	.070	.070			
9.	4970.	56.	18.0	12.0	12.0	.150	.150			
10.	4974.	61.	18.0	23.0	23.0	.070	.070			
11.	4978.	68.	26.0	11.0	11.0	.170	.170			
12.	4982.	68.	22.0	16.0	16.0	.070	.070			
13.	4986.	61.	18.0	16.0	16.0	.070	.070			
14.	4990.	56.	40.0	13.0	13.0	.080	.080			
15.	4994.	59.	29.0	16.0	16.0	.080	.080			
16.	4998.	56.	24.0	14.0	14.0	.150	.150			
17.	5002.	53.	21.0	10.0	10.0	.110	.110			
18.	5006.	56.	22.0	08.0	08.0	.160	.160			
19.	5010.	73.	17.0	05.0	05.0	.160	.160			
20.	5016.	66.	13.0	09.0	09.0	.130	.130			
21.	5020.	65.	16.0	15.0	15.0	.070	.070			
22.	5024.	50.	36.0	25.0	25.0	.090	.090			
23.	5026.	56.	28.0	16.0	16.0	.080	.080			
24.	5030.	52.	27.0	15.0	15.0	.080	.080			
25.	5034.	54.	27.0	15.0	15.0	.090	.090			
26.	5038.	52.	32.0	17.0	17.0	.090	.090			
27.	5042.	61.	26.0	18.0	18.0	.110	.110			
28.	5046.	64.	35.0	21.0	21.0	.110	.110			
29.	5050.	59.	26.0	17.0	17.0	.120	.120			
	5054.	5286.	.26		100.	75.	0..67.	50.08	0.0.30	5
1.	5054.	54.	25.0	20.0	20.0	.090	.090			
2.	5058.	55.	28.0	13.0	13.0	.100	.100			
3.	5062.	56.	40.0	17.0	17.0	.100	.100			
4.	5066.	53.	42.0	35.0	35.0	.100	.100			
5.	5070.	53.	45.0	25.0	25.0	.080	.080			
6.	5074.	55.	44.0	35.0	35.0	.080	.080			
7.	5078.	55.	49.0	40.0	40.0	.070	.070			
8.	5082.	56.	46.0	30.0	30.0	.080	.080			
9.	5086.	68.	30.0	25.0	25.0	.130	.130			
10.	5090.	59.	52.0	43.0	43.0	.100	.100			
11.	5094.	62.	19.0	17.0	17.0	.100	.100			
12.	5098.	59.	35.0	18.0	18.0	.100	.100			
13.	5102.	56.	39.0	19.0	19.0	.140	.140			
14.	5106.	66.	13.0	10.0	10.0	.130	.130			
15.	5110.	71.	34.0	27.0	27.0	.120	.120			
16.	5114.	71.	19.0	30.0	30.0	.140	.140			
17.	5118.	69.	33.0	40.0	40.0	.100	.100			
18.	5122.	58.	75.0	40.0	40.0	.090	.090			
19.	5126.	58.	66.0	30.0	30.0	.090	.090			
20.	5130.	65.	51.0	43.0	43.0	.090	.090			
21.	5134.	57.	60.0	42.0	42.0	.070	.070			



ANALISIS DEL POZO 1688 FORM. ATLANTA

	4	1	1	0	2	2					
115.	5483.			.20	80.	75.	0.00	87.	39.		
	4938.	5050.	.30		100.	75.	0..67.	50.10	0.0.30	29.	
1.	4938.	48.	32.0	32.0	32.0	.060	.060				
2.	4942.	53.	31.0	20.0	20.0	.060	.060				
3.	4946.	53.	26.0	17.0	17.0	.060	.060				
4.	4950.	53.	25.0	19.0	19.0	.070	.070				
5.	4954.	55.	21.0	23.0	23.0	.070	.070				
6.	4958.	52.	30.0	21.0	21.0	.070	.070				
7.	4962.	56.	25.0	20.0	20.0	.140	.140				
8.	4966.	65.	17.0	23.0	23.0	.070	.070				
9.	4970.	56.	18.0	12.0	12.0	.150	.150				
10.	4974.	61.	18.0	23.0	23.0	.070	.070				
11.	4978.	68.	26.0	11.0	11.0	.170	.170				
12.	4982.	68.	22.0	16.0	16.0	.070	.070				
13.	4986.	61.	18.0	16.0	16.0	.070	.070				
14.	4990.	56.	40.0	13.0	13.0	.080	.080				
15.	4994.	59.	29.0	16.0	16.0	.080	.080				
16.	4998.	56.	24.0	14.0	14.0	.150	.150				
17.	5002.	53.	21.0	10.0	10.0	.110	.110				
18.	5006.	56.	22.0	08.0	08.0	.160	.160				
19.	5010.	73.	17.0	05.0	05.0	.160	.160				
20.	5016.	66.	13.0	09.0	09.0	.130	.130				
21.	5020.	65.	16.0	15.0	15.0	.070	.070				
22.	5024.	50.	36.0	25.0	25.0	.090	.090				
23.	5026.	56.	28.0	16.0	16.0	.080	.080				
24.	5030.	52.	27.0	15.0	15.0	.080	.080				
25.	5034.	54.	27.0	15.0	15.0	.090	.090				
26.	5038.	52.	32.0	17.0	17.0	.090	.090				
27.	5042.	61.	26.0	18.0	18.0	.110	.110				
28.	5046.	64.	35.0	21.0	21.0	.110	.110				
29.	5050.	59.	26.0	17.0	17.0	.120	.120				
	5054.	5286.	.26		100.	75.	0..67.	50.08	0.0.30	5.	
1.	5054.	54.	25.0	20.0	20.0	.090	.090				
2.	5058.	55.	28.0	13.0	13.0	.100	.100				
3.	5062.	56.	40.0	17.0	17.0	.100	.100				
4.	5066.	53.	42.0	35.0	35.0	.100	.100				
5.	5070.	53.	45.0	25.0	25.0	.080	.080				
6.	5074.	55.	44.0	35.0	35.0	.080	.080				
7.	5078.	55.	49.0	40.0	40.0	.070	.070				
8.	5082.	56.	46.0	30.0	30.0	.080	.080				
9.	5086.	68.	30.0	25.0	25.0	.130	.130				
10.	5090.	59.	52.0	43.0	43.0	.100	.100				
11.	5094.	62.	19.0	17.0	17.0	.100	.100				
12.	5098.	59.	35.0	18.0	18.0	.100	.100				
13.	5102.	56.	39.0	19.0	19.0	.140	.140				
14.	5106.	66.	13.0	10.0	10.0	.130	.130				
15.	5110.	71.	34.0	27.0	27.0	.120	.120				
16.	5114.	71.	19.0	30.0	30.0	.140	.140				
17.	5118.	69.	33.0	40.0	40.0	.100	.100				
18.	5122.	58.	75.0	40.0	40.0	.090	.090				
19.	5126.	58.	66.0	30.0	30.0	.090	.090				
20.	5130.	65.	51.0	43.0	43.0	.090	.090				
21.	5134.	57.	60.0	42.0	42.0	.070	.070				



BIBLIOTECA
INSTITUTO POLITÉCNICO NACIONAL

17.	5354.	77.	15.0	13.0	13.0	.180	.180				
18.	5358.	59.	29.0	15.0	15.0	.080	.080				
19.	5362.	69.	20.0	04.0	04.0	.150	.150				
20.	5366.	66.	21.0	15.0	15.0	.150	.150				
21.	5370.	87.	13.0	09.0	09.0	.180	.180				
	5370.	5430.	.26	100.	75.			0..67.50.07	0.0.30	15	
1.	5374.	61.	31.0	32.0	32.0	.060	.060				
2.	5378.	62.	20.0	10.0	10.0	.100	.100				
3.	5382.	45.	41.0	27.0	27.0	.080	.080				
4.	5386.	49.	41.0	14.0	14.0	.080	.080				
5.	5390.	56.	52.0	35.0	35.0	.080	.080				
6.	5394.	57.	54.0	27.0	27.0	.060	.060				
7.	5398.	56.	35.0	30.0	30.0	.070	.070				
8.	5402.	50.	40.0	33.0	33.0	.060	.060				
9.	5406.	57.	45.0	40.0	40.0	.060	.060				
10.	5410.	60.	47.0	47.0	47.0	.070	.070				
11.	5414.	64.	49.0	40.0	40.0	.060	.060				
12.	5418.	62.	56.0	30.0	30.0	.070	.070				
13.	5422.	61.	44.0	30.0	30.0	.070	.070				
14.	5426.	56.	43.0	45.0	45.0	.060	.060				
15.	5430.	56.	54.0	40.0	40.0	.060	.060				

ANALISIS DEL POZO 1689

FORM. ATLANTA

	3	1	1	0	2	2						
115.	4700.			.20	72.		75.		0.00	69.	28.	
3610.		3698.		.30		110.		75.		0.75.	50.12	0.0.30
1.	3610.	41.	17.0	35.0	35.0	.130	.130	.130				
2.	3614.	34.	23.0	10.0	10.0	.090	.090	.090				
3.	3618.	35.	31.0	25.0	25.0	.070	.070	.070				
4.	3622.	38.	31.0	35.0	35.0	.120	.120	.120				
5.	3626.	36.	25.0	20.0	20.0	.100	.100	.100				
6.	3630.	37.	22.0	15.0	15.0	.100	.100	.100				
7.	3634.	36.	32.0	20.0	20.0	.130	.130	.130				
8.	3638.	34.	21.0	10.0	10.0	.100	.100	.100				
9.	3642.	38.	42.0	34.0	34.0	.110	.110	.110				
10.	3646.	35.	45.0	15.0	15.0	.100	.100	.100				
11.	3650.	36.	43.0	15.0	15.0	.100	.100	.100				
12.	3654.	36.	39.0	37.0	37.0	.100	.100	.100				
13.	3658.	36.	50.0	20.0	20.0	.120	.120	.120				
14.	3662.	41.	33.0	03.0	03.0	.110	.110	.110				
15.	3666.	42.	38.0	25.0	25.0	.120	.120	.120				
16.	3670.	40.	29.0	17.0	17.0	.120	.120	.120				
17.	3674.	38.	34.0	20.0	20.0	.090	.090	.090				
18.	3678.	38.	39.0	26.0	26.0	.110	.110	.110				
19.	3682.	39.	32.0	25.0	25.0	.120	.120	.120				
20.	3686.	42.	35.0	16.0	16.0	.150	.150	.150				
21.	3690.	48.	26.0	25.0	25.0	.170	.170	.170				
22.	3694.	45.	13.0	10.0	10.0	.240	.240	.240				
23.	3698.	42.	17.0	03.0	03.0	.180	.180	.180				
	4288.	4516.	.26		110.		75.		0..90.	30.08	0.0.30	5
1.	4288.	41.	23.0	12.0	12.0	.100	.100	.100				
2.	4292.	40.	22.0	30.0	30.0	.080	.090	.090				
3.	4296.	38.	41.0	75.0	75.0	.070	.090					
4.	4300.	36.	42.0	37.0	37.0	.080	.080					
5.	4304.	35.	42.0	30.0	30.0	.110	.110					
6.	4308.	36.	45.0	25.0	25.0	.090	.090					
7.	4312.	38.	44.0	50.0	50.0	.070	.070					
8.	4316.	36.	47.0	54.0	54.0	.080	.080					
9.	4320.	36.	62.0	35.0	35.0	.060	.060					
10.	4324.	37.	64.0	55.0	55.0	.050	.050					
11.	4328.	38.	62.0	47.0	47.0	.050	.050					
12.	4332.	33.	66.0	75.0	75.0	.070	.070					
13.	4336.	39.	61.0	40.0	40.0	.070	.070					
14.	4340.	47.	62.0	42.0	42.0	.120	.120					
15.	4344.	37.	31.0	05.0	05.0	.090	.090					
16.	4348.	40.	50.0	30.0	30.0	.080	.080					
17.	4352.	40.	45.0	30.0	30.0	.060	.060					
18.	4356.	44.	40.0	25.0	25.0	.070	.070					
19.	4360.	41.	50.0	39.0	39.0	.100	.100					
20.	4364.	34.	32.0	10.0	10.0	.080	.080					
21.	4368.	37.	46.0	45.0	45.0	.100	.100					
22.	4372.	39.	53.0	54.0	54.0	.140	.140					
23.	4376.	43.	27.0	05.0	05.0	.150	.150					
24.	4380.	43.	28.0	15.0	15.0	.140	.140					
25.	4384.	39.	21.0	25.0	25.0	.080	.080					
26.	4388.	38.	28.0	50.0	50.0	.070	.070					
27.	4392.	36.	35.0	60.0	60.0	.090	.090					



28.	4396.	38.	32.0	65.0	65.0	.140	.140
29.	4400.	35.	22.0	15.0	15.0	.130	.130
30.	4404.	37.	20.0	10.0	10.0	.070	.070
31.	4408.	35.	20.0	25.0	30.0	.100	.100
32.	4412.	35.	28.0	25.0	25.0	.070	.070
33.	4416.	35.	25.0	23.0	25.0	.070	.070
34.	4420.	34.	41.0	40.0	42.0	.070	.070
35.	4424.	38.	38.0	30.0	30.0	.080	.080
36.	4428.	37.	44.0	30.0	30.0	.050	.050
37.	4432.	37.	43.0	31.0	31.0	.050	.050
38.	4436.	35.	51.0	39.0	39.0	.060	.060
39.	4440.	32.	57.0	35.0	35.0	.060	.060
40.	4444.	35.	52.0	27.0	27.0	.060	.060
41.	4448.	35.	41.0	25.0	25.0	.050	.050
42.	4452.	36.	56.0	50.0	50.0	.080	.080
43.	4456"	37.	40.0	20.0	20.0	.120	.120
44.	4460.	37.	27.0	15.0	15.0	.090	.090
45.	4464.	38.	24.0	14.0	14.0	.080	.080
46.	4468.	37.	38.0	31.0	31.0	.080	.080
47.	4472.	36.	39.0	15.0	15.0	.110	.110
48.	4476.	37.	17.0	15.0	15.0	.110	.110
49.	4480.	39.	21.0	05.0	05.0	.090	.090
50.	4484.	42.	38.0	37.0	37.0	.080	.080
51.	4488.	36.	33.0	29.0	29.0	.060	.060
52.	4492.	34.	39.0	50.0	50.0	.070	.070
53.	4496.	33.	50.0	30.0	30.0	.070	.070
54.	4500.	37.	30.0	10.0	10.0	.070	.070
55.	4504.	37.	40.0	35.0	35.0	.100	.100
56"	4508.	39.	35.0	25.0	25.0	.270	.270
57.	4512.	35.	13.0	05.0	05.0	.210	.210
58.	4516.	45.	10.0	07.0	07.0	.160	.160
	4517.	4700.	.26	110.	75.		0..76.50.12 0.0.30 41
1.	4517.	33.	15.0	10.0	10.0	.170	.170
2.	4520.	35.	12.0	08.0	08.0	.140	.140
3.	4524.	39.	22.0	20.0	20.0	.110	.110
4.	4528.	44.	18.0	13.0	13.0	.080	.080
5.	4532.	45.	24.0	33.0	33.0	.120	.120
6.	4536.	44.	33.0	50.0	50.0	.090	.090
7.	4540.	45.	19.0	11.0	11.0	.100	.100
8.	4544.	44.	31.0	25.0	25.0	.100	.100
9.	4548.	44.	27.0	25.0	25.0	.100	.100
10.	4552.	44.	25.0	16.0	16.0	.090	.090
11.	4556.	47.	25.0	20.0	20.0	.080	.080
12.	4560.	45.	27.0	28.0	28.0	.140	.140
13.	4564.	50.	20.0	30.0	30.0	.170	.170
14.	4568.	54.	17.0	08.0	08.0	.120	.120
15.	4572.	47.	25.0	18.0	18.0	.100	.100
16.	4576.	50.	20.0	45.0	45.0	.130	.130
17.	4580.	56.	26.0	19.0	19.0	.130	.130
18.	4584.	50.	25.0	15.0	15.0	.120	.120
19.	4588.	57.	25.0	99.0	99.0	.120	.120
20.	4592.	57.	25.0	37.0	37.0	.120	.120
21.	4596.	50.	32.0	33.0	33.0	.120	.120
22.	4600.	50.	24.0	20.0	20.0	.140	.140
23.	4604.	47.	24.0	25.0	25.0	.120	.120



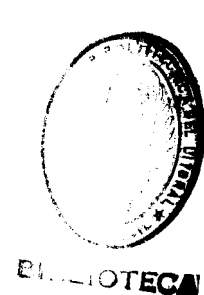
BIBLIOTECA

24.	4608.	50.	25.0	16.0	16.0	.130	.130
25.	4612.	53.	37.0	07.0	07.0	.130	.130
26.	4616.	54.	23.0	15.0	15.0	.130	.130
27.	4620.	50.	28.0	30.0	30.0	.120	.120
28.	4624.	50.	21.0	20.0	20.0	.080	.080
29.	4628.	51.	36.0	99.0	99.0	.110	.110
30.	4632.	49.	34.0	33.0	33.0	.120	.120
31.	4636.	50.	31.0	30.0	30.0	.100	.100
32.	4640.	50.	24.0	22.0	22.0	.120	.120
33.	4644"	50.	31.0	28.0	28.0	.150	.150
34.	4648.	50.	18.0	06.0	06.0	.150	.150
35.	4652.	45.	20.0	10.0	10.0	.130	.130
36.	4656.	46.	22.0	13.0	13.0	.140	.140
37.	4660.	50.	19.0	09.0	09.0	.140	.140
38.	4664.	50.	20.0	11.0	11.0	.120	.120
39.	4668.	47.	22.0	07.0	07.0	.110	.110
40.	4672.	42.	24.0	22.0	22.0	.110	.110
41.	4676.	47.	27.0	20.0	20.0	.140	.140
42.	4680.	50.	19.0	15.0	15.0	.140	.140
43.	4684.	56.	20.0	23.0	23.0	.120	.120
44.	4688.	45.	23.0	99.0	99.0	.090	.090
45.	4692.	59.	38.0	29.0	29.0	.280	.280
46.	4696.	59.	10.0	05.0	05.0	.140	.140
47.	4700.	59.	20.0	15.0	15.0	.120	.120

ANALISIS DEL POZO 1704

FORMACION ATLANTA

	3	1	0	0	2	2						
115.	5793.	.12	76.	75.	.00	.00	55.	.21.				
	5174.	5310.	.30	100.	75.	.00	.90.50.05	0.0.30	34			
1.	5178.	34.	18.0	40.0	40.0	.110	.110	.110				
2.	5182.	45.	26.0	25.0	25.0	.100	.100	.100				
3.	5186.	46.	26.0	15.0	15.0	.140	.140	.140				
4.	5190.	38.	30.0	40.0	40.0	.130	.130	.130				
5.	5194.	40.	37.0	15.0	15.0	.090	.090	.090				
6.	5198.	35.	43.0	30.0	30.0	.090	.090	.090				
7.	5202.	35.	53.0	36.0	36.0	.060	.060	.060				
8.	5206.	32.	60.0	39.0	39.0	.050	.050	.050				
9.	5210.	32.	68.0	41.0	41.0	.050	.050	.050				
10.	5214.	33.	72.0	38.0	38.0	.050	.050	.050				
11.	5218.	33.	57.0	35.0	35.0	.070	.070	.070				
12.	5222.	34.	66.0	41.0	41.0	.050	.050	.050				
13.	5226.	35.	72.0	39.0	39.0	.050	.050	.050				
14.	5230.	28.	83.0	35.0	35.0	.060	.060	.060				
15.	5234.	32.	67.0	35.0	35.0	.050	.050	.050				
16.	5238.	32.	80.0	42.0	42.0	.060	.060	.060				
17.	5242.	32.	52.0	33.0	33.0	.060	.060	.060				
18.	5246.	33.	60.0	25.0	25.0	.060	.060	.060				
19.	5250.	28.	49.0	30.0	30.0	.050	.050	.050				
20.	5254.	32.	59.0	35.0	35.0	.060	.060	.060				
21.	5258.	31.	60.0	40.0	40.0	.060	.060	.060				
22.	5262.	33.	58.0	27.0	27.0	.060	.060	.060				
23.	5266.	33.	47.0	25.0	25.0	.070	.070	.070				
24.	5270.	34.	54.0	03.0	03.0	.120	.120	.120				
25.	5274.	34.	27.0	34.0	34.0	.070	.070	.070				
26.	5278.	34.	43.0	16.0	16.0	.070	.070	.070				
27.	5282.	29.	34.0	20.0	20.0	.060	.060	.060				
28.	5286.	33.	58.0	30.0	30.0	.050	.050	.050				
29.	5290.	34.	50.0	20.0	20.0	.060	.060	.060				
30.	5294.	29.	49.0	20.0	20.0	.050	.050	.050				
31.	5298.	30.	45.0	35.0	35.0	.050	.050	.050				
32.	5302.	30.	50.0	28.0	28.0	.040	.040	.040				
33.	5306.	29.	45.0	17.0	17.0	.050	.050	.050				
34.	5310.	29.	35.0	21.0	21.0	.080	.080	.080				
	5310.	5526.	.26	100.	65.	.00	.90.50.09	0.0.30	54			
1.	5314.	30.	28.0	25.0	25.0	.070	.070	.070				
2.	5318.	40.	32.0	20.0	20.0	.100	.100	.100				
3.	5322.	30.	24.0	20.0	20.0	.070	.070	.070				
4.	5326.	30.	38.0	23.0	23.0	.060	.060	.060				
5.	5330.	30.	36.0	25.0	25.0	.060	.060	.060				
6.	5334.	28.	32.0	17.0	17.0	.050	.050	.050				
7.	5338.	37.	32.0	19.0	19.0	.080	.080	.080				
8.	5342.	42.	30.0	15.0	15.0	.080	.080	.080				
9.	5346.	38.	26.0	22.0	22.0	.070	.070	.070				
10.	5350.	36.	29.0	20.0	20.0	.070	.070	.070				
11.	5354.	41.	27.0	28.0	28.0	.090	.090	.090				
12.	5358.	37.	30.0	05.0	05.0	.120	.120	.120				
13.	5362.	30.	25.0	17.0	17.0	.040	.040	.040				
14.	5366.	37.	36.0	25.0	25.0	.080	.080	.080				
15.	5370.	38.	22.0	15.0	15.0	.080	.080	.080				
16.	5374.	38.	30.0	14.0	14.0	.110	.110	.110				



17.	5378.	33.	20.0	17.0	17.0	.090	.090	.090
18.	5382.	37.	29.0	03.0	03.0	.110	.110	.110
19.	5386.	40.	22.0	12.0	12.0	.100	.100	.100
20.	5390.	29.	22.0	17.0	17.0	.040	.040	.040
21.	5394.	35.	44.0	30.0	30.0	.090	.090	.090
22.	5398.	42.	20.0	08.0	08.0	.120	.120	.120
23.	5402.	28.	26.0	25.0	25.0	.150	.150	.150
24.	5406.	35.	17.0	05.0	05.0	.110	.110	.110
25.	5410.	31.	28.0	15.0	15.0	.070	.070	.070
26.	5414.	29.	34.0	27.0	27.0	.050	.050	.050
27.	5418.	31.	61.0	25.0	25.0	.050	.050	.050
28.	5422.	35.	45.0	03.0	03.0	.150	.150	.150
29.	5426.	27.	22.0	15.0	15.0	.100	.100	.100
30.	5430.	29.	25.0	25.0	25.0	.110	.110	.110
31.	5434.	30.	27.0	15.0	15.0	.070	.070	.070
32.	5438.	33.	27.0	12.0	12.0	.070	.070	.070
33.	5442.	33.	31.0	13.0	13.0	.060	.060	.060
34.	5446.	33.	27.0	16.0	16.0	.060	.060	.060
35.	5450.	30.	24.0	17.0	17.0	.050	.050	.050
36.	5454.	30.	31.0	45.0	45.0	.040	.040	.040
37.	5458.	33.	30.0	08.0	08.0	.070	.070	.070
38.	5462.	30.	28.0	19.0	19.0	.050	.050	.050
39.	5466.	26.	32.0	11.0	11.0	.070	.070	.070
40.	5470.	46.	20.0	04.0	04.0	.290	.290	.290
41.	5474.	49.	10.0	04.0	04.0	.320	.320	.320
42.	5478.	44.	09.0	03.3	03.0	.300	.300	.300
43.	5482.	48.	09.0	04.0	04.0	.310	.310	.310
44.	5486.	46.	10.0	05.0	05.0	.190	.190	.190
45.	5490.	46.	23.0	17.0	17.0	.150	.150	.150
46.	5494.	46.	17.0	11.0	11.0	.150	.150	.150
47.	5498.	40.	19.0	17.0	17.0	.110	.110	.110
48.	5502.	41.	19.0	15.0	15.0	.120	.120	.120
49.	5506.	43.	18.0	18.0	18.0	.100	.100	.100
50.	5510.	43.	22.0	17.0	17.0	.100	.100	.100
51.	5514.	44.	20.0	09.0	09.0	.130	.130	.130
52.	5518.	44.	20.0	20.0	20.0	.160	.160	.160
53.	5522.	49.	12.0	05.0	05.0	.300	.300	.300
54.	5526.	42.	13.0	45.0	45.0	.070	.070	.070
	5526.	5710.	.26	100.	65.	0..	50.50.07	0.0.30 46
1.	5530.	36.	42.0	40.0	40.0	.080	.080	.080
2.	5534.	41.	32.0	19.0	19.0	.080	.080	.080
3.	5538.	41.	40.0	10.0	10.0	.100	.100	.100
4.	5542.	43.	35.0	05.0	05.0	.110	.110	.110
5.	5546.	34.	37.0	10.0	10.0	.090	.090	.090
6.	5550.	37.	46.0	05.0	05.0	.150	.150	.150
7.	5554.	40.	28.0	03.0	03.0	.160	.160	.160
8.	5558.	37.	46.0	05.0	05.0	.080	.080	.080
9.	5562.	29.	59.0	30.0	30.0	.040	.040	.040
10.	5566.	31.	50.0	15.0	15.0	.050	.050	.050
11.	5570.	29.	42.0	21.0	21.0	.040	.040	.040
12.	5574.	32.	59.0	34.0	34.0	.060	.060	.060
13.	5578.	32.	46.0	22.0	22.0	.060	.060	.060
14.	5582.	29.	54.0	30.0	30.0	.040	.040	.040
15.	5586.	29.	90.0	41.0	41.0	.030	.030	.030
16.	5590.	29.	89.0	45.0	45.0	.020	.020	.020

17.	5594.	34.	75.0	50.0	50.0	.030	.030	.030
18.	5598.	29.	67.0	20.0	20.0	.060	.060	.060
19.	5602.	26.	52.0	15.0	15.0	.060	.060	.060
20.	5606.	27.	31.0	13.0	13.0	.070	.070	.070
21.	5610.	29.	50.0	35.0	35.0	.040	.040	.040
22.	5614.	26.	97.0	47.0	47.0	.040	.040	.040
23.	5618.	26.	99.0	43.0	43.0	.030	.030	.030
24.	5622.	29.	89.0	46.0	46.0	.030	.030	.030
25.	5626.	30.	88.0	35.0	35.0	.030	.030	.030
26.	5630.	28.	95.0	40.0	40.0	.030	.030	.030
27.	5634.	30.	64.0	24.0	24.0	.030	.030	.030
28.	5638.	37.	66.0	25.0	25.0	.040	.040	.040
29.	5642.	28.	55.0	28.0	28.0	.040	.040	.040
30.	5646.	26.	51.0	17.0	17.0	.040	.040	.040
31.	5650.	28.	44.0	30.0	30.0	.050	.050	.050
32.	5654.	29.	45.0	13.0	13.0	.060	.060	.060
33.	5658.	34.	31.0	10.0	10.0	.060	.060	.060
34.	5662.	35.	30.0	15.0	15.0	.050	.050	.050
35.	5666.	30.	25.0	34.0	34.0	.050	.050	.050
36.	5670.	31.	47.0	26.0	26.0	.060	.060	.060
37.	5674.	33.	26.0	11.0	11.0	.090	.090	.090
38.	5678.	32.	31.0	12.0	12.0	.080	.080	.080
39.	5682.	37.	20.0	18.0	18.0	.080	.080	.080
40.	5686.	35.	50.0	29.0	29.0	.050	.050	.050
41.	5690.	38.	55.0	26.0	26.0	.040	.040	.040
42.	5694.	37.	46.0	20.0	20.0	.050	.050	.050
43.	5698.	36.	47.0	33.0	33.0	.060	.060	.060
44.	5702.	40.	51.0	20.0	20.0	.070	.070	.070
45.	5706.	41.	28.0	12.0	12.0	.070	.070	.070
46.	5710.	37.	55.0	25.0	25.0	.080	.080	.080



BIBLIOTECA

ANEXO C

RESULTADOS

DEL PROGRAMA PERF

INTERPRETACION DE REGISTROS PARA LA DETERMINACION
DE PRODUCTIVIDAD DE ZONAS POR DIFERENTES METODOS
CONVECTUALES



BIBLIOTECA

ANALISIS DEL POZO 1237 FORMACION ATLANTA

VALOR CATALOGADO DE RW = .3000 75. F

NIVEL	PROF.	POR	INTERVALO 1 ANALIZADO		3624 PIES - 3912 PIES		ANCHD DEL INTERVALO	288 PIES		CP	RW	SAL	HYI	BVF
			SWA	SWR	MDI	SWS	SW3	SW2	R					
1.	3624.	.09	.56	.51	.89	.54	.00	.00	.10	.00	.25	19788.	1.00	.050
2.	3628.	.13	.50	.41	1.06	.46	.00	.00	.13	.00	.25	19788.	1.00	.064
3.	3632.	.14	.41	.36	.79	.36	.00	.00	.13	.00	.25	19788.	1.00	.057
4.	3636.	.09	.55	.46	1.05	.64	.00	.00	.06	.00	.25	19788.	1.00	.049
5.	3640.	.15	.29	.16	.31	.22	.00	.00	.13	.00	.25	19788.	1.00	.044
6.	3644.	.08	.53	.46	.98	.64	.00	.00	.05	.00	.25	19788.	1.00	.042
7.	3648.	.14	.64	.59	.95	.61	.00	.00	.18	.00	.25	19788.	.00	.090
8.	3652.	.12	.54	.46	1.00	.42	.00	.00	.19	.00	.25	19788.	1.00	.064
9.	3656.	.16	.42	.36	.86	.36	.00	.00	.15	.00	.25	19788.	1.00	.067
10.	3660.	.14	.51	.46	.88	.33	.00	.00	.28	.00	.25	19788.	1.00	.071
11.	3664.	.15	.48	.43	.85	.43	.00	.00	.15	.00	.25	19788.	1.00	.072
12.	3668.	.16	.52	.44	1.00	.48	.00	.00	.16	.00	.25	19788.	1.00	.083
13.	3672.	.14	.50	.45	.87	.45	.00	.00	.15	.00	.25	19788.	1.00	.070
14.	3676.	.14	.49	.43	.88	.53	.00	.00	.08	.00	.25	19788.	1.00	.068
15.	3680.	.14	.48	.42	.89	.52	.00	.00	.07	.00	.25	19788.	1.00	.067
16.	3684.	.11	.54	.49	.86	.60	.00	.00	.07	.00	.25	19788.	1.00	.059
17.	3688.	.13	.48	.42	.93	.55	.00	.00	.07	.00	.25	19788.	1.00	.063
18.	3692.	.15	.42	.35	.94	.47	.00	.00	.06	.00	.25	19788.	1.00	.063
19.	3696.	.14	.45	.38	.95	.49	.00	.00	.07	.00	.25	19788.	1.00	.064

20.	3700.	.16	.43	.36	.92	.46	.00	.00	.07	.00	.25	19788.	1.00	.068
21.	3704.	.11	.53	.47	.95	.51	.00	.00	.12	.00	.25	19788.	1.00	.059
22.	3708.	.27	.29	.26	.44	.20	.00	.00	.27	.00	.25	19788.	1.00	.078
23.	3712.	.14	.52	.44	.62	.32	.00	.00	.32	.00	.25	19788.	1.00	.073
24.	3716.	.10	.56	.50	.98	.47	.00	.00	.15	.00	.25	19788.	1.00	.056
25.	3720.	.18	.41	.32	1.06	.40	.00	.00	.10	.00	.25	19788.	1.00	.073
26.	3724.	.14	.46	.39	1.00	.48	.00	.00	.09	.00	.25	19788.	1.00	.065
27.	3728.	.22	.32	.30	.48	.25	.00	.00	.18	.00	.25	19788.	1.00	.070
28.	3732.	.11	.51	.47	.%4	.43	.00	.00	.15	.00	.25	19788.	1.00	.057
29.	3736.	.14	.42	.37	.83	.42	.00	.00	.09	.00	.25	19788.	1.00	.059
30.	3740.	.14	.41	.34	.91	.32	.00	.00	.16	.00	.25	19788.	1.00	.057
31.	3744.	.14	.32	.30	.48	.17	.00	.00	.25	.00	.25	19788.	1.00	.045
32.	3748.	.16	.36	.29	.93	.20	.00	.00	.28	.00	.25	19788.	1.00	.057
33.	3752.	.15	.36	.29	.90	.23	.00	.00	.22	.00	.25	19788.	1.00	.054
34.	3756.	.15	.32	.30	.59	.21	.00	.00	.19	.00	.25	19788.	1.00	.047
35.	3760.	.16	.31	.28	.62	.23	.00	.00	.15	.00	.25	19788.	1.00	.049
36.	3764.	.14	.34	.31	.71	.21	.00	.00	.22	.00	.25	19788.	1.00	.048
37.	3768.	.13	.35	.31	.70	.26	.00	.00	.14	.00	.25	19780.	1.00	.045
38.	3772.	.14	.33	.31	.48	.23	.00	.00	.16	.00	.25	19768.	1.00	.046
39.	3776.	.16	.32	.30	.59	.22	.00	.00	.19	.00	.25	19788.	1.00	.051
40.	3780.	.13	.34	.33	.58	.27	.00	.00	.13	.00	.25	19788.	1.00	.044
41.	3784.	.14	.33	.31	.61	.26	.00	.00	.13	.00	.25	19788.	1.00	.046
42.	3788.	.15	.34	.29	.80	.31	.00	.00	.10	.00	.25	19788.	1.00	.051
43.	3791.	.16	.27	.19	.35	.24	.00	.00	.10	.00	.25	19788.	1.00	.044
44.	3796.	.15	.31	.27	.68	.19	.00	.00	.20	.00	.25	19788.	1.00	.046
45.	3800.	.15	.33	.27	BE	.30	.00	.00	.10	.00	.25	19788.	1.00	.050
46.	3804.	.12	.39	.31	.98	.37	.00	.00	.09	.00	.25	19788.	1.00	.046
47.	3808.	.12	.37	.30	.94	.35	.00	.00	.09	.00	.25	19788.	1.00	.045

48.	3812,	.12	.36	.28	.95	.31	.00	.00	.10	.00	.25	19788.	1.00	,043
49.	3816.	.16	.29	.22	.94	.23	.00	.00	.12	.00	.25	19780.	1.00	,046
50.	3820.	.15	.39	.36	.67	.32	.00	.00	.15	.00	.25	19788.	1.00	,058
51.	3824.	.13	.37	.33	.74	.28	.00	.00	.15	.00	.25	19788.	1.00	,048
52.	3828.	.12	.42	.32	1.13	.28	.00	.00	.19	.00	.25	19788.	1.00	,050
53.	3832.	.12	.38	.32	.88	.29	.00	.00	.14	.00	.25	19788.	1.00	,046
54.	3836.	.11	.41	.33	1.04	.42	.00	.00	.07	.00	.25	19788.	1.00	,045
55.	3840.	.11	.41	.33	.96	.43	.00	.00	.07	.00	.25	19788.	1.00	,045
56.	3844.	.14	.31	.27	.72	.32	.00	.00	.06	.00	.25	19788.	1.00	,044
57.	3848.	.13	.31	.27	.44	.26	.00	.00	.10	.00	.25	19788.	1.00	,040
58.	3852.	.13	.34	.32	.60	.25	.00	.00	.14	.00	.25	19780.	1.00	,044
59.	3856.	.19	.29	.27	.58	.23	.00	.00	.14	.00	.25	19788.	1.00	,055
60.	3860.	.14	.34	.28	.84	.27	.00	.00	.14	.00	.25	19788.	1.00	,048
61.	3864.	.14	.31	.25	.85	.26	.00	.00	.11	.00	.25	19788.	1.00	,043
62.	3868.	.19	.27	.21	.81	.16	.00	.00	.25	.00	.25	19788.	1.00	,051
63.	3872.	.21	.27	.26	.48	.13	.00	.00	.34	.00	.25	19788.	1.00	,056
64.	3876.	.22	.36	.30	.91	.18	.00	.00	.52	.00	.25	19788.	1.00	,080
65.	3880.	.30	.27	.24	.58	.13	.00	.00	.49	.00	.15	19788.	1.00	,080
66.	3884.	.14	.53	.41	1.35	.47	.00	.00	.18	.00	.25	19788.	1.00	,075
67.	3888.	.13	.44	.35	1.03	.44	.00	.00	.09	.00	.25	19788.	1.00	,057
68.	3892.	.13	.42	.35	.96	.42	.00	.00	.09	.00	.25	19788.	1.00	,055
69.	3896.	.16	.35	.29	.88	.33	.00	.00	.10	.00	.25	19788.	1.00	,057
70.	3900.	.1b	.40	.37	.72	.32	.00	.00	.19	.00	.25	19788.	1.00	,065
71.	3904.	.21	.46	.36	1.21	.46	.00	.00	.11	.00	.25	19788.	1.00	,097
72.	3908.	.14	.46	.41	.87	.49	.00	.00	.08	.00	.25	19788.	1.00	,065
73.	3912.	.13	.46	.36	1.25	.49	.00	.00	.08	.00	.25	19708.	1.00	,060

ESPESOR NETO DE PAGO

104.0 PIES

POROSIDAD PROMEDIO ,JB FRACCION

SATURACION DE AGUA PROMEDIO ,34 FRACCION

VALDR CATALOGADO DE RW = .2600 75. F

NIVEL	PROF.	PDR	SWA	SWR	MDI	SWS	SW3	SW2	Q	CP	RW	ANCHO DEL INTERVALO	SAL	HYI	BVF	INTERVALO 2 AWALIZADD	3916 PIES -	4112 PIES	196 PIES
1.	3916.	.14	.38	.32	.83	.37	.00	.00	.08	.00	.22	23146.	1.00	.053					
2.	3920.	.15	.43	.35	1.01	.44	.00	.00	.09	.00	.22	23146.	1.00	.065					
3.	3924.	.13	.45	.38	.92	.39	.00	.00	.14	.00	.22	23146.	1.00	.059					
4.	3923.	.12	.48	.43	.88	.48	.00	.00	.10	.00	.22	23146.	1.00	.058					
5.	3932.	.14	.36	.35	.60	.33	.00	.00	.10	.00	.22	23146.	1.00	.051					
6.	3936.	.13	.43	.37	.87	.42	.00	.00	.10	.00	.22	23146.	1.00	.056					
7.	3940.	.12	.40	.34	.87	.50	.00	.00	.03	.00	.22	23146.	1.00	.048					
8.	3944.	.10	.41	.35	.86	.49	.00	.00	.04	.00	.22	23146.	1.00	.041					
9.	3948.	.11	.35	.31	.68	.38	.00	.00	.05	.00	.22	23146.	1.00	.038					
10.	3952.	.13	.31	.29	.61	.32	.00	.00	.06	.00	.22	23146.	1.00	.041					
11.	3956.	.18	.40	.30	1.20	.36	.00	.00	.14	.00	.22	23146.	1.00	.072					
12.	3960.	.10	.32	.31	.89	.37	.00	.00	.07	.00	.22	23146.	1.00	.037					
13.	3964.	.12	.31	.31	.48	.24	.00	.00	.11	.00	.22	23146.	1.00	.037					
14.	3968.	.12	.37	.31	.B9	.3?	.00	.00	.07	.00	.22	23146.	1.00	.045					
15.	3972.	.14	.26	.25	.46	.21	.00	.00	.10	.00	.22	23146.	1.00	.036					
16.	3976.	.12	.27	.24	.62	.22	.00	.00	.08	.00	.22	23146.	1.00	.032					
17.	3480.	.13	.26	.28	.44	.22	.00	.00	.08	.00	.22	23146.	1.00	.034					
18.	3984.	.13	.36	.29	.88	.23	.00	.00	.19	.00	.22	23146.	1.00	.047					
19.	3988.	.10	.35	.30	.79	.35	.00	.00	.06	.00	.22	23146.	1.00	.035					
20.	3992.	.11	.36	.30	.81	.40	.00	.00	.05	.00	.22	23146.	1.00	.039					
21.	3996.	.10	.42	.35	.93	.39	.00	.00	.09	.00	.22	23146.	1.00	.042					
22.	4000.	.09	.47	.39	.99	.54	.00	.00	.05	.00	.22	23146.	1.00	.042					

23.	4004.	.09	.42	.39	.71	.42	.00	.00	.07	.00	.22	23146.	1.00	.038
24.	4008.	.11	.35	.32	.70	.31	.00	.00	.09	.00	.22	23146.	1.00	.039
25.	4012.	.11	.34	.32	.50	.33	.00	.00	.07	.00	.22	23146.	1.00	.037
26.	4016.	.11	.37	.33	.71	.31	@0	.00	.10	.00	.22	23146.	1.00	.040
27.	4020.	.16	.26	.24	.56	.19	.00	.00	.14	.00	.22	23146.	1.00	.042
28.	4024.	.13	.33	.24	.41	.21	.00	.00	.18	.00	.22	23146.	1.00	.044
29.	4028.	.09	.39	.33	.84	.36	.00	.00	.07	.00	.22	23146.	1.00	.035
30.	4032.	.11	.35	.33	.61	.30	@0	.00	.09	.00	.22	23146.	1.00	.038
31.	4036.	.09	.42	.33	1.04	.34	.00	.00	.10	.00	.22	23146.	1.00	.038
32.	4040.	.07	.45	.37	.99	.24	.00	.00	.14	.00	.22	23146.	1.00	.032
33.	4044.	@9	.36	.28	.96	.35	.00	@0	.06	.00	.22	23146.	1.00	.032
34.	4048.	.11	.31	.25	.84	.28	.00	.00	.07	.00	.22	23146.	1.00	.034
35.	4052.	.11	.29	.25	.70	.26	.00	.00	.07	.00	.22	23146.	1.00	.032
36.	4056.	.10	.36	.29	.90	.31	.00	.00	.08	.00	.22	23146.	1.00	.036
37.	4060.	.08	.41	.36	.82	.37	.00	.00	.07	.00	.22	23146.	1.00	.033
38.	4064.	.12	.22	.25	.73	.27	.00	.00	.07	.00	.22	23146.	1.00	.035
39.	4068.	.11	.39	.33	.92	.35	.00	.00	.10	.00	.22	23146.	1.00	.043
40.	4072.	.12	.33	.28	.80	.32	.00	.00	.07	.00	.22	23146.	1.00	.040
41.	4076.	.12	.32	.27	.72	.30	.00	.00	.07	.00	.22	23146.	1.00	.038
42.	4080.	.12	.32	.28	.73	.31	.00	.00	Of	.00	.22	23146.	1.00	.039
43.	4004.	.10	.45	.38	.94	.40	.00	.00	.10	.00	.22	23146.	1.00	.045
44.	4088.	.10	.42	.35	.93	.42	.00	.00	.07	.00	.22	23146.	1.00	.042
45.	4092.	.11	.35	.33	.65	.29	.00	.00	.10	.00	.22	23146.	1.00	.039
46.	4096.	.10	.38	.35	.65	.25	.00	.00	.14	.00	.22	23146.	1.00	.030
47.	4100.	.10	.32	.31	.54	.23	.00	.00	.11	.00	.22	23146.	1.00	.032
48.	4104.	.11	.37	.32	.79	.33	.00	.00	.09	.0@	.22	23146.	1.00	.041
49.	4108.	.10	.39	.35	.75	.34	.00	.00	.09	.00	.22	23146.	1.00	.039
50.	4112.	.10	.42	.34	1.02	.42	.00	.00	@7	.00	.22	23146.	1.00	.042

ESPESDR NETD DE PAGO 200.0 PIES
PDRDSIDAD PRDHEDID .11 FRACCION
SATURACION DE AGUA PROMEDIO .37 FRACCION

HYI = INDICE DE HIDROCRARBUROS, 0=NO INDICACION. 1=INDICACION DE HIDRDCABUROS PHESENTES

MDJ = INDICE DE YETHOLEO MOVIBLE, MENOR O IGUAL A 0.7 HIDROCARBUROS SON FLUIBLES, CASI PRODUCIBLES

SLT = SALINIDAD EN PPH

EVI = FRACCIDN DEL VDLUHEN BRUTO DE AGUA



INTERPRETACION DE REGISTROS PARA LA DETERMINACION
DE PRODUCTIVIDAD DE ZONAS PDR DIFERENTES METODOS
CONVECIDALES

ANALISIS DEL POZO 1653 FORMACION ATLANTA

VALOR CATALOGADO DE RW = .3000 75. F

NIVEL	PROF.	PDR	INTERVALO 1 ANALIZADO		4700 PIES		4856 PIES		ANCHO DEL INTERVALO		156 PIES			
			SWA	SWR	MOI	SWS	SW3	SW2	Q	CP	RW	SAL	HYI	EVF
1.	4700.	.18	.43	.37	.95	.43	.00	.00	.11	.00	.24	19788.	1.00	.077
2.	4704.	.15	.39	.31	1.05	.28	.00	.00	.20	.00	.24	19788.	1.00	.059
3.	4708.	.19	.33	.29	.46	.27	.00	.00	.16	.00	.24	19788.	1.00	.063
4.	4712.	.13	.35	.26	1.17	.17	.00	.00	.26	.00	.24	19788.	1.00	.045
5.	4716.	.16	.33	.23	1.19	.11	.00	.00	.48	.00	.24	19768.	1.00	.052
b.	4726,	.16	.34	.26	1.09	.20	.00	.00	.26	.00	.24	19788.	1.00	.054
7.	4724.	.16	.39	.31	1.09	.41	.00	.00	.08	.00	.24	19788.	1.00	.063
8.	4728.	.24	.30	.23	.91	.24	.00	.00	.16	.00	.24	19788.	1.00	.071
9.	4732.	.32	.32	.19	1.90	.18	.00	.00	.48	.00	.24	19788.	1.00	.101
10.	4736.	.14	.35	.29	,94	.26	.00	.00	.16	.00	.24	19788.	1.00	.049
11.	4740.	.12	.41	.31	1.26	.30	.00	.00	.16	.00	.24	19788.	1.00	.050
12.	4744.	.14	.42	.31	1.43	.37	.00	.00	.14	.00	.24	19788.	1.00	.059
13.	4748.	.12	.40	.32	1.05	.53	.00	.00	.01	.00	.24	19788.	1.00	.048
14.	4752.	.17	.36	.28	1.05	.40	.00	.00	.04	.00	.24	19788.	1.00	.061
15.	4756.	.14	.33	.24	1.23	.34	.00	.00	.07	.00	.24	19788.	1.00	.047
16.	4760.	.14	.33	.25	1.13	.32	.00	.00	.08	.00	.24	19788.	1.00	.046
17.	4764.	.13	.35	.28	.94	.40	.00	.00	.04	.00	.24	19788.	1.00	.045
18.	4768.	.14	.36	.30	.85	.32	.00	.00	.11	.00	.24	19788.	1.00	.050
19.	4772.	.13	.42	.29	1.55	.50	.00	.00	.04	.00	.24	19788.	1.00	.054

20.	4776.	.14	.39	.28	1.45	.42	.00	.00	.07	.00	.24	19788.	1.00	.055
21.	4780.	.16	.33	.25	1.05	.19	.00	.00	.26	.00	.24	19780.	1.00	.053
22.	4784.	.15	.41	.30	1.24	.29	.00	.00	.20	.00	.24	19783.	1.00	.061
23.	4788.	.13	.42	.31	1.35	.33	.00	.00	.16	.00	.24	19788.	1.00	.054
24.	4792.	.13	.39	.28	1.26	.21	.00	.00	.26	.00	.24	19788.	1.00	.050
25.	4796.	.13	.44	.33	1.32	.37	..	.00	.14	.00	.24	19788.	1.00	.057
26.	4800.	.11	.52	.40	1.33	.69	.00	.00	.02	.00	.24	19788.	1.00	.057
27.	4804.	.13	.40	.34	.93	.47	.00	.00	.04	.00	.24	19788.	1.00	.052
28.	4808.	.14	.38	.30	1.01	.38	.00	.00	.08	.00	.24	19788.	1.00	.053
29.	4812.	.14	.41	.32	1.10	.39	.00	.00	.11	.00	.24	39788.	1.00	.057
30.	4816.	.15	.40	.31	1.12	.35	.00	.00	.14	.00	.24	19788.	1.00	.060
31.	4820.	.13	.42	.31	1.40	.40	.00	.00	.11	.00	.24	19788.	1.00	.055
32.	4824.	.15	.40	.30	1.22	.38	.00	.00	.11	.00	.24	19788.	1.00	.060
33.	4828.	.12	.41	.34	.98	.38	.00	.00	.11	.00	.24	19789.	1.00	.050
34.	4832.	.15	.43	.32	1.40	.48	.00	.00	.07	.00	.24	19788.	1.00	.065
35.	4836.	.16	.35	.31	.77	.40	.00	.00	.04	.00	.24	19788.	1.00	.057
36.	4840.	.15	.40	.27	1.70	.47	.00	.00	.04	.00	.24	19788.	1.00	.061
37.	4044.	.13	137	.27	1.24	.39	.00	.00	.07	.00	.24	19788.	1.00	.048
38.	484%	.19	.27	.19	1.02	.21	.00	.00	.14	.00	.24	19788.	1.00	.051
39.	4852.	.22	.22	.20	.57	.20	.00	.00	.08	.00	.24	19788.	1.00	.049
40.	4856.	.17	.43	.33	1.24	.52	.00	.00	.02	.00	.24	19788.	1.00	.074

ESPESDR NETO DE PAGO 76.0 PIES

POROSIDAD PROMEDIO .18 FRACCION

SATURACION DE AGUA PRUEBIDO .36 FRACCION

VALOR CATALOGADO DE RW = .2600 75. F

INJERYA/LD 2 ANALIZADO 4860 PIES - 5056 PIES ANCHO DEL INTERVALO 196 PIES

NIVEL	PROF,	PDR	SWA	SWR	HDI	SWS	SW3	SW2	Q	CP	RW	SAL	HYI	EVF
-------	-------	-----	-----	-----	-----	-----	-----	-----	---	----	----	-----	-----	-----

1.	4860.	.16	.31	.27	.71	.38	.00	.00	.01	.00	.21	23146.	1.00	.050
2.	4864.	.13	.31	.28	.66	.31	.00	.00	.07	.00	.21	23146.	1.00	.041
3.	4868.	.19	.31	.22	1.12	.28	.00	.00	.11	.00	.21	23146.	1.00	.058
4.	4872.	.11	.30	.24	.90	.26	.00	.00	.08	.00	.21	23146.	1.00	.033
5.	4876.	.13	.26	.19	.89	.19	.00	.00	.11	.00	.21	23146.	1.00	.033
6.	4888.	.13	.29	.21	1.08	.28	.00	.00	.07	.00	.21	23146.	1.00	.038
7.	4884.	.12	.30	.22	1.07	.33	.00	.00	.04	.00	.21	23146.	1.00	.036
8.	4888.	.12	.27	.21	.96	.25	.00	.00	.07	.00	.21	23146.	1.00	.033
9.	4892.	.12	.25	.20	.78	.26	.00	.00	.04	.00	.21	23146.	1.00	.030
10.	4896.	.10	.30	.25	.75	.24	.00	.00	.08	.00	.21	23146.	1.00	.030
11.	4900.	.09	.28	.20	1.08	.21	.00	.00	.08	.00	.21	23146.	1.00	.025
12.	4904.	.09	.28	.20	1.05	.28	.00	.00	.04	.00	.21	23146.	1.00	.025
13.	4908.	.10	.30	.21	1.25	.25	.00	.00	.08	.00	.21	23146.	1.00	.030
14.	4912.	.13	.27	.24	.65	.21	.00	.00	.11	.00	.21	23146.	1.00	.035
15.	4916.	.14	.25	.18	1.05	.09	.00	.00	.29	.00	.21	23146.	1.00	.035
16.	4920.	.18	.24	.17	.94	.12	.00	.00	.26	.00	.21	23146.	1.00	.043
17.	4924.	.12	.32	.22	1.27	.30	.00	.00	.08	.00	.21	23146.	1.00	.039
18.	4928.	.12	.26	.19	1.02	.18	.00	.00	.11	.00	.21	23146.	1.00	.031
19.	4932.	.13	.24	.17	1.00	.20	.00	.00	.08	.00	.21	23146.	1.00	.031
20.	4936.	.13	.24	.21	.58	.20	.00	.00	.08	.00	.21	23146.	1.00	.031
21.	4940.	.13	.24	.16	1.12	.10	.00	.00	.20	.00	.21	23146.	1.00	.031
22.	4944.	.13	.25	.17	1.03	.15	.00	.00	.14	.00	.21	23146.	1.00	.032
23.	4940.	.12	.24	.17	1.00	.13	.00	.00	.14	.00	.21	23146.	1.00	.029
24.	4952.	.12	.28	.19	1.13	.26	.00	.00	.07	.00	.21	23146.	1.00	.033
25.	4956.	.09	.27	.20	.94	.19	.00	.00	.08	.00	.21	23146.	1.00	.024
26.	4960.	.11	.27	.19	1.08	.13	.00	.00	.16	.00	.21	23146.	1.00	.029
27.	4964.	.11	.24	.17	.97	.10	.00	.00	.16	.00	.21	23146.	1.00	.026

28.	4968.	.12	.22	.16	.94	.14	.00	.00	.11	.00	.21	23146.	1.00	.026
29.	4972.	.10	.29	.21	1.05	.24	.00	.00	.08	.00	.21	23146.	1.00	.029
30.	4976.	.09	.26	.20	.82	.25	.00	.00	.04	.00	.21	23146.	1.00	.023
31.	4980.	.13	.22	.16	1.01	.20	.00	.00	.07	.00	.21	23146.	1.00	.029
32.	4904.	.112	.23	.17	.98	.15	.00	.00	.11	.00	.21	23146.	1.00	.028
33.	4988.	.12	.22	.18	.65	.17	.00	.00	.08	.00	.21	23146.	1.00	.026
34.	4992.	.10	.31	.24	.94	.25	.00	.00	.08	.00	.21	23146.	1.00	.031
35.	4996.	.110	.29	.21	1.04	.15	.00	.00	.14	.00	.21	23146.	1.00	.029
36.	5000.	.11	.23	.18	.82	.23	.00	.00	.04	.00	.21	23146.	1.00	.026
37.	5004.	.10	.31	.23	1.11	.26	.00	.00	.08	.00	.21	23146.	1.00	.031
38.	5008.	.11	.26	.19	.91	.20	.00	.00	.08	.00	.21	23146.	1.00	.028
39.	5012.	.12	.32	.22	1.34	.29	.00	.00	.08	.00	.21	23146.	1.00	.038
40.	5016.	.12	.21	.18	.63	.18	.00	.00	.07	.00	.21	23146.	1.00	.026
41.	5020.	.12	.22	.20	.52	.17	.00	.00	.08	.00	.21	23146.	1.00	.026
42.	5024.	.14	.127	.21	.89	.22	.00	.00	.11	.00	.21	23146.	1.00	.038
43.	5028.	.12	.26	.24	.60	.19	.00	.00	.11	.00	.21	23146.	1.00	.032
44.	5032.	.12	.30	.23	.99	.23	.00	.00	.11	.00	.21	23146.	1.00	.036
45.	5036.	.12	.23	.17	.84	.20	.00	.00	.07	.00	.21	23146.	1.00	.028
46.	5040.	.12	.26	.18	1.09	.22	.00	.00	.08	.00	.20	23146.	1.00	.031
47.	5044.	.12	.22	.16	.90	.10	.00	.00	.16	.00	.20	23146.	1.00	.026
48.	5048.	.13	.19	.16	.58	.10	.00	.00	.14	.00	.20	23146.	1.00	.025
49.	5052.	.13	.21	.16	.71	.13	.00	.00	.11	.00	.20	23146.	1.00	.027
50.	5056.	.11	.24	.17	.96	.12	.00	.00	.14	.00	.20	23146.	1.00	.026
51.	5060.	.10	.22	.19	.64	.07	.00	.00	.20	.00	.20	13146.	1.00	.022
52.	5064.	.11	.23	.18	.73	.11	.00	.00	.14	.00	.20	23146.	1.00	.025
53.	5068.	.15	.19	.17	.43	.06	.00	.00	.26	.00	.20	23146.	1.00	.028
54.	5072.	.15	.24	.17	1.00	.14	.00	.00	.16	.00	.20	23146.	1.00	.035
55.	5076.	.11	.48	.37	1.29	.51	.00	.00	.08	.00	.20	23146.	1.00	.052

56.	5080.	.13	.21	.18	.65	.18	.00	.00	.07	.00	.20	23146.	1.00	.028
57.	5084.	.11	.26	.19	.97	.23	.00	.00	.07	.00	.20	23146.	1.00	.029
58.	5088.	.13	.20	.15	.86	.23	.00	.00	.02	.00	.20	23146.	1.00	.026
59.	5092.	.12	.23	.16	1.07	.29	.00	.00	.01	.00	.20	23146.	1.00	.028
60.	5096.	.12	.24	.16	1.13	.28	.00	.00	.02	.00	.20	23146.	1.00	.028
61.	5100.	.12	.23	.16	1.10	.20	.00	.00	.07	.00	.20	23146.	1.00	.028
62.	5104.	.12	.24	.17	1.10	.25	.00	.00	.04	.00	.20	23146.	1.00	.029
63.	5108.	.10	.25	.18	1.01	.26	.00	.00	.04	.00	.20	23146.	1.00	.025
64.	5112.	.15	.19	.13	.97	.10	.00	.00	.16	.00	.20	23146.	1.00	.029
65.	5116.	.20	.20	.13	1.05	.06	.00	.00	.43	.00	.20	23146.	1.00	.040
66.	5120.	.13	.29	.20	1.19	.18	.00	.00	.16	.00	.20	23146.	1.00	.038
67.	5124.	.13	.20	.15	.87	.09	.00	.00	.16	.00	.20	23146.	1.00	.026
68.	5128.	.12	.23	.16	1.10	.11	.00	.00	.16	.00	.20	23146.	1.00	.028
69.	5132.	.12	.22	.16	.97	.07	.00	.00	.26	.00	.20	23146.	1.00	.027
70.	5136.	.11	.22	.17	.73	.07	.00	.00	.20	.00	.20	23146.	1.00	.024
71.	5140.	.18	.16	.12	.68	.05	.00	.00	.29	.00	.20	23146.	1.00	.028
72.	5144.	.12	.27	.20	1.00	.12	.00	.00	.20	.00	.20	23146.	1.00	.033
73.	5148.	.11	.24	.17	1.04	.15	.00	.00	.11	.00	.20	23146.	1.00	.027
74.	5152.	.09	.28	.20	1.04	.11	.00	.00	.16	.00	.20	23146.	1.00	.025
75.	5156.	.10	.27	.18	1.13	.10	.00	.00	.20	.00	.20	23146.	1.00	.027
76.	5160.	.09	.28	.20	1.07	.12	.00	.00	.16	.00	.20	23146.	1.00	.025
77.	5164.	.11	.23	.17	.88	.10	.00	.00	.16	.00	.20	23146.	1.00	.025
78.	5168.	.10	.27	.18	1.13	.13	.00	.00	.14	.00	.20	23146.	1.00	.027
79.	5172.	.12	.23	.16	1.07	.12	.00	.00	.14	.00	.20	23146.	1.00	.028
80.	5176.	.12	.24	.1b	1.13	.13	.00	.00	.14	.00	.20	23146.	1.00	.028
81.	5180.	.12	.22	.16	.97	.11	.00	.00	.14	.00	.20	23146.	1.00	.027
82.	5184.	.12	.23	.16	1.04	.15	.00	.00	.11	.00	.20	23146.	1.00	.027

83. 5188. .13 .23 .15 1.16 .13 .00 .00 .14 .00 .20 23146. 1.00 .029

84. 5192. .11 .24 .18 1.00 .15 .00 .00 .11 .00 .20 23146. 1.00 .027

ESPESDR NEJD DE PAGO 220.0 PIJES

PORDOSIDAD PROMEDIO .13 FRACCION

SATURACION DE AGUA PROMEDIO .24 FROCCIUN

HYI = INDICE DE HIDROCARBUROS, 0=NO INDICACION. 1=INDICACION DE HIDROCARBUROS PRESENTES

MOI = INDICE DE PETRROLEO MOVIBLE, MENOR O IGUAL A 0.7 HIDROCARBUROS SON FLUIBLES, CASI PRODUCIBLES

SLT = SALINIDAD EN PPH

BVI = FRACCION DEL VOLUMEN BRUTO DE AGUA



BIBLIOTECA

INTERPRETACION DE REGISTROS PARA LA DETERMINACION
DE PRODUCTIVIDAD DE ZONAS PDR DIFERENTES METODOS
CONVECTIVALES



ANALISIS DEL POZO 16BB FORM. ATLANTA

BIBLIOTECA

VALOR CATALOGADO DE RW = ,3000 75. F

INTERVALO 1 ANALIZADO 4938 PIES - 5050 PIES												ANCHO DEL INTERVALO 112 PIES		
NIVEL	PROF.	PDR	SWA	SWR	MDI	SWS	SN3	SW2	O	CP	RW	SAL	HYI	BVF
1.	4930.	.06	.73	.64	1.19	.91	.00	.00	.05	.00	.25	19708.	.00	.044
2.	4942.	.06	.68	.64	.96	.60	.00	.00	.09	.00	.25	19788.	.00	.041
3.	4946.	.06	.74	.72	.96	.70	.00	.00	.09	.00	.25	19788.	.00	.045
4.	4950.	.07	.70	.65	1.04	.70	.00	.00	.09	.00	.25	19788.	.00	.049
5.	4954.	.07	.81	.72	1.24	.80	.00	.00	.11	.00	.25	19788.	.00	.057
b.	4958.	.07	.63	.58	.99	.63	.00	.00	.08	.00	.25	19788.	.00	.044
7.	4962.	.14	.45	.36	1.06	.42	.00	.00	.12	.00	.25	19788.	1.00	.063
8.	4966.	.07	.91	.80	1.38	.55	.00	.00	.25	.00	.25	19708.	.00	.063
9.	4970.	.15	.49	.42	.97	.48	.00	.00	.12	.00	.25	19788.	1.00	.073
10.	4974.	.07	.88	.78	1.34	.66	.00	.00	.19	.00	.25	19788.	.00	.062
11.	4978.	.17	.35	.31	.77	.19	.00	.00	.31	.00	.25	19788.	1.00	.059
12.	4982.	.07	.74	.70	1.01	.31	.00	.00	.31	.00	.25	19708.	.00	.052
13.	4986.	.07	.85	.80	1.12	.63	.00	.00	.19	.00	.25	19788.	.00	.060
14.	4990.	.08	.45	.49	.68	.31	.00	.00	.12	.00	.25	19788.	1.00	.036
15.	4994.	.08	.57	.53	.88	.38	.00	.00	.16	@ 26	19788.	1.00	.045	
16.	4998.	.15	.41	.35	.91	.38	.00	.00	.12	.00	.25	19708.	1.00	.062
17.	5002.	.11	.53	.50	.82	.55	.00	.00	.09	.00	.25	19788.	1.00	.058
18.	5006.	.16	.39	.36	.72	.35	.00	.00	.12	.00	.25	19788.	1.00	.062
19.	5010.	.16	.43	.46	.64	.21	.00	.00	.43	.00	.25	19788.	1.00	.069

20.	5016.	.13	.63	.58	.99	.48	.00	.00	.27	.00	.25	19788.	.00	.082
21.	5020.	.07	.92	.86	1.15	.56	.00	.00	.25	.00	.25	19788.	.00	.064
22.	5024.	.09	.49	.42	.99	.52	.00	.00	.07	.00	.25	19788.	1.00	.044
23.	5026.	.08	.58	.54	.90	.47	.00	.00	.12	.00	.24	19788.	.00	.046
24.	5030.	.08	.59	.55	.89	.60	.00	.00	.08	.00	.24	19788.	.00	.047
25.	5034.	.09	.54	.50	.89	.51	.00	.00	.10	.00	.24	19788.	1.00	.049
26.	5038.	.09	.49	.45	.87	.49	.00	.00	.08	.00	.24	19788.	1.00	.045
27.	5042.	.11	.50	.43	.99	.36	.00	.00	.19	.00	.24	19788.	1.00	.055
28.	5046.	.11	.42	.36	.92	.22	.00	.00	.23	.00	.24	19788.	1.00	.046
29.	5050.	.12	.47	.40	.96	.37	.00	.00	.16	.00	.24	19788.	1.00	.056

ESPEZOR NETD DE PA60 44.0 PIES

POROSIDAD PROMEDIO .14 FRACCION

SATURACION DE AGUA PROMEDIO .46 FRACCION

VALOR CATALOGADO DE RW = .2600 75, F



BIBLIOTECA

NIVEL	PROF.	INTERVALO 2 ANALIZADO		5054 PIES - 5286 PIES				ANCHD DEL INTERVALO!	232 PIES					
		PDH	SWA	SWR	MOI	SWS	SW3	SW2	R	CP	RW	SAL	HYI	BYF
1.	5054.	.09	.56	.49	.99	.53	.00	.00	.10	.00	.21	23146.	1.00	.050
2.	5058.	.10	.45	.42	.75	.38	.00	.00	.11	.00	.21	23146.	1.00	.045
3.	5062.	.10	.37	.34	.72	.26	.00	.00	.12	.00	.21	23146.	1.00	.037
4.	5066.	.10	.40	.33	1.01	.36	.00	.00	.09	.00	.21	23146.	1.00	.040
5.	5070.	.08	.42	.37	.83	.33	.00	.00	.09	.00	.21	23146.	1.00	.034
6.	5074.	.08	.45	.38	.99	.33	.00	.00	.11	.00	.21	23146.	1.00	.036
7.	5078.	.07	.47	.40	1.00	.31	.00	.00	.11	.00	.21	23146.	1.00	.033
8.	5082.	.08	.43	.37	.89	.28	.00	.00	.12	.00	.21	23146.	1.00	.034
9.	5086.	.13	.40	.32	1.01	.19	.00	.00	.31	.00	.21	23146.	1.00	.052
10.	5090.	.10	.36	.29	1.01	.21	.00	.00	.16	.00	.21	23146.	1.00	.036
11.	5094.	.10	.61	.54	1.05	.45	.00	.00	.20	.00	.21	23146.	.00	.061

12.	5098.	.10	.41	.36	.79	.26	.00	.00	.16	.00	.21	Z3146.	1.00	.041	
1	5102.	.14	.31	.26	.0	.0	0	0	.12	.00	.21	Z3146.	1.00	.043	
14	5106.	.18	.0	.54	.0	.4	0	0	.0	.00	.21	Z3146.	0.00	.078	
15.	5110.	.12	.9	.3	.9	.14	.00	0	.3E	.00	.21	Z3146.	1.0	.047	
16.	5114.	.14	.0	.8	1.9	.2	0	0	.38	.00	.21	Z3146.	1.00	.070	
17	511E	.10	.4E	.3	1.22	.19	0	.00	.33	.00	.21	Z3146.	1.00	.0E	
18.	5122.	.09	.30	.25	.81	.14	.00	.00	.15	.00	.21	Z3146.	1.00	.027	
19	5126.	0	.31	.7	.0E	.15	0	.00	.15	.00	.21	Z3146.	0.00	.028	
20.	5130.	.09	.39	.31	1.02	.15	.00	.00	.25	.00	.21	Z3146.	1.00	.035	
21	5134	0	1	.3	.93	.21	.00	.00	.13	0	.21	Z3146.	1.00	.029	
22.	5138.	.08	.42	.35	.92	.27	.00	.00	.12	.00	.21	Z3146.	1.00	.034	
23.	5142.	.08	4	.38	.86	.2	0	00	.13	00	Z1	Z3146.	1.00	.035	
24.	5146.	0	E	0	0	.9	.32	0	0	.13	0	Z1	Z3146.	1.00	.0E
25.	5150.	.07	E0	0	.05	.8	.00	0	4	0	.21	Z3146.	1.00	.035	
26.	5154.	.05	.65	.55	.2	.05	0	0	0	.00	.21	Z3146.	0.00	.02	
27.	5158.	.06	.42	.39	.57	.42	0	.00	0	.00	Z1	Z3146.	1.00	.05	
28.	516	0	5	0	6	0	.00	0	0	.00	.21	Z3146.	1.0	.03	
29.	5166.	0	9	3	.98	.01	0	00	0	0	.21	Z3146.	0.00	.05	
30.	5173	0	9	0	0	0	0	00	0	00	.21	Z3146.	1.0	.031	
31.	51D4.	.00	6	.63	.3	.5	.00	0	.03	.00	Z1	Z3146.	0	.033	
32.	51D8.	0	0	44	.92	.9	0	0	.04	0	.21	Z3146.	1.00	.030	
33.	51E2.	.00	.48	.43	0	.66	0	00	0	00	.21	Z3146.	1.00	.024	
34.	51E6.	0	5	0	.92	0	0	0	.09	00	.21	Z3146.	1.0	.032	
35.	5190.	.06	.45	.43	6	.32	.9	0	0	.00	.21	Z3146.	1.00	.027	
36.	5194	0	43	.36	.9	.2	0	0	0	.12	.00	Z1	Z3146.	1.00	.035
37.	5198.	.08	.37	.32	.80	2	0	0	0	.00	.21	Z3146.	1.0	.030	
38.	5Z0Z	.00	.49	.44	0	0	0	0	.08	0	.21	Z3146.	1.00	.024	

39.	5206.	.05	.48	.45	.77	.27	.00	.00	.09	.00	.21	23146.	1.00	.024
40.	5210,	.06	.40	.36	.76	.28	.00	.00	.07	.00	.21	23146.	1.00	.024
41.	5214.	.06	.45	.40	.90	.23	.00	.00	.12	.00	.21	23146.	1.00	.027
42.	5219.	.06	.42	.37	.82	.23	.00	.00	.10	.00	.21	23146.	1.00	.025
43.	5222.	.07	.39	.34	.80	.17	.00	.00	.15	.00	.21	23146.	1.00	.027
44.	5226.	.07	.45	.39	.89	.17	.00	.00	.20	.00	.21	23146.	1.00	.031
45.	5230.	.07	.41	.36	.85	.14	.00	.00	.20	.00	.21	23146.	1.00	.029
46.	5234.	.08	.42	.35	.95	.18	.00	.00	.20	.00	.21	23146.	1.00	.034
47.	5238.	.08	.60	.50	1.18	.31	.00	.00	.23	.00	.21	23146.	.00	.048
48.	5242.	.07	.50	.48	.74	.28	.00	.00	.15	.00	.21	23146.	1.00	.035
49.	5246.	.06	.64	.57	1.06	.36	.00	.00	.16	.00	.21	23146.	.00	.039
50.	5250.	.07	.49	.42	.99	.28	.00	.00	.15	.00	.21	23146.	1.00	.035
51.	5254.	.07	.46	.42	.76	.26	.00	.00	.13	.00	.21	23146.	1.00	.032
52.	5258.	.07	.47	.46	.71	.34	.00	.00	.10	.00	.21	23146.	1.00	.033
53.	5262.	.10	.36	.29	.92	.28	.00	.00	.10	.00	.21	23146.	1.00	.036
54.	5266.	.13	.43	.33	1.16	.14	.00	.00	.52	.00	.21	23146.	1.00	.056
55.	5270.	.07	.47	.43	.84	.21	.00	.00	.19	.00	.21	23146.	1.00	.033
56.	5274,	.0b	.61	.53	1.06	.57	.00	.00	.07	.00	.21	23146.	.00	.036
57.	5279.	.07	.41	.36	.81	.31	.00	.00	.08	.00	.21	23146.	1.00	.029
58.	5282,	.09	.45	.43	.72	.34	.00	.00	.12	.00	.21	23146.	1.00	.041
59.	5286.	.08	.46	.43	.74	.26	.00	.00	.16	.00	.21	23146.	1.00	.036

ESPESOR NETO DE PAGO 116.0 PIES

POROSIDAD PROMEDIO .10 FRACCION

SATURACION DE AGUA PROMEDIO .43 FRAECTION

VALOR CATALOGADO DE RW = .2600 75, F



BIBLIOTECA

INTERVALO	3	ANALIZADO	5290 PIES	-		5370 PIES	ANCHO DEL INTERVALO	80 PIES						
NIVEL	PROF.	PDR	SWA	SWR	MDI	SWS	SW3	SW2	Q	CP	RW	SAL	HYI	BVF

1.	5290.	.10	.45	.43	.67	.20	.00	.00	.27	.00	.21	13146.	1.00	,045
2.	5254.	.07	.55	.59	.76	.47	.00	.00	.09	.00	.21	23146.	1.00	,039
3.	5298.	.07	.56	.54	.78	.39	.00	.00	.12	.00	.21	23146.	1.00	,039
4.	5302.	.10	.46	.44	.69	.49	.00	.00	.07	.00	.21	23146.	1.00	,046
5.	5306.	.07	.60	.56	.89	.60	.00	.00	.07	.00	.21	23146.	.00	.042
6.	5310.	.07	.60	.63	.78	.54	.00	.00	.09	.00	.21	23146.	.00	,042
7.	5314.	.07	.57	.52	.91	.41	.00	.00	.12	.00	.21	23146.	1.00	,040
8.	5318.	.15	.38	.33	.51	.21	.00	.00	.29	.00	.21	23146.	1.00	,058
9.	5322.	.14	.45	.40	.84	.23	.00	.00	.35	.00	.21	23146.	1.00	,063
10.	5326.	.08	.51	.47	.82	.42	.00	.00	.10	.00	.21	23146.	1.00	,040
11.	5330.	.06	.67	.70	.84	.45	.00	.00	.13	.00	.21	23146.	.00	.040
12.	5334.	.09	.50	.53	.70	.40	.00	.00	.12	.00	.21	23146.	1.00	,045
13.	5338.	.07	.64	.57	1.02	.54	.00	.00	.11	.00	.21	23146.	.00	,045
14.	5342.	.08	.58	.57	.80	.53	.00	.00	.10	.00	.21	23146.	.00	,047.
15.	5346.	.10	.53	.44	1.09	.53	.00	.00	.09	.00	.21	23146.	1.00	,053
16.	5350.	.08	.52	.48	.83	.52	.00	.00	.07	.00	.21	23146.	1.00	.041
17.	5354.	.18	.46	.38	1.03	.21	.00	.00	.55	.00	.21	23146.	1.00	.083
18.	5358.	.08	.52	.49	.80	.32	.00	.00	.16	.00	.21	23146.	1.00	,041
19.	5362.	.15	.37	.31	.50	.18	.00	.00	.33	.00	.21	23146.	1.00	.056
20.	5366.	.15	.42	.35	.94	.27	.00	.00	.27	.00	.21	23146.	1.00	,063
21.	5370.	.18	.47	.41	.92	.00	.00	.00	1.00	.00	.21	23146.	1.00	,085

ESPESOR NETO DE PAGO 28.0 PIES

POROSIDAD PROMEDIO .13 FRACCION

SATURACION DE AGUA PRD WEDID .44 FRACCION

VALOR CATALOGADO DE RW = .2600 75. F

NIVEL	PRDF.	INTERVALO 4 ANALIZADO				5370 PIES - 5430 PIES				ANCHO DEL INTERVALO				60 PIES	
		PDR	SWA	SWR	MOI	SWS	SW3	SW2	Q	CP	RW	SAL	HYI	BVF	

1.	5374.	.06	.69	.60	1.12	.35	.00	.00	.19	.00	.21	23146.	.00	.041
2.	5378.	.10	.54	.51	.78	.35	.00	.00	.20	.00	.21	23146.	1.00	.054
3.	5382.	.08	.45	.39	.90	.58	.00	.00	.03	.00	.21	23146.	1.00	.036
4.	5386.	.08	.41	.40	.65	.42	.00	.00	.06	.00	.21	23146.	1.00	.033
5.	5390.	.08	.41	.34	.91	.25	.00	.00	.12	.00	.21	23146.	1.00	.032
6.	5394.	.06	.46	.42	.78	.21	.00	.00	.13	.00	.21	23146.	1.00	.027
7.	5398.	.07	.56	.49	1.02	.40	.00	.00	.12	.00	.21	23146.	1.00	.039
8.	5402.	.06	.58	.51	1.01	.56	.00	.00	.07	.00	.21	23146.	.00	.035
9.	5406.	.06	.55	.48	1.04	.31	.00	.00	.13	.00	.21	23145.	1.00	.033
10.	5410.	.07	.50	.41	1.11	.25	.00	.00	.17	.00	.21	23146.	1.00	.035
11.	5434.	.06	.52	.45	1.00	.17	.00	.00	.23	.00	.21	23146.	1.00	.031
12.	5418.	.07	.41	.36	.81	.14	.00	.00	.20	.00	.21	23146.	1.00	.029
13.	5422.	.07	.48	.42	.91	.21	.00	.00	.19	.00	.21	23146.	1.00	.034
14.	5426.	.06	.58	.49	1.13	.37	.00	.00	.12	.00	.21	23146.	.00	.035
15.	5430.	.06	.49	.42	.95	.26	.00	.00	.12	.00	.21	23146.	1.00	.029

ESPESDR NETO DE PAGO 32.0 PIES

PORDSIDAD PRDMEDIO .08 FRACCION

SATURACION DE AGUA PROMEDIO .47 FRACCIDN



BIBLIOTECA

HYI = INDICE DE HIDROCARBUROS, 0=NO INDICACION. 1=INDICACION DE HIDROCARBUROS PRESENTES

MDI = INDICE DE PETROLEO MOVIBLE, MENOR D IGUAL A 0.7 HIDRDCARBUDS SDN FLUIBLES, CASI PRDDUCIBLES

SLT = SALINIDAD EN PPM

BVI = FRACCIDN DEL VOLUMEN BRUTO DE AGUA

**INTERPRETACION DE REGISTROS PARA LA DETERMINACION
 DE PRODUCTIVIDAD DE ZONAS POR DIFERENTES METODOS
 CONVECCIONALES**

ANALISIS DEL POZO 1689 FORM. ATLANTA

VALOR CATALOGADO DE RW = .3000 75. F

NIVEL	PROF,	INTERVALO 1 ANALIZADO		3610 PIES		3698 PIES		ANCHO DEL INTERVALO		88 PIES				
		PDR	SWA	SWR	MDI	SWS	SWB	SW2	Q	CP	RW	SAL	HYJ	BYF
1.	3610.	.13	.61	.45	1.79	.66	.00	.00	.10	.00	.25	19788.	.00	.079
2.	3614.	.09	.58	.56	.82	.76	.00	.00	.04	.00	.25	19788.	1.00	.052
3.	3618.	.07	.65	.57	1.12	.83	.00	.00	.05	.00	.25	19788.	.00	.045
4.	3622.	.12	.47	.36	1.33	.52	.00	.00	.07	.00	.25	19788.	1.00	.057
5.	3626.	.10	.57	.48	1.12	.69	.00	.00	.05	.00	.25	19788.	1.00	.057
6.	3630.	.10	.59	.52	1.03	.70	.00	.00	.06	.00	.25	19788.	.00	.059
7.	3634.	.13	.40	.33	.99	.45	.00	.00	.05	.00	.25	19788.	1.00	.052
8.	3638.	.10	.57	.54	.86	.74	.00	.00	.04	.00	.25	19788.	1.00	.057
9.	3642.	.11	.41	.32	1.12	.42	.00	.00	.07	.00	.25	19788.	1.00	.045
10.	3646.	.10	.37	.34	.72	.42	.00	.00	.05	.00	.25	19788.	1.00	.037
11.	3650.	.10	.38	.35	.74	.41	.00	.00	.05	.00	.25	19788.	1.00	.038
12.	3654.	.10	.47	.37	1.22	.55	.00	.00	.05	.00	.25	19788.	1.00	.047
13.	3658.	.12	.32	.27	.79	.34	.00	.00	.05	.00	.25	14788.	1.00	.038
14.	3662.	.11	.37	.21	.38	.31	.00	.00	.10	.00	.25	19788.	1.00	.041
15.	3666.	.12	.39	.32	1.01	.33	.00	.00	.12	.00	.25	19788.	1.00	.047
16.	3670.	.12	.44	.38	.96	.44	.00	.00	.09	.00	.25	19788.	1.00	.053
17.	3674.	.09	.49	.43	.96	.52	.00	.00	.07	.00	.25	19788.	1.00	.044
18.	3678.	.11	.41	.34	1.02	.42	.00	.00	.07	.00	.25	19788.	1.00	.045
19.	3682.	.12	.44	.36	1.10	.45	.00	.00	.08	.00	.25	19788.	1.00	.053

20.	3686.	.15	.33	.28	.84	.29	.00	.00	.12	.00	.25	19788.	1.00	.050
21.	3690.	.17	.41	.31	1.22	.31	.00	.00	.21	.00	.25	19788.	1.00	.069
22.	3694.	.24	.44	.35	1.09	.40	.00	.00	.16	.00	.25	19788.	1.00	.105
23.	3698.	.18	.39	.33	.52	.37	.00	.00	.12	.00	.25	19788.	1.00	.070

ESPESOR NETO DE PAGO 44.0 PIES

POROSIDAD PROHEDIO .15 FRACCION

SATURACION DE AGUA PROHEDIO .42 FRACCION

VALOR CATALOGADO DE RW = .2600 75. F



BIBLIOTECA

INTERVALO		ANALIZADO		4280 PIES - 4536 PIES				ANCHO DEL INTERVALO		220 PIES				
NIVEL	PROF.	PDY	SWA	SWR	MDI	SWS	SAB	SW2	Q	CP	RW	SAL	HYI	BVF
1.	4288.	.10	.51	.47	.84	.47	.00	.00	.10	.00	.21	23146.	1.00	.051
2.	4292.	.08	.68	.56	1.36	.68	.00	.00	.09	.00	.21	23146.	.00	.054
3.	4296.	.07	.54	.40	1.57	.49	.00	.00	.07	.00	.21	23146.	1.00	.038
4.	4300.	.08	.48	.39	1.09	.53	.00	.00	.05	.00	.21	23146.	1.00	.038
5.	4304.	.11	.37	.30	.98	.42	.00	.00	.05	.00	.21	23146.	1.00	.041
6.	4308.	.09	.39	.34	.87	.41	.00	.00	.05	.00	.21	23146.	1.00	.035
7.	4312.	.07	.52	.42	1.24	.50	.00	.00	.07	.00	.21	23146.	1.00	.037
8.	4316.	.08	.46	.36	1.25	.51	.00	.00	.05	.00	.21	23146.	1.00	.037
9.	4320.	.06	.44	.38	.87	.40	.00	.00	.05	.00	.21	23146.	1.00	.026
10.	4324.	.05	.52	.44	1.08	.43	.00	.00	.06	.00	.21	23146.	1.00	.026
11.	4328.	.05	.52	.45	1.01	.38	.00	.00	.07	.00	.21	23146.	1.00	.026
12.	4332.	.07	.43	.32	1.24	.53	.00	.00	.03	.00	.21	23146.	1.00	.030
13.	4336.	.07	.41	.34	.94	.30	.00	.00	.08	.00	.21	23146.	1.00	.028
14.	4340.	.12	.28	.22	.96	.14	.00	.00	.19	.00	.21	23146.	1.00	.034
15.	4344.	.09	.42	.29	.47	.42	.00	.00	.06	.00	.21	23146.	1.00	.037
16.	4348.	.08	.41	.35	.90	.31	.00	.00	.09	.00	.21	23146.	1.00	.032
17.	4352.	.06	.53	.47	.95	.38	.00	.00	.09	.00	.21	23146.	1.00	.032

18.	4356.	.07	.50	.44	.92	.29	.00	.00	.14	.00	.21	23146.	1.00	.035
19.	4360.	.10	.37	.29	1.03	.28	.00	.00	.10	.00	.21	23146.	1.00	.037
20.	4364.	.08	.47	.46	.65	.58	.00	.00	.04	.00	.21	23146.	1.00	.037
21.	4368.	.10	.40	.31	1.15	.42	.09	.00	.06	.00	.21	23146.	1.00	.040
22.	4372.	.14	.30	.21	1.17	.28	.00	.00	.08	.00	.21	23146.	1.00	.042
23.	4376.	.15	.32	.32	.50	.26	.00	.00	.13	.00	.21	23146.	1.00	.048
24.	4380.	.14	.37	.31	.85	.31	.00	.00	.13	.00	.21	23146.	1.00	.051
25.	4384.	.08	.69	.59	1.27	.77	.00	.00	.08	.00	.21	23146.	.00	.055
26.	4388.	.07	.65	.51	1.55	.71	.00	.00	.07	.00	.21	23146.	.00	.046
27.	4392.	.09	.50	.36	1.52	.57	.00	.00	.05	.00	.21	23146.	1.00	.045
28.	4396.	.14	139	.28	1.66	.40	.00	.00	.07	.00	.21	23146.	1.00	.054
29.	4400.	.13	.45	.38	.96	.54	.00	.00	.05	.00	.21	23146.	1.00	.059
30.	4404.	.07	.68	.67	.82	.80	.00	.00	.06	.00	.21	23146.	.00	.048
31.	4408.	.10	.61	.48	1.42	.78	.00	.00	.05	.00	.21	23146.	.00	.061
32.	4412.	.07	.64	.56	1.10	.81	.00	.00	.05	.00	.21	23146.	.00	.045
33.	4416.	107	.69	.60	1.16	.90	.00	.00	.05	.00	.21	23146.	.00	.048
34.	4420.	.07	.54	.44	1.18	.69	.00	.00	.04	.00	.21	23146.	1.00	.038
35.	4424.	.08	.49	.41	1.03	.48	.00	.00	.07	.00	.21	23146.	1.00	.039
36.	4428.	.05	.60	.55	.96	.55	.00	.00	.06	.00	.21	23146.	.00	.030
37.	4432.	.05	.61	.56	.99	.57	.00	.00	.06	.00	.21	23146.	.00	.031
38.	4436.	.06	.51	.43	1.02	.55	.00	.00	.05	.00	.21	23146.	1.00	.030
39.	4440.	.06	.46	.40	.91	.62	.00	.00	.02	.00	.21	23146.	1.00	.028
40.	4444.	.06	.47	.43	.84	.50	.00	.00	.05	.00	.21	23146.	1.00	.028
41.	4440.	.05	.61	.58	.91	.68	.00	.00	.05	.00	.21	23146.	.00	.031
42.	4452.	.08	.41	.32	1.10	.43	.00	.00	.05	.00	.21	23146.	1.00	.033
43.	4456.	.12	.34	.28	.82	.34	.00	.00	.06	.00	.21	23146.	1.00	.040
44.	4460.	.09	.50	.46	.87	.56	.00	.00	.06	.00	.21	23146.	1.00	.045

45.	4444,	.08	.58	.54	.89	.63	.00	.00	.07	.00	.21	23146.	.00	.046
46.	4468.	.08	.49	.41	1.05	.52	.00	.00	.06	.00	.21	23146.	1.00	.039
47.	4472,	.11	.35	.31	.72	.37	.00	.00	.05	.00	.21	23146.	1.00	.038
48.	4476,	.11	.60	.52	1.09	.72	.00	.00	.06	.00	.21	23146.	.00	.066
49.	4490.	.09	.52	.38	.57	.53	.00	.00	.08	.00	.21	23146.	1.00	.047
50.	4484.	.08	.51	.41	1.15	.40	.00	.00	.12	.00	.21	23144.	1.00	.041
51.	4499.	.06	.65	.57	1.09	.74	.00	.00	.05	.00	.21	23146.	.00	.039
52.	4492.	.07	.55	.44	1.32	.71	.00	.00	.04	.00	.21	23146.	1.00	.039
53.	4496.	.07	.44	.38	.90	.56	.00	.00	.03	.00	.21	23146.	1.00	.031
54.	4500.	.07	.53	.49	.67	.55	.00	.00	.06	.00	.21	23146.	1.00	.037
55.	4504.	.10	.42	.33	1.09	.44	.00	.00	.06	.00	.21	23146.	1.00	.042
56.	4500.	.27	.22	.16	.98	.20	.00	.00	.08	.00	.21	23146.	1.00	.060
57.	4512.	.21	.39	.36	.72	.43	.00	.00	.05	.00	.21	23146.	1.00	.083
58.	4516.	.16	.58	.53	.97	.57	.00	.00	.16	.00	.21	23146.	.00	.093

ESPESDR NETO DE PAGO 136.0 PIES

POROSIDAD PROMEDIO .11 FRACCION

SATURACION DE AGUA PROMEDIO .45 FRACCION

VALOR CATALOGADD DE RW = .2600 75. F



BIBLIOTECA

NIVEL	PROF.	INTERVALO 3 ANALIZADO			4517 PIES - 4700 PIES			ANCHO DEL JNJERYALO			183 PIES			
		PDR	SMA	SWR	MDI	SWS	SM8	SW2	G	CP	RY	SAL	HYI	BVF
1.	4517.	.17	.45	.39	.95	.54	.00	#0	.03	.00	.21	23146.	1.00	.077
2.	4520.	.14	.58	.53	.95	.71	.00	.00	.05	.00	.21	23146.	.00	.081
3.	4524.	.11	.53	.44	1.11	.58	.00	.00	.08	.00	.21	23146.	1.00	.059
4.	4528.	.08	.69	.65	.99	.58	.00	.00	.14	.00	.21	23146.	.00	.056
5.	4532.	.12	.49	.37	1.36	.41	.00	.00	.16	.00	.21	23146.	1.00	.059
6.	4536.	.09	.51	.38	1.43	.37	.00	.00	.14	.00	.21	23146.	1.00	.046
7.	4540.	.10	.56	.52	.88	.45	.00	.00	.16	.00	.21	23146.	1.00	.056

8.	4544.	.10	.47	.39	1.04	.35	.00	.00	.14	.00	.21	23146.	1.00	.047
9.	4548.	.10	.51	.42	1.12	.41	.00	.00	.14	.00	.21	23146.	1.00	.051
10.	4552.	.09	.53	.48	.93	.41	.00	.00	.14	.00	.21	23146.	1.00	.048
11	4556.	0	0	.53	1.4	.30	0	0	.19	.00	.21	23146.	0	.08
12.	4560.	.14	.42	.32	1.18	.34	.00	.00	.16	.00	.21	23146.	1.00	.059
13.	4564.	.17	.43	.31	1.42	.31	.00	.00	.25	.00	.21	23146.	1.00	.073
14.	4568.	.12	.51	.48	.80	.26	.00	.00	.34	.00	.21	23146.	1.00	.061
15.	4572.	.10	.51	.44	.99	.34	.00	.00	.19	.00	.21	23146.	1.00	.051
16.	4576.	.13	.51	.36	1.74	.35	.00	.00	.25	.00	.21	23146.	1.00	.066
17.	4580.	.13	.42	.34	.99	.17	.00	.00	.40	.00	.21	23146.	1.00	.054
18.	4584.	.12	.44	.38	.90	.25	.00	.00	.25	.00	.21	23146.	1.00	.052
19.	4588.	.12	.48	.31	2.31	.19	.00	.00	.43	.00	.21	23146.	1.00	.058
20	4592.	12	4E	.36	1.41	.19	.00	0	.48	.00	.21	23146.	1.0	.08
21.	4596.	.12	.43	.33	1.18	.24	.00	.00	.25	.00	.21	23146.	1.00	.051
22.	4600.	.14	.43	.34	1.06	.27	.00	.00	.25	.00	.21	23146.	1.00	.060
23.	4604.	.12	.49	.39	1.19	.37	.00	.00	.19	.00	.21	23146.	1.00	.059
24.	4608.	.13	.42	.35	.93	.25	.00	.00	.25	.00	.21	23146.	1.00	.054
25.	4612.	.13	.30	.32	.51	.11	.00	.00	.31	.00	.21	23146.	1.00	.039
26.	4616.	.13	.44	.37	.94	.21	.00	.00	.34	.00	.21	23146.	1.00	.057
27.	4620.	.12	.46	.35	1.20	.27	.00	.00	.25	.00	.21	23146.	1.00	.055
28.	4624.	.08	.68	.60	1.13	.38	.00	.00	.25	.00	.21	23146.	.00	.054
29	4628.	1	43	8	1.93	0	0	0	2	00	21	23146.	1.00	.040
30.	4632.	.12	.41	.32	1.14	.24	.00	.00	.23	.00	.21	23146.	1.00	.049
31	4636.	.10	.48	.39	1.14	.25	.00	.00	.25	.00	.21	23146.	1.00	.048
32.	4640.	.12	.48	.39	1.11	.30	.00	.00	.25	.00	.21	23146.	1.00	.058
33.	4644.	.15	.36	.28	1.10	.22	.00	.00	.25	.00	.21	23146.	1.00	.055
34.	4648.	.15	.41	.39	.67	.27	.00	.00	.25	.00	.21	23146.	1.00	.062
35.	4652.	.13	.45	.41	.82	.37	.00	.00	.16	.00	.21	23146.	1.00	.058

36.	4656.	.14	.42	.36	.89	.32	.00	.00	.17	.00	.21	23146.	1.00	.058
37.	4660,	.14	.44	.40	.80	.28	.00	.00	.25	.00	.21	23146.	1.00	.061
38.	4664.	.12	.48	.43	.86	.30	.00	.00	.25	.00	.21	23146.	1.00	.058
39.	4668.	.11	.45	.47	.66	.30	.00	.00	.19	.00	.21	23146.	1.00	.050
40.	4672.	.11	.51	.42	1.11	.48	.00	.00	.12	.00	.21	23146.	1.00	.056
41.	4676.	.14	.39	.32	1.00	.28	.00	.00	.19	.00	.21	23146.	1.00	.055
42.	4680.	.14	.47	.39	1.03	.32	.00	.00	.25	.00	.21	23146.	1.00	.066
43.	4684.	.12	.54	.43	1.25	.25	.00	.00	.40	.00	.21	23146.	1.00	.065
\$4.	4688.	.09	.61	.41	2.41	.48	.00	.00	.16	.00	.21	23146.	.00	.055
45.	4692.	.28	.21	.14	1.01	.08	.00	.00	.50	.00	.21	23146.	1.00	.059
46.	4696.	.14	.60	.59	.82	.30	.00	.00	.50	.00	.21	23146.	.00	.085
47.	4700.	.12	.50	.43	1.01	.18	.00	.00	.50	.00	.21	23146.	1.00	.061

ESPESOR NETO DE PAGO 128.0 PIES

POROSIDAD PROMEDIO .14 FRACCION

SATURACION DE AGUA PROMEDIO .45 FRACCION

HYI = INDICE DE HIDROCARBUROS, 0=NO INDICACION, 1=INDICACION DE HIDROCARBUROS PRESENTES

MDI = INDICE DE PETROLEO MOVIBLE, MENOR O IGUAL A 0.7 HIDROCARBUROS SON FLUIBLES, CASI PRODUCIBLES

SLT = SALINIDAD EN PPM

BVI = FRACCION PEL VOLUMEN BRUTO DE AGUA



BIBLIOTECA

INTERPRETACION DE REGISTROS PARA LA DETERMINACION
DE PRODUCTIVIDAD DE ZONAS POR DIFERENTES METODOS
CONVECCIONALES

ANALISIS DEL POZO 1704 FORMACION ATLANTA

VALOR CATALOGADO DE RW = .3000 75. F

NIVEL	PROF.	INTERVALO 1 ANALIZADO		5174 PIES - 5310 PIES				ANCHO DEL INTERVALO		136 PIES				
		POR	SMA	SWR	MOI	SWS	SW3	SW2	Q	CP	RW	SAL	HYI	BVF
1.	5178.	.11	.65	.45	2.34	.64	.00	.00	.14	.00	.25	19788.	.00	.072
2.	5182.	.10	.57	.44	1.54	.21	.00	.00	.43	.00	.25	19788.	1.00	.057
3.	5186.	.14	.42	.33	1.19	.16	.00	.00	.47	.00	.25	19788.	1.00	.058
4.	5190.	.13	.45	.31	1.81	.31	.00	.00	.22	.00	.25	19788.	1.00	.059
5.	5194.	.09	.45	.38	1.00	.18	.00	.00	.27	.00	.25	19788.	1.00	.040
6.	5198.	.09	.45	.34	1.31	.28	.00	.00	.16	.00	.25	19788.	1.00	.040
7.	5202.	.06	.52	.42	1.30	.24	.00	.00	.16	.00	.25	19788.	1.00	.031
8.	5206.	.05	.55	.45	1.27	.30	.00	.00	.11	.00	.25	19788.	1.00	.028
9.	5210.	.05	.51	.42	1.22	.26	.00	.00	.11	.00	.25	19788.	1.00	.026
10.	5214.	.05	.49	.41	1.14	.21	.00	.00	.12	.00	.25	19788.	1.00	.024
11.	5218.	.07	.45	.35	1.23	.27	.00	.00	.12	.00	.25	19788.	1.00	.031
12.	5222.	.05	.52	.43	1.24	.22	.00	.00	.14	.00	.25	19788.	1.00	.026
13.	5226.	.05	.49	.41	1.16	.17	.00	.00	.16	.00	.25	19788.	1.00	.024
14.	5230.	.06	.39	.32	1.02	.32	.00	.00	.06	.00	.25	19788.	1.00	.023
15.	5234.	.05	.51	.42	1.14	.26	.00	.00	.11	.00	.25	19788.	1.00	.025
16.	5238.	.06	.41	.33	1.14	.21	.00	.00	.11	.00	.25	19788.	1.00	.025
17.	5242.	.06	.52	.43	1.25	.34	.00	.00	.11	.00	.25	19788.	1.00	.031
18.	5246.	.06	.46	.39	1.01	.24	.00	.00	.12	.00	.25	19788.	1.00	.028
19.	5250.	.05	.60	.52	1.23	.58	.00	.00	.06	.00	.25	19788.	.00	.030

20.	5254.	.06	.49	.39	3.21	.29	.00	.00	.11	.00	.25	19788.	1.00	.029
21.	5258.	.06	.49	.39	1.28	.33	.00	.00	.09	.00	.25	19788.	1.00	.029
22.	5262.	.06	.47	.40	1.07	.25	.00	.00	.12	.00	.25	19788.	1.00	.028
23.	5266.	.07	.48	.40	1.15	.31	.00	.00	.12	.00	.25	19788.	1.00	.034
24.	5270.	.12	.26	.20	.37	.15	.00	.00	.14	.00	.25	19788.	1.00	.031
25.	5274.	.07	.72	.55	1.76	.57	.00	.00	.14	.00	.25	19788.	.00	.050
26.	5278.	.07	.48	.43	.96	.28	.00	.00	.14	.00	.25	19788.	1.00	.034
27.	5282.	.06	.64	.56	1.21	.65	.00	.00	.07	.00	.25	19788.	.00	.038
28.	5286.	.05	.54	.46	1.13	.26	.00	.00	.12	.00	.25	19788.	1.00	.027
29.	5290.	.06	.50	.44	.99	.25	.00	.00	.14	.00	.25	19788.	1.00	.030
30.	5294.	.05	.57	.52	1.00	.42	.00	.00	.07	.00	.25	19788.	1.00	.029
31.	5298.	.05	.66	.54	1.39	.53	.00	.00	.08	.00	.25	19788.	.00	.033
32.	5302.	.04	.68	.61	1.18	.46	.00	.00	.08	.00	.24	19788.	.00	.027
33.	5306.	.05	.59	.55	.97	.50	.00	.00	.07	.00	.24	19788.	.00	.030
34.	5310.	.08	.52	.43	1.22	.55	.00	.00	.07	.00	.24	19788.	1.00	.042

ESPESOR NETO DE PAGO 132.0 PIES

POROSIDAD PROMEDIO .07 FRACCION

SATURACION DE AGUA PROMEDIO .51 FRACCION

VALOR CATALOGADO DE RW = .2600 65. F

NIVEL	PROF.	INTERVALO 2 ANALIZADO		5310 PIES - 5526 PIES				ANCHO DEL INTERVALO		216 PIES				
		PQR	SWA	SWR	MOI	SWS	SW3	SW2	R	CP	RW	SAL	HYI	BVF
1.	5314.	.07	.60	.49	1.30	.58	.00	.00	.08	.00	.19	26716.	.00	.042
2.	5318.	.10	.41	.33	1.08	.17	.00	.00	.27	.00	.19	26716.	1.00	.041
3.	5322.	.07	.64	.54	1.25	.64	.00	.00	.08	.00	.19	26716.	.00	.045
4.	5326.	.06	.53	.46	1.07	.42	.00	.00	.08	.00	.19	26716.	1.00	.032
5.	5330.	.06	.56	.47	1.14	.46	.00	.00	.08	.00	.19	26716.	1.00	.033
6.	5334.	.05	.64	.59	1.00	.63	.00	.00	.06	.00	.19	26716.	.00	.032

7.	5338.	.08	.47	.40	1.06	.23	.00	.00	.20	.00	.19	26716.	1.00	.038
8.	5342.	.08	.48	.42	.97	.15	.00	.00	.32	.00	.19	26716.	1.00	.038
9.	5346.	.07	.61	.51	1.26	.30	.00	.00	.22	.00	.19	26716.	.00	.043
10.	5350.	.07	.56	.47	1.13	.30	.00	.00	.18	.00	.19	26716.	1.00	.039
11.	5354.	.09	.53	.41	1.40	.23	.00	.00	.29	.00	.19	26716.	1.00	.048
12.	5350.	.12	.33	.32	.56	.18	.00	.00	.20	.00	.19	26716.	1.00	.039
13.	5362.	.04	.87	.83	1.13	.71	.00	.00	.08	.00	.19	26716.	.00	.035
14.	5366.	.08	.46	.37	1.14	.22	.00	.00	.20	.00	.19	26716.	1.00	.037
15.	5370.	.08	.58	.50	1.13	.31	100	.00	.22	.00	.19	26716.	.00	.047
16.	5374.	.11	.38	.32	.94	.20	.00	.00	.22	.00	.19	26716.	1.00	.042
17.	5373.	.09	.59	.49	1.26	.53	.00	.00	.12	.00	.19	26716.	.00	.053
18.	5382.	.11	.34	.26	.44	.18	.00	.00	.20	.00	.19	26716.	1.00	.038
19.	5386.	.10	.49	.42	1.01	.24	.00	.00	.27	.00	.19	26716.	1.00	.049
20.	5390.	.04	.95	.50	1.21	.94	.00	.00	.07	.00	.19	26716.	.00	.038
21.	5394.	.09	.38	.30	1.13	.21	.00	.00	.16	.00	.19	26716.	1.00	.034
22.	5398.	.12	.43	.39	.87	.20	.00	.00	.32	.00	.19	26716.	1.00	.052
23.	5402.	.15	.38	.27	1.34	142	.00	.00	.06	.00	.19	26716.	1.00	.057
24.	5406.	.11	.48	.47	.74	.38	.00	.00	.16	.00	.19	26716.	1.00	.053
25.	5410.	.07	.55	.49	1.00	.46	.00	.00	.09	.00	.19	26736.	1.00	.038
26.	5414.	.05	.66	.57	1.22	.60	.00	.00	.07	.00	.19	26736.	.00	.033
27.	5418.	.05	.45	.40	.88	.23	.00	.00	.09	.00	.19	26716.	1.00	.022
28.	5422.	.15	.22	.19	.35	.12	.00	.00	.16	.00	.19	26716.	1.00	.032
25.	5426.	.10	.50	.42	1.13	.61	.00	.00	.05	.00	.19	26716.	1.00	.050
30.	5430.	.11	.48	.36	1.37	.53	.00	.00	.07	.00	.19	26716.	1.00	.053
31.	5434.	.07	.56	.50	1.02	.52	.00	.00	.08	.00	.19	26716.	1.00	.039
32.	5438.	.07	.54	.50	.91	.38	.00	.00	.12	.00	.19	26716.	1.00	.038
33.	5442.	.06	.56	.52	.89	.34	.00	.00	.12	.00	.19	26736.	1-00	.033

34.	5446.	.06	.62	.56	1.06	.42	.00	.00	.12	.00	.19	26716.	.00	.037
35.	5450.	.05	.77	.70	1.15	.70	.00	.00	.08	.00	.19	26716.	.00	.038
36.	5454.	.04	.84	.69	1.65	.68	.00	.00	.08	.00	.19	26716.	.00	.034
37.	5458.	.07	.49	.51	.71	.31	.00	.00	.12	.00	.19	26716.	1.00	.034
38.	5462.	.05	.71	.64	1.13	.61	.00	.00	.08	.00	.19	26716.	.00	.035
39.	5466.	.07	.48	.45	.80	.59	.00	.00	.04	.00	.19	26716.	1.00	.034
40.	5470.	.29	.23	.19	.61	.10	.00	.00	.47	.00	.19	26716.	1.00	.065
41.	5474.	.32	.32	.26	.87	.16	.00	.00	.bl	.00	.19	26716.	1.00	.102
42.	5476.	.30	.35	.30	.79	.22	.00	.00	.39	.00	.19	26716.	1.00	.104
43.	5462.	.31	.35	.29	.91	.19	.00	.00	.56	.00	.19	26716.	1.00	.108
44.	5486.	.19	.46	.40	.57	.26	.00	.00	.47	.00	.19	26716.	1.00	.088
45.	5450.	.15	.38	.29	1.18	.14	.00	.00	.47	.00	.19	26716.	1.00	.057
46.	5494.	.15	.43	.35	1.10	.18	.00	.00	.47	.00	.19	26716.	1.00	.065
47.	5496.	.11	.54	.43	1.30	.32	.00	.00	.27	.00	.19	26716.	1.00	.059
48.	5502.	.12	.49	.39	1.22	.27	.00	.00	.29	.00	.19	26716.	1.00	.059
49.	5506.	.10	.60	.48	1.37	.28	.00	.00	.35	.00	.19	26716.	.00	.060
50.	5510.	.10	.51	.42	1.21	.21	.00	.00	.35	.00	.18	26716.	1.00	.051
51.	5514.	.13	.42	.36	.92	.37	.00	.00	.39	.00	.18	26716.	1.00	.054
52.	5518.	.16	.42	.30	1.37	.21	.00	.00	.39	.00	.18	26716.	1.00	.067
53.	5522.	.30	.31	.25	.88	.14	.00	.00	.61	.00	.18	26716.	1.00	.092
54.	5526.	.07	.90	.65	2.55	.43	.00	.00	.32	.00	.18	26716.	.00	.063

ESPESOR WETO DE PA60 100.0 PIES

POROSIDAD PROMEDIO .13 FRACCION

SATURACION DE AGUA PROMEDIO .43 FRACCION

VALOR CATALOGADO DE RW = .2600 65. F

	INTERVALO	3	ANALIZADO	5526 PIES	-	5710 PIES	ANCHD DEL INTERVALO	184 PIES						
NJVEL	PHDF.	PDR	SWA	SWR	MOI	SWS	SM3	SM2	B	CP	RW	SAL	HYJ	BYF

1.	5548.	.08	.45	.34	1.34	.23	.00	.00	.18	.00	.19	26716.	1.00	.036
2.	5534.	.08	.47	.40	1.06	.16	.00	.00	.29	.00	.19	26716.	1.00	.038
3.	5538.	.10	.33	.30	.69	.10	.00	.00	.29	.00	.19	26716.	1.00	.033
4.	5542.	.11	.32	.32	.52	.09	.00	.00	.35	.00	.19	26716.	1.00	.035
5.	5546.	.09	.37	.34	.71	.22	.00	.00	.14	.00	.19	26716.	1.00	.033
6.	5550.	.15	.22	.21	.45	.11	.00	.00	.20	.00	.19	26716.	1.60	.033
7.	5554.	.16	.27	.26	.45	.13	.00	.00	.27	.00	.18	26716.	1.00	.043
8.	5558.	.08	.33	.27	.45	.12	.00	.00	.20	.00	.18	26716.	1.00	.027
9.	5562.	.04	.54	.48	.98	.33	.00	.00	.07	.00	.18	26716.	1.00	.022
10.	5566.	.05	.48	.46	.75	.26	.00	.00	.09	.00	.18	26716.	1.00	.024
11.	5570.	.04	.64	.60	.57	.46	.00	.00	.07	.00	.18	26716.	.00	.026
12.	5574.	.06	.42	.34	1.04	.22	.00	.00	.11	.00	.18	26716.	1.00	.025
13.	5578.	.06	.46	.40	.95	.27	.00	.00	.11	.00	.18	26716.	1.00	.028
14.	5582.	.04	.57	.51	1.02	.37	.00	.00	.07	.00	.18	26716.	1.00	.023
15.	5586.	.03	.52	.47	.93	.22	.00	.00	.07	.00	.18	26716.	1.00	.016
16.	5590.	.02	.70	.67	.97	.23	.00	.00	.07	.00	.18	26716.	.00	.014
17.	5594.	.03	.60	.53	1.12	.15	.00	.00	.14	.00	.18	26716.	.00	.018
18.	5598.	.06	.36	.33	.75	.25	.00	.00	.07	.00	.18	26716.	1.00	.022
19.	5602.	.06	.41	.38	.74	.44	.00	.00	.04	.00	.18	26716.	1.00	.025
20.	5606.	.07	.50	.46	.89	.57	.00	.00	.05	.00	.18	26716.	1.00	.035
21.	5610.	.04	.62	.53	1.15	.43	.00	.00	.07	.00	.18	26716.	.00	.025
22.	5614.	.04	.42	.35	.95	.34	.00	.00	.04	.00	.18	26716.	1.00	.017
23.	5618.	.03	.45	.45	.90	.34	.00	.00	.04	.00	.18	26716.	1.00	.015
24.	5622.	.03	.53	.47	.99	.23	.00	.00	.07	.00	.18	26716.	1.00	.016
25.	5626.	.03	.52	.48	.86	.19	.00	.00	.08	.00	.18	26716.	1.00	.016
26.	5630.	.03	.50	.46	.89	.24	.00	.00	.06	.00	.18	26716.	1.00	.015
27.	5634.	.03	.60	.66	.84	.25	.00	.00	.08	.00	.18	26716.	.00	.018
28.	5630.	.04	.49	.46	.84	.10	.00	.00	.20	.00	.18	26716.	1.00	.020

24.	5642.	.04	.56	.50	.98	.41	.00	.00	.06	.00	.18	26716.	1.00	.022
30.	5646.	.04	.55	.60	.79	.55	.00	.00	.04	.00	.18	26716.	1.00	.022
31.	5650.	.05	.56	.48	1.13	.51	.00	.00	.06	.00	.18	26716.	1.00	.028
32.	5654.	.06	.44	.42	.74	.35	.00	.00	.07	.00	.18	26716.	1.00	.026
33.	5658.	.06	.54	.59	.78	.29	.00	.00	.14	.00	.18	26716.	1.00	.032
34.	5662.	.05	.65	.61	.97	.30	.00	.00	.16	.00	.18	26716.	.00	.032
35.	5666.	.05	.81	.66	1.60	.77	.00	.00	.08	.00	.18	26716.	.00	.040
36.	5678.	.06	.47	.40	1.02	.30	.00	.00	.09	.00	.18	26716.	1.00	.028
37.	5674.	.09	.46	.41	.89	.35	.00	.00	.12	.00	.18	26716.	1.00	.042
38.	5678.	.08	.45	.41	.85	.34	.00	.00	.11	.00	.18	26716.	1.00	.036
39.	5682.	.08	.64	.54	1.30	.41	.00	.00	.20	.00	.18	26716.	.00	.052
40.	5686.	.05	.51	.44	1.04	.19	.00	.00	.16	.00	.18	26716.	1.00	.026
41.	5690.	.04	.55	.51	.94	.12	.00	.00	.22	.00	.18	26716.	1.00	.022
42.	5694.	.05	.51	.47	.90	.15	.00	.00	.20	.00	.18	26716.	1.00	.026
43.	5690.	.06	.48	.40	1.15	.19	.00	.00	.18	.00	.18	26716.	1.00	.029
44.	5702.	.07	.39	.34	.86	.10	.00	.00	.27	.00	.18	26716.	1.00	,027
45.	5706.	.07	.53	.49	.90	.17	.00	.00	.29	.00	.18	26716.	1.00	.037
46.	5718.	.08	.35	.28	.92	.13	.00	.00	.20	.00	.18	26716.	1.00	.028

ESYESOR NETO DE PAGO 40.0 PIES

PEROSIDAD PROMEDIO ,10 FRACCION

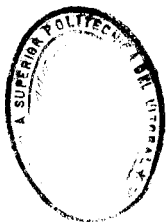
SATURACION DE AGUA PROMEDIO .37 FHACCION

HYI = INDICE DE HIDROCARBUROS. 0=NO INDICACION. 1=INDICACION DE HIDROCARBUROS PRESENTES

MDI = INDICE DE YETROLEO MOVIBLE, MENOR O IGUAL A 0.7 HIDROCARBUROS SON FLUIELES, CASI PUDUCIELES

SLT = SALINIDAD EN PPM

BVI = FRACCION DEL VOLUMEN BRUTO DE AGUA



BIBLIOTECA

BIBLIOGRAFIA.

1. ANGLO ECUADORIAN OIL FIELDS LTD., "Geological Review", Informe Confidencial KWB-B, Ecuador, 1965.
2. ARTURO ANDRADE, "Comportamiento Cualitativo de los Registros Eléctricos en Campo Oriente", Tesis de Grado, FIGMP, ESPOL, Guayaquil, 1985.
3. BENITEZ S., "Síntesis Geológica de la Cuenca Progreso Ecuador Sección Geología Regional", Memorias del Cuarto Congreso Ecuatoriano de Geología, Minas y Petróleos, Tomo I Geología, Quito - Ecuador, Octubre, 1986, pp. 91-110.
4. BRISTOW C., HOFFETTER R., "Lexique Stratigraphique International", Volumen V América Latina, Centro Nacional de Investigación Científica, 1977, 410 p.
5. DOUGLAS W. HILCHIE, "Applied Openhole Log Interpretation", USA, 1982.
6. DOUGLAS W. HILCHIE, "Old Electrical Log Interpretation", USA, 1979.

7. ESPOL, "Posibilidades Petrolíferas del Golfo", Revista de la A.E.I.G.M.P., Agosto, 1978.
8. SCHLUMBERGER, "Log Interpretation Charts", USA, 1977.
9. SCHLUMBERGER, "Log Interpretation", Volumen 1, USA, 1974.
10. SINHA MIHIR, PADGETT LARRY, "Reservoir Engineering Techniques Using Fortran", USA, 1984.
11. V. VALLE B., J. D. PEREZ, "Marcas eléctricas de correlación geológica y su identificación", Revista del Instituto Mexicano del Petróleo, Julio de 1976.



BIBLIOTECA